
RAPPORT

Jarlheimsletta

OPPDRAGSGIVER
OBOS Nye Hjem AS

EMNE
Datarapport - Geotekniske
grunnundersøkelser

DATO / REVISJON: 07. februar 2020 / 01
DOKUMENTKODE: 10213380-RIG-RAP-001



Multiconsult

Denne rapporten er utarbeidet av Multiconsult i egen regi eller på oppdrag fra kunde. Kundens rettigheter til rapporten er regulert i oppdragsavtalen. Hvis kunden i samsvar med oppdragsavtalen gir tredjepart tilgang til rapporten, har ikke tredjepart andre eller større rettigheter enn det han kan utlede fra kunden. Multiconsult har intet ansvar dersom rapporten eller deler av denne brukes til andre formål, på annen måte eller av andre enn det Multiconsult skriftlig har avtalt eller samtykket til. Deler av rapportens innhold er i tillegg beskyttet av opphavsrett. Kopiering, distribusjon, endring, bearbeidelse eller annen bruk av rapporten kan ikke skje uten avtale med Multiconsult eller eventuell annen opphavsrettshaver.

RAPPORT

| | | | |
|----------------|--|-----------------|--------------------------|
| OPPDRAG | Jarlheimsletta | DOKUMENTKODE | 10213380-RIG-RAP-001 |
| EMNE | Datarapport - Geotekniske grunnundersøkelser | TILGJENGELIGHET | Åpen |
| OPPDRAGSGIVER | OBOS Nye Hjem AS | OPPDRAGSLEDER | Lisa Emilie Hoven |
| KONTAKTPERSON | Adrian Finvold | UTARBEIDET AV | Ivana Anusic |
| KOORDINATER | SONE: 32 ØST: - NORD: - | ANSVARLIG ENHET | 10234011 Geoteknikk Midt |
| GNR./BNR./SNR. | - / - / - / Trondheim kommune | | |

SAMMENDRAG

OBOS Nye Hjem planlegger utbygging på Jarlheimsletta i Trondheim. I denne forbindelse er Multiconsult engasjert for å utføre geotekniske grunnundersøkelser og vurderinger. Foreliggende rapport presenterer resultater fra utførte geotekniske grunnundersøkelser.

Utførte grunnundersøkelser omfatter:

- 5 stk. totalsonderinger (Bp. 1 t.o.m. 5)
- 2 stk. trykksonderinger (Bp. 1 og 4)
- 2 stk. elektriske poretrykksmålere (Bp. 1)
- 2 stk. prøveserier med poseprøver og Ø54 mm sylindrerprøver (Bp. 1 og 4)

Utførte grunnundersøkelser viser at grunnforholdene består generelt av antatte fyllmasser av sand og grus over leire og berg. Fyllmasselaget er størst på den vestlige delen av området der det er påvist fyllmasser til ca. 3,5 meters dybde (borpunkt 1). Under topplaget antyder sonderinger siltig leire og leire til avsluttet sondering i borpunkter 2-5. Sonderinger viser økende boremotstand med dybden.

Løsmassemekktigheten på området varierer mellom 10,82 og ca. 57,38 meter. Løsmassemekktigheten er størst på den sørlige og midtre delen av området, og mindre på den vestlige og nordlige delen.

Berg er påvist ca. 10,8 m under terreng i borpunkt 5, dvs. ved kote -3,1. I borpunkt 1, 3 og 4 er det antatt berg på henholdsvis dybde ca. 46,6 m (kote -42,4), ca. 57,1 m under terreng (kote -48,2) og ca. 26,6 m under terreng (kote -16,7).

Bergoverflaten antas å stige i nordlig retning, den er dypest på den sør-østlige delen av området (kote -48,2), og ser ut til å stige til en topp på den nord-østlige delen (kote -3,1).

Det er satt ned to elektriske piezometer med registrering en gang hver 12 timer i borpunkt 1-PZ. Piezometerne er installert henholdsvis 17m (1-PZA) og 30 m (1-PZB) under terreng. Poretrykksmålinger indikerer noe poreovertrykk med dybden.

Det antas at grunnvannstand ligger i overgang mellom fyllmasser og leire ca. 3,5 m under terreng (Bp. 1).

| | | | | | |
|------|------------|---|---------------------|---------------------------|-------------------|
| | | | | | |
| | | | <i>Ivana Anusic</i> | <i>Joar S. Gloppestad</i> | |
| 01 | 07.02.2020 | Revidert datarapport for å fikse referanser | Ivana Anusic | Joar S Gloppestad | Joar S Gloppestad |
| 00 | 03.02.2020 | Utarbeidet datarapport grunnundersøkelser | Ivana Anusic | Joar S Gloppestad | Joar S Gloppestad |
| REV. | DATO | BESKRIVELSE | UTARBEIDET AV | KONTROLLERT AV | GODKJENT AV |

INNHOLDSFORTEGNELSE

| | | |
|----------|---|-----------|
| 1 | Innledning | 6 |
| 1.1 | Formål og bakgrunn | 6 |
| 1.2 | Utførelse | 6 |
| 1.3 | Kvalitetssikring og standardkrav | 7 |
| 1.4 | Innhold og bruk av rapporten | 7 |
| 2 | Områdebeskrivelse | 8 |
| 2.1 | Befaring | 8 |
| 2.2 | Området og topografi | 8 |
| 3 | Geotekniske grunnundersøkelser | 9 |
| 3.1 | Tidligere grunnundersøkelser | 9 |
| 3.2 | Utførte grunnundersøkelser | 10 |
| 3.2.1 | Feltundersøkelser | 10 |
| 3.2.2 | Laboratorieundersøkelser | 11 |
| 4 | Grunnforholdsbeskrivelse | 12 |
| 4.1 | Kvartærgeologisk kart | 12 |
| 4.2 | Eksisterende faresoner for kvikkleireskred | 12 |
| 4.3 | Grunnforhold tolket ut fra grunnundersøkelser | 13 |
| 4.3.1 | Generelt | 13 |
| 4.3.2 | Dybde til berg | 13 |
| 4.3.3 | Løsmasser | 13 |
| 4.3.4 | Poretrykk og grunnvann | 14 |
| 5 | Geoteknisk evaluering av resultatene | 15 |
| 5.1 | Avvik fra standard utførelsesmetoder | 15 |
| 5.2 | Viktige forutsetninger | 15 |
| 5.3 | Undersøkelses- og prøve kvalitet | 15 |
| 5.4 | Måling av poretrykk | 15 |
| 5.5 | Generell kommentar om påvisning av bergnivå | 15 |
| 6 | Behov for supplerende grunnundersøkelser | 17 |
| 7 | Referanser | 18 |

TEGNINGER

| | | |
|------------------|--------|---|
| 10213492-RIG-TEG | -000 | Oversiktskart |
| | -001 | Borplan |
| | -010 | Sonderinger, Borpunkt 1 |
| | -011 | Sonderinger, Borpunkt 2, 4 og 5 |
| | -012 | Sonderinger, Borpunkt 3 |
| | -200 | Geotekniske data PR-1 |
| | -200 | Geotekniske data PR-4 |
| | -300 | Korngraderingsanalyser, PR-1, d= 5,35 og 13,36 m |
| | -350 | Elektrisk poretrykkmåling, BP-1, d= 17 og 30 m |
| | -400.1 | Ødometerforsøk, CRS-rutine, PR-1, d=5,55m. Plott A: $\sigma_{av}' - \varepsilon_a$, M og c_v |
| | -400.2 | Ødometerforsøk, CRS-rutine, PR-1, d=5,55m. Plott B: $\sigma_{av}' - \varepsilon_a$, k og u_b/σ |
| | -401.1 | Ødometerforsøk, CRS-rutine, PR-1, d=13,30m. Plott A: $\sigma_{av}' - \varepsilon_a$, M og c_v |
| | -401.2 | Ødometerforsøk, CRS-rutine, PR-1, d=13,30m. Plott B: $\sigma_{av}' - \varepsilon_a$, k og u_b/σ |
| | -450.1 | Aktivt treksialforsøk, PR-1, d=5,20m, Spenningssti i skjærfase, σ'_r - τ plott (NTNU) |
| | -450.2 | Aktivt treksialforsøk, PR-1, d=5,20m, Spenningssti i skjærfase, p' -q plott |
| | -450.3 | Aktivt treksialforsøk, PR-1, d=5,20m, Spenningssti i skjærfase, s' - τ plott (MIT) |
| | -450.4 | Aktivt treksialforsøk, PR-1, d=5,20m, Bruddutvikling i skjærfase, ε_a - τ og ε_a -u plott |
| | -450.5 | Aktivt treksialforsøk, PR-1, d=5,20m, Konsolidering |
| | -451.1 | Aktivt treksialforsøk, PR-1, d=7,45m, Spenningssti i skjærfase, σ'_r - τ plott (NTNU) |
| | -451.2 | Aktivt treksialforsøk, PR-1, d=7,45m, Spenningssti i skjærfase, p' -q plott |
| | -451.3 | Aktivt treksialforsøk, PR-1, d=7,45m, Spenningssti i skjærfase, s' - τ plott (MIT) |
| | -451.4 | Aktivt treksialforsøk, PR-1, d=7,45m, Bruddutvikling i skjærfase, ε_a - τ og ε_a -u plott |
| | -451.5 | Aktivt treksialforsøk, PR-1, d=7,45m, Konsolidering |
| | -452.1 | Aktivt treksialforsøk, PR-1, d=13,50m, Spenningssti i skjærfase, σ'_r - τ plott (NTNU) |
| | -452.2 | Aktivt treksialforsøk, PR-1, d=13,50m, Spenningssti i skjærfase, p' -q plott |
| | -452.3 | Aktivt treksialforsøk, PR-1, d=13,50m, Spenningssti i skjærfase, s' - τ plott (MIT) |
| | -452.4 | Aktivt treksialforsøk, PR-1, d=13,50m, Bruddutvikling i skjærfase, ε_a - τ og ε_a -u plott |
| | -452.5 | Aktivt treksialforsøk, PR-1, d=13,50m, Konsolidering |
| | -500.1 | CPTU-1, dokumentasjon av utstyr og målenøyaktighet |
| | -500.2 | CPTU-1, In-situ poretrykk, total- og effektiv vertikalspenning i beregninger |
| | -500.3 | CPTU-1, Måledata og korrigerte måleverdier |
| | -500.4 | CPTU-1, Avledede dimensjonsløse forhold |
| | -501.1 | CPTU-4, dokumentasjon av utstyr og målenøyaktighet |
| | -501.2 | CPTU-4, In-situ poretrykk, total- og effektiv vertikalspenning i beregninger |
| | -501.3 | CPTU-4, Måledata og korrigerte måleverdier |
| | -501.4 | CPTU-4, Avledede dimensjonsløse forhold |

VEDLEGG

1. Kalibreringsskjema CPTU-sonde

BILAG

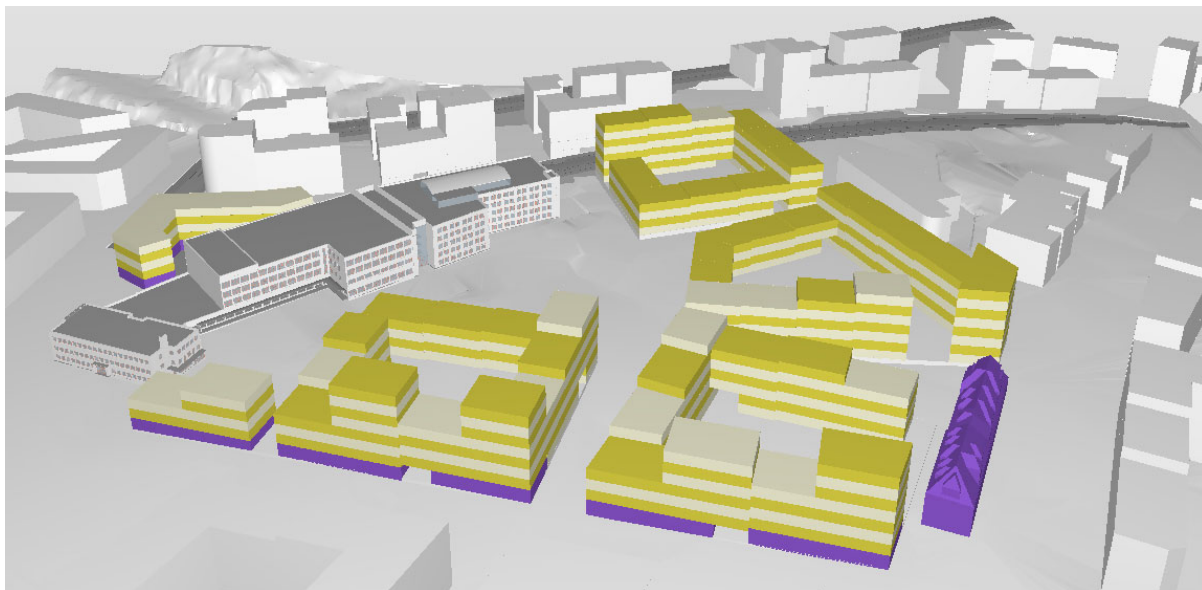
1. Geoteknisk bilag – Feltundersøkelser
2. Geoteknisk bilag – Laboratorieundersøkelser
3. Geoteknisk bilag – Oversikt over metodestandarder og retningslinjer

1 Innledning

Foreliggende rapport presenterer resultater fra utførte geotekniske grunnundersøkelser for Jarlheimsletta i Trondheim.

1.1 Formål og bakgrunn

OBOS Nye Hjem planlegger utbygging på Jarlheimsletta i Trondheim. De nye bygningene er planlagt utført med opptil 8 etasjer over kjeller, se Figur 1-1 for illustrasjon.



Figur 1-1 Illustrasjon av utbygging på Jarlheimsletta (utdrag fra tilsendt IFC-modell)

I denne forbindelse er Multiconsult engasjert for å utføre geotekniske grunnundersøkelser og vurderinger. Resultater av geotekniske grunnundersøkelser dokumenteres i form av denne datarapport, som vil bli underlag for videre overordnede vurderinger av tilsendt plan for utbygging, som dokumenteres via eget notat.

1.2 Utførelse

Boringens utførelse er generelt beskrevet i geoteknisk bilag 1, mens oversikt over metodestandarder for utførelse er gitt i geoteknisk bilag 3.

Metodikk/prosedyre for utførelse av laboratorieundersøkelsene er generelt beskrevet i geoteknisk bilag 2.

Feltarbeid for geotekniske grunnundersøkelser ble utført mellom uke 45 og uke 47 i 2019.

Undersøkelsene ble ledet av borleder Stian Langolf, og utført med borerigg av typen Geotech 605HK. Alle kotehøyder referer til NN2000 og borpunktene er målt inn i koordinatsystem Euref 89 UTM 32 av Scan Survey A/S. Borpunktene er satt ut og innmålt med DGPS utstyr (Trimble GeoExplorer 6000 series GeoXR) av borleder. Systemet opplyses å ha en nøyaktighet på inntil +/- 2,0 cm i horisontalplanet, og +/- 5,0 cm i vertikalplanet.

Laboratorieundersøkelsene er utført ved Multiconsults geotekniske laboratorium i Trondheim mellom uke 50/2019 og uke 3/2020.

1.3 Kvalitetssikring og standardkrav

Oppdraget er kvalitetssikret i henhold til Multiconsults styringssystem. Systemet omfatter prosedyrer og beskrivelser som er dekkende for kvalitetsstandard NS-EN ISO 9001:2015 [1]. Feltundersøkelsene er utført iht. NS 8020-1:2016 [2] og tilgjengelige metodestandarder fra Norsk Geoteknisk Forening [3].

Laboratorieundersøkelsene er utført iht. NS 8000-serien og relevante ISO-standarder. Datarapporten er utarbeidet i henhold til NGF-melding nr. 2 [3] og krav i NS-EN-1997 (Eurokode 7) – Del 2 [4].

Oversikt over utvalgte metodestandarder er vist i geoteknisk bilag 3.

1.4 Innhold og bruk av rapporten

Geoteknisk datarapport presenterer resultater fra utførte geotekniske grunnundersøkelser i geotekniske termer og krever geoteknisk kompetanse for videre bruk i rådgivings- og prosjekteringsammenheng. Rapporten inneholder i så måte ingen vurderinger av byggbarhet, metoder eller tiltak, og vi anbefaler at det engasjeres geoteknisk kompetanse i det videre arbeidet med prosjektet.

Geoteknisk datarapport omhandler ikke data eller vurderinger knyttet til tilstedeværelse av forurenset grunn i det undersøkte området.

Det er utført flere miljøgeologiske undersøkelser innenfor planområdet. Undersøkelsene og resultatene fra disse er beskrevet i

- Rambøll-rapport 1350000785-M-rap-001 *Lade teknopark. Datarapport med tiltaksplan*, datert 19. desember 2013 [5]
- Multiconsult-rapport 417484-RIGm-RAP-001 *Jarleveien 8B-D, Trondheim. Miljøgeologisk rapport*, datert 21. august 2015 [6]
- Multiconsult-rapport 418493-RIGm-RAP-001 *Ladebekken 6 m.fl, Trondheim. Miljøgeologisk rapport*, datert 17. februar 2017 [7]

De nevnte undersøkelsene har generelt avdekket forurenset masse innenfor hele planområdet.

2 Områdebeskrivelse

2.1 Befaring

Det er ikke utført særskilt befaring på området i forkant av utførte grunnundersøkelser, men Multiconsult har hatt god kjennskap til området via pågående og tidligere utførte grunnundersøkelser på nabotomtene.

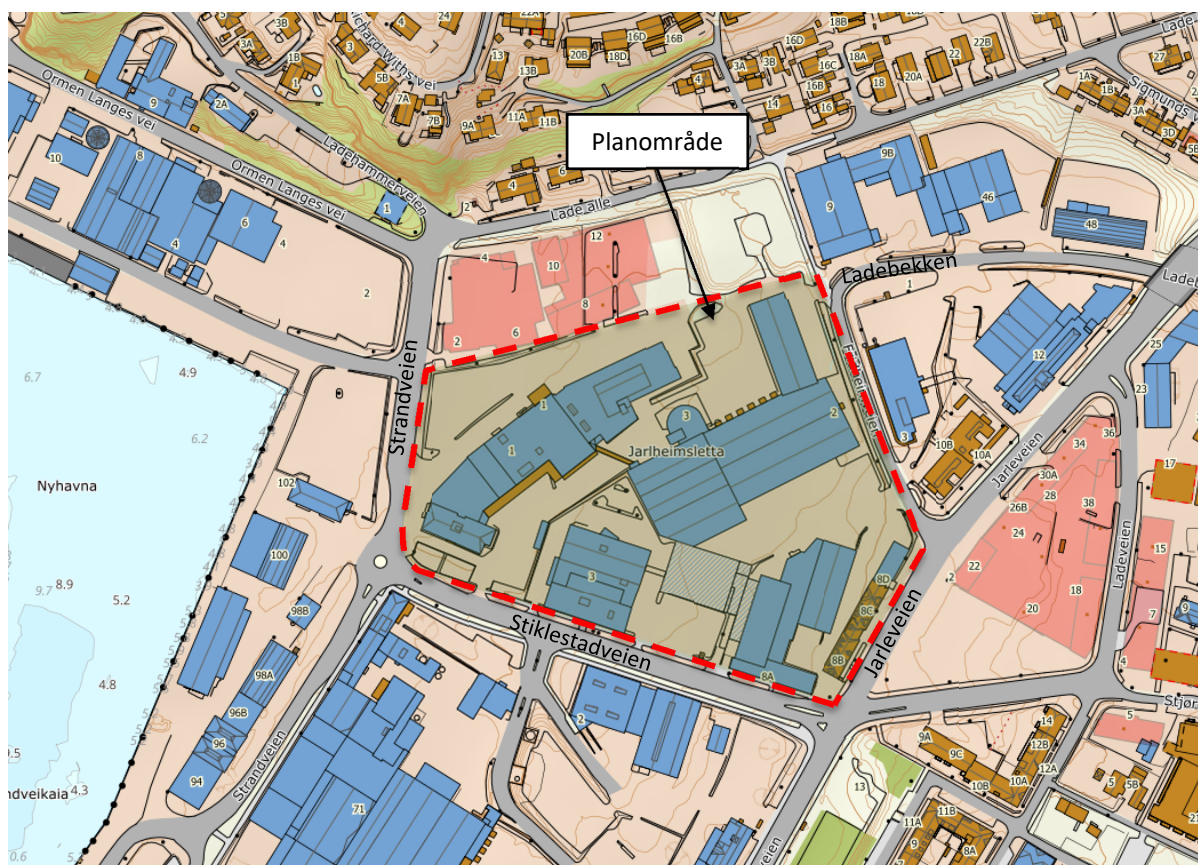
2.2 Området og topografi

Planområdet ligger på Jarlheimsletta i Trondheim mellom Ladehammerkaia og Lilleby. Området avgrenses av Ladebekken i nord, Strandveien i vest, Jarleveien i øst og Stiklestadveien i sør. Planområdet ligger mellom flere andre planlagte og pågående utbyggingsområder. Det vises til Figur 2-1.

Planområdet omfatter gårdsnummer 415, bruksnummer 58 (Jarleveien A-D), 64 (Stiklestadveien 1), 66 (Stiklestadveien 3), 172 (Ladebekken 6), samt tomte med gårdsnummer 439, bruksnummer 220.

Området består per dags dato i hovedsak av diverse industribygg og parkeringsplasser. Ubebygde deler av området er hovedsakelig asfaltert. I hovedsak skal det meste av dagens bebyggelse rives, men Stiklestadveien 1 og Jarleveien 8B/8C/8D skal bevares og innarbeides i prosjektet.

Området har svakt fall mot vest, og ligger på ca. kote +10 i øst og på ca. kote +4 i vest (NN2000).

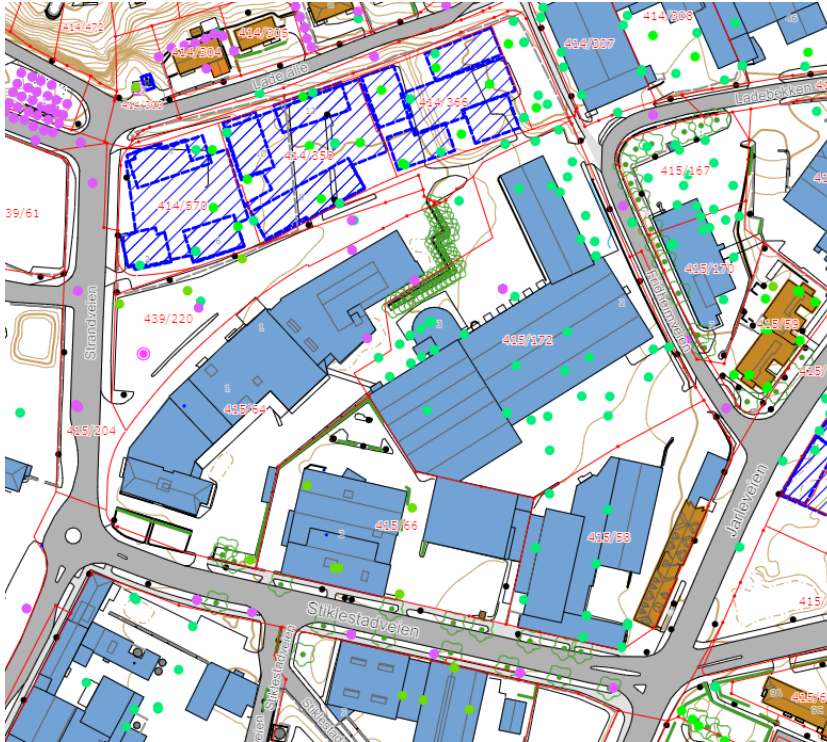


Figur 2-1 Utsnitt av kart over planområdet (kilde: norgeskart.no)

3 Geotekniske grunnundersøkelser

3.1 Tidligere grunnundersøkelser

Det foreligger flere geotekniske grunnundersøkelser for det aktuelle området, se Figur 3-1. Tidligere grunnundersøkelser ble utført av Multiconsult, Trondheim kommune, Kummeneje, Rambøll og NGI.



Figur 3-1 Oversikt over tilgjengelige geotekniske grunnundersøkelser (kilde: trondheim.kommune.no)

Tabell 3-1 viser tidligere relevante grunnundersøkelser utført i området.

Tabell 3-1 Relevante tidligere grunnundersøkelsesrapporter

| Ref. | Rapport-nummer | Utført av | År | Oppdragsnavn/ rapportnavn | Vist på borplan |
|------|----------------------|-------------------|------|------------------------------|--------------------|
| [8] | 10206039-RIG-RAP-001 | Multiconsult | 2019 | Nyhavna Øvre | Nei |
| [9] | R.1746 | Trondheim kommune | 2018 | Stiklestadveien VA | Nei |
| [10] | R.1300 | Trondheim kommune | 2006 | Stiklestadveien 1 | Nei |
| [11] | R.0895 | Trondheim kommune | 1993 | Ladebekken gate | Nei |
| [12] | O.8881 | Kummeneje | 1992 | Vinmonopolet bygg 6 | Nei |
| [13] | R.0883 | Trondheim kommune | 1992 | Strandvegen - Møllenberg | Nei |
| [14] | O.6313-3 | Kummeneje | 1987 | Nidelv Bru - Leangen | Nei |
| [15] | O.1384 | Kummeneje | 1972 | AS Lade Metall | Nei |
| [16] | O.1961 | Kummeneje | - | AS Lade Metall | Nei |
| [17] | 1350000785 | Rambøll | 2013 | Lade Teknopark | Nei |
| [18] | O.0673 | NGI | - | Stiklestadveien 2 | Nei |
| [19] | O.0027 | Kummeneje | - | Stiklestadvegen | Nei |

3.2 Utførte grunnundersøkelser

3.2.1 Feltundersøkelser

Utførte grunnundersøkelser omfatter:

- stk. totalsonderinger (Bp. 1 t.o.m. 5)
- 2 stk. trykksonderinger (Bp. 1 og 4)
- 2 stk. elektriske poretrykksmålere (Bp. 1)
- 2 stk. prøveserier med poseprøver og Ø54 mm sylindrerprøver (Bp. 1 og 4)

Borpunktens plassering er vist på borplan, se tegning nr. 10213380-RIG-TEG-001. Utskrifter av sonderinger er vist på tegning –RIG-TEG-010.

Trykksonderingene (CPTU) er vist på tegninger –RIG-TEG-500.1 t.o.m. -502.4.

Koordinater og høydesystem benyttet ved grunnundersøkelsene er vist i Tabell 3-2. Utførte feltundersøkelser er presentert i Tabell 3-3.

Tabell 3-2: Koordinat-/høydesystem

| Høydesystem | Koordinatsystem | Sone |
|-------------|-----------------|--------|
| NN 2000 | Euref 89 | UTM 32 |

Tabell 3-3 Utførte feltundersøkelser

| Borpunkt | Koordinater | | | Metode | Boret dybde | | | Kommentar |
|----------|-------------|-----------|-------|--------|-------------|-----------|--------|-----------|
| | X | Y | Z | | Løs-masse | Ant. Berg | Totalt | |
| | [m] | [m] | [m] | | [m] | [m] | [m] | |
| 1 | 7035646,125 | 71245,340 | 4,223 | TOT | 47,00 | - | 47,00 | |
| 2 | 7035695,765 | 71318,760 | 6,348 | TOT | 30,05 | - | 30,05 | |
| 3 | 7035622,765 | 71432,550 | 8,883 | TOT | 57,38 | - | 57,38 | |
| 4 | 7035718,325 | 71464,639 | 9,889 | TOT | 29,60 | - | 29,60 | |
| 5 | 7035836,925 | 71406,804 | 7,675 | TOT | 11,15 | - | 11,15 | |
| 5-BPVS | 7035836,925 | 71406,804 | 7,675 | TOT | 10,82 | 3,0 | 13,82 | A |
| 1-PR | 7035646,125 | 71245,340 | 4,223 | PR | 20,00 | - | 20,00 | |
| 4-PR | 7035718,325 | 71464,639 | 9,889 | PR | 16,80 | - | 16,80 | |
| 1-CPTU | 7035646,125 | 71245,340 | 4,223 | CPTU | 30,02 | - | 30,02 | |
| 4-CPTU | 7035718,325 | 71464,639 | 9,889 | CPTU | 25,02 | - | 25,02 | |
| 1-PZA | 7035646,125 | 71245,340 | 4,223 | PZ | 17,00 | - | 17,00 | B |
| 1-PZB | 7035646,125 | 71245,340 | 4,223 | PZ | 30,00 | - | 30,00 | C |

TOT= Totalsondering; DTR= Dreietrykksondering; CPTU= Trykksondering; PZ= Poretrykksmåling; PR= Prøveserie

Kommentarer:

- A: Berg påvisning i Bp. 5 (sonderingen utført før service på rigg, ref. kap. 5.3)

- B: PZ nr. 15178 i dybde 17 m under terreng + 2 m over terreng
- B: PZ nr. 9828 i dybde 30 m under terreng + 1 m over terreng

3.2.2 Laboratorieundersøkelser

Prøvene er undersøkt i geoteknisk laboratorium med tanke på klassifisering og identifisering av jordartene, samt bestemmelse av prøvenes mekaniske egenskaper.

Ved undersøkelsen er prøvene klassifisert og beskrevet med måling av vanninnhold, tyngdetetthet, samt udrenert og omrørt skjærfasthet i massene.

Følgende laboratorieundersøkelser er utført:

- Rutineundersøkelser av poseprøver fra 2 borpunkt
- Rutineundersøkelser av 11 sylinderprøver (54 mm) fra 2 borpunkt
- Korngraderingsanalyser på 1 prøve
- Ødometerforsøk på 2 utvalgte prøver fra 1 borpunkt
- Treksialforsøk på 2 utvalgte prøver fra 1 borpunkt

Resultatene fra rutineundersøkelser er presentert som geotekniske data i tegning -200 t.o.m. -201.

Resultatene fra korngraderingsanalysene er vist i tegning -300.

Resultatene fra ødometerforsøkene er presentert på tegning -401.1 t.o.m. -402.2.

Resultatene fra treksialforsøkene er presentert på tegning -450.1 t.o.m. -452.5.

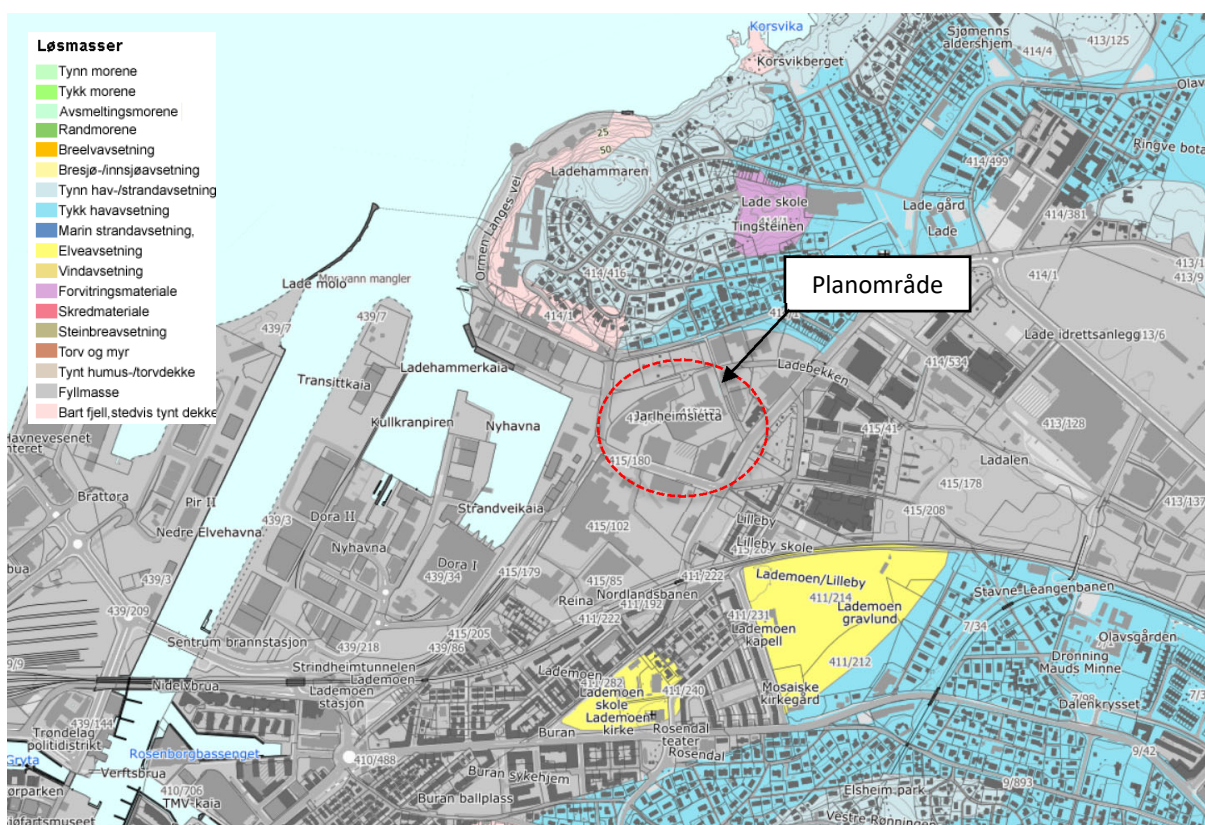
Utførelsen av laboratorieundersøkelsene er generelt beskrevet i geoteknisk bilag 2, mens en oversikt over metodestandarder for utførelse er gitt i geoteknisk bilag 3.

4 Grunnforholdsbeskrivelse

4.1 Kwartærgeologisk kart

Figur 4-1 viser et utsnitt av kvartærgeologisk kart for det aktuelle området [20]. Kartet indikerer at de øvre løsmassene i det undersøkte området hovedsakelig består av fyllmasser, men det er mektige havavsetninger og elveavsetninger i omkringliggende områder. På bakgrunn av dette antas det at det påtreffes marine avsetninger (silt/leire) med eventuelle overliggende strand- eller elveavsetninger (sand) under fyllmassene.

Det kvartærgeologiske kartgrunnlaget gir en visuell oversikt over landskapsformende prosesser over tid, samt løsmassenes overordnede fordeling. Utgangspunktet for disse oversiktskartene er i all hovedsak visuell overflatekartlegging, og kun i begrenset omfang fysiske undersøkelser. Kartene gir ingen informasjon om løsmassefordeling i dybden og kun begrenset informasjon om løsmassemektighet. For mer informasjon om kvartærgeologiske kart og anvendelse/kvalitet vises til www.ngu.no.



Figur 4-1 Utsnitt fra kvartærgeologisk kart (kilde: www.ngu.no)

4.2 Eksisterende faresoner for kvikkleireskred

I henhold til faresonekart på NVE-Atlas [21] er det ingen tidligere kartlagte faresoner for kvikkleireskred i det aktuelle området. Nærmeste påviste forekomst av kvikkleire i dette faresonekartet er et «SVV kvikkleireområde» ca. 530 meter sør langs Innherredsveien.

4.3 Grunnforhold tolket ut fra grunnundersøkelser

4.3.1 Generelt

Utførte grunnundersøkelser viser at grunnforholdene består generelt av antatte fyllmasser av sand og grus over leire og berg. Fyllmasselaget er størst på den vestlige delen av området der det er påvist fyllmasser til ca. 3,5 meters dybde (borpunkt 1).

Under topplaget antyder sonderinger siltig leire og leire til avsluttet sondering i borpunkter 2-5. Sonderinger viser økende boremotstand med dybden.

I borpunkt 1 indikerer sonderingen noe grovere masser av antatt grus og sand fra dybde ca. 41,5 m ned til antatt berg ved 46,6 m dybde.

Løsmassemektingen på området varierer mellom 10,82 og ca. 57,38 meter. Løsmassemektingen er størst på den sørlige og midtre delen av området, og mindre på den vestlige og nordlige delen.

Beskrivelse av usikkerhet og evaluering av resultatene fra grunnundersøkelsen er angitt i kap.5.

4.3.2 Dybde til berg

Berg er påvist ca. 10,8 m under terreng i borpunkt 5, dvs. ved kote -3,1. I borpunkt 1, 3 og 4 er det antatt berg på henholdsvis dybde ca. 46,6 m (kote -42,4), ca. 57,1 m under terreng (kote -48,2) og ca. 26,6 m under terreng (kote -16,7).

Bergoverflaten antas å stige i nordlig retning, den er dypest på den sør-østlige delen av området (kote -48,2), og ser ut til å stige til en topp på den nord-østlige delen (kote -3,1).

Sonderingen i borpunkt 1 ble avsluttet i antatt berg på 47 m dybde, mens borpunkt 2 er avsluttet på dybde 30 meters under terreng uten at berg er påtruffet.

Bergoverflatens forløp mellom borpunktene vil kunne variere, og det kan finnes lokale forhøyninger eller forsenkninger i bergoverflaten som ikke er fanget opp av utførte undersøkelser.

4.3.3 Løsmasser

Laboratorieundersøkelser av prøver fra borpunkt 1 viser siltig leire og leire under fyllmassene fra ca. 4,0 meter. Topplaget av leire inneholder små skjellrester bed til ca. 8 m dybde. Leira har en uomrørt skjærfasthet mellom 37 – 116 kPa, og omrørt skjærfasthet mellom 2,5 – 7,1 kPa. Enaksialforsøk viser udrenert skjærfasthet mellom 44 – 67 kPa.

Sensitiviteten ligger mellom 16 og 27 i dybden mellom 4 - 8. Denne leira kan ut fra dette betegnes som middels fast til fast, og middels sensitiv i dybden mellom 4 - 8 meter. Fra 12 meter og ned til ca. 20 meters dybde ligger sensitiviteten mellom 5 og 8, og leira kan klassifiseres som middels fast til fast og lite sensitiv (med en prøve i nedre del av skalaen for middels sensitivt materiale).

Vanninnholdet for leira under fyllmassene ned til ca. 8 m dybde ligger i området 24,8 – 28,7 %. I prøvene fra 12 meter og ned til ca. 20 meters dybde er vanninnhold noe høyere, fra 29,1 – 46,5 %.

Plastisitetsindeksen er 9% ved prøve tatt fra ca. 5 m dybde og leiren kan karakteriseres som lite plastisk. Ved prøve tatt fra ca. 13 m dybde er plastisitetsindeksen 26% og leiren kan karakteriseres som meget plastisk.

Laboratorieundersøkelser av prøver fra borpunkt 4 viser leire under fyllmassene fra ca. 3,0 meter. Leira har en uomrørt skjærfasthet mellom 19 – 45 kPa, og omrørt skjærfasthet mellom 1,6 – 9,3 kPa. Enaksialforsøk viser udrenert skjærfasthet mellom 33 – 58 kPa.

Sensitiviteten ligger mellom 16 og 20 i dybden mellom 3 og 4 meter, og leira kan klassifiseres som middels fast og middels sensitiv. I dybden fra 4 ned til ca. 17 m er sensitiviteten mellom 5 og 8, og leira kan klassifiseres som middels fast og lite sensitiv.

Vanninnholdet i leira ligger i området 27,7 – 38,0, og plastisitetindeksen er 17% og 15% ved prøver tatt fra henholdsvis ca. 4 og 8 m dybde. Leira kan klassifiseres som middels plastisk.

4.3.4 Poretrykk og grunnvann

Det er satt ned to elektriske piezometer med registrering en gang hver 12 timer i borpunkt 1-PZ. Piezometerene er installert henholdsvis 17m (1-PZA) og 30 m (1-PZB) under terreng.

Ved siste avlesning 9. desember 2019 lå topp vannsøyle på kote +2,9, dvs. 1,3 meter under terreng for måler med spiss/filter på 17 meter dybde, og tilsvarende 1,3 meter over terreng (kote +5,5) for måler med spiss/filter på 30 meter dybde. Poretrykksmålinger indikerer noe poreovertrykk med dybden. Dette er i samsvar med Multiconsults erfaringer fra området like nord for utbyggingsområdet (Nyhavna Øvre).

Det antas at grunnvannspeilet kan ligge i overgang mellom fyllmasser og leire ca. 3,5 m under terreng i borpunkt 1.

Det vises til tegning nr. -350 for detaljer vedr. de enkelte målepunkter og avlesninger.

5 Geoteknisk evaluering av resultatene

5.1 Avvik fra standard utførelsesmetoder

For å trenge igjennom harde lag som kunne ødelagt utstyret eller forringet poretrykksresponsen under CPTU-sonderingene, ble det forboret i begge to CPTU-sonderinger.

Forboring 1-CPTU: Fra 0 m til 3,0 m under terreng,
 4-CPTU: Fra 0 m til 3,0 m under terreng.

I borpunkt 3 ble boring i berg stoppet på grunn av høy friksjon (57,1m).

I borpunkt 1 ble det stangbrudd ved boring i det som er antatt berg (46,6m). Innboring/påvisning av berg er derfor ikke utført i dette punktet

5.2 Viktige forutsetninger

Det gjøres oppmerksom på at grunnundersøkelsene kun avdekker lokale forhold i de respektive utførte borpunktene. Dette benyttes videre til å gi en generell beskrivelse av grunnforholdene i området. Grunnforholdene mellom borpunktene kan variere mer enn det som eventuelt kan interpoleres fra utførte grunnundersøkelser.

5.3 Undersøkelses- og prøve kvalitet

Generelt vurderes kvaliteten på opptatte prøver og utførte undersøkelser som god/akseptabel. Noe prøveforstyrrelse må forventes i lagdelte masser, spesielt med siltinnhold. Utførte enaksiale trykkforsøk viser bruddtøyning (2 – 13 %), noe som indikerer noe prøveforstyrrelser.

Utførelse av 1-CPTU og 4-CPTU ligger i Anvendelsesklasse 1.

Utførte treaks- og ødometerforsøk på prøve fra ca. 5,6 m under terreng er ikke av optimal kvalitet. Forsøkene er utført på prøve med høyt siltinnhold i leira.

Det ble registrert feil på fjærer på tårnet som resulterte i for lav registrert sonderingsmotstand på de første sonderingene utført. Etter service på rigg, ble boringene utført på nytt. Det er de nye boringene er presentert på tegninger -001 og -010, samt gammel boringen i borpunkt 5 hvor det ble påvist berg.

5.4 Måling av poretrykk

Grunnvannstand- og poretrykkssituasjonen i grunnen vil kunne variere med nedbør og årstidsvariasjoner. Registreringene i borpunkt 1-PZ viser lite variasjon over måleperioden på 5 uker. Det kan ikke utelukkes at variasjonen over året eller i nedbørsintensive perioder er større enn det som er påvist ved måling i denne omgang. Vi anbefaler at måling av poretrykk videreføres.

5.5 Generell kommentar om påvisning av bergnivå

Spesielt for påvisning av overgang til antatt berg ved totalsondering anmerkes følgende:

1. Påvisning av overgang til antatt berg foregår normalt sett ved at det kontrollbores 2-3 m ned i antatt berg. Slik påvisning kan være utfordrende i tilfeller med fast morene over berg. Dette på grunn av at sonderingsresultatet (responsen) fra fast morenemateriale i noen tilfeller er vanskelig å skille fra respons i berg.

2. I områder med dårlig bergkvalitet i overgangssonen mellom løsmasser og berg er det ofte meget vanskelig å skille ut berghorisonten, spesielt i overgangen mellom faste løsmasser (f.eks. morene) og berg. Som utgangspunkt settes alltid antatt bergnivå til tolket øvre berghorisont, uavhengig av kvaliteten til berget. Antatt sone med dårlig bergkvalitet er evt. beskrevet i tekst i rapporten og/eller angitt på sonderingsutskriften.
3. I tilfeller der det kan være blokk i grunnen med størrelse over 2-3 m i tverrmål, vil det også være en mulighet for at det som antas som bergnivå i virkeligheten er blokk dersom kontrollboringen avsluttes etter 2-3 m boring i blokk.

I nevnte tilfeller kan virkelig bergnivå/berghorisont avvike vesentlig fra antatte nivåer tolket fra undersøkelsene. Angitte kotenivåer for antatt bergoverflate må derfor benyttes med forsiktighet.

6 Behov for supplerende grunnundersøkelser

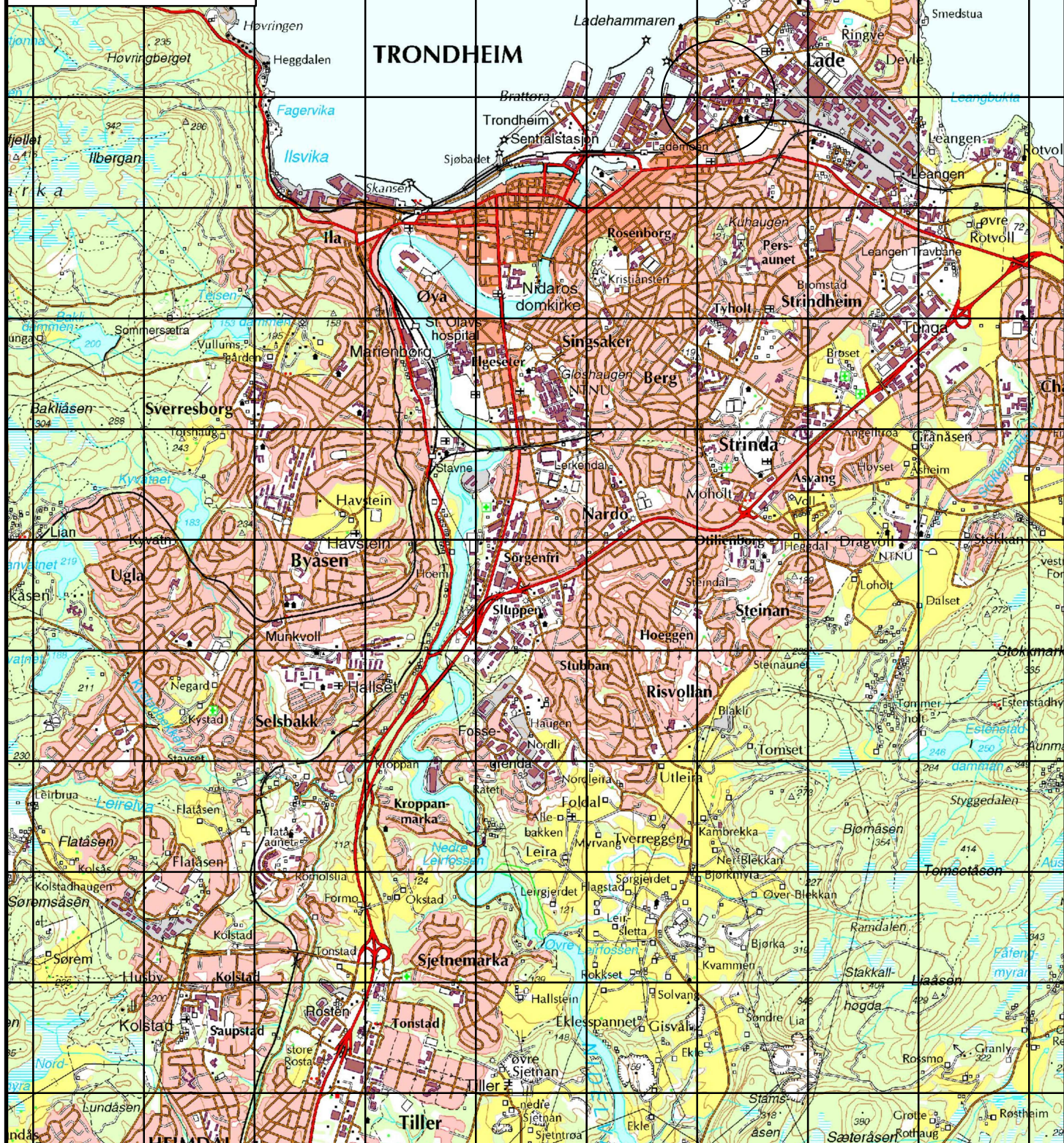
Iht. NS-EN-1997-2 skal grunnundersøkelser normalt utføres i minst to omganger;

- Forundersøkelser (typisk skisse-/forprosjekt)
- Prosjekteringsundersøkelser (typisk detaljprosjekt)

Det er geoteknisk prosjekterende som er ansvarlig for å bedømme nødvendig omfang for geotekniske grunnundersøkelser for aktuelt prosjekt og relevante problemstillinger. Tilsvarende er det også geoteknisk prosjekterende som må vurdere om det er behov for supplerende grunnundersøkelser, utover de undersøkelsene som er presentert i foreliggende rapport.

7 Referanser

- [1] Standard Norge, «Systemer for kvalitetsstyring. Krav (ISO 9001:2015)», Standard Norge, Norsk standard (Eurokode) NS-EN ISO 9001:2015.
- [2] Standard Norge, «Kvalifikasjonskrav til utførende av grunnundersøkelser – Del 1: Geotekniske feltundersøkelser (NS 8020-1:2016)», Standard Norge, Norsk standard NS 8020-1:2016, Juni 2016
- [3] Norsk Geoteknisk Forening (NGF): NGF-Melding nr. 1-11.
- [4] Standard Norge, «Eurokode 7: Geoteknisk prosjektering. Del 2: Regler basert på grunnundersøkelser og laboratorieprøver (NS-EN 1997-2:2007)», Standard Norge, Norsk standard (Eurokode) NS-EN 1997-2:2007/AC:2010+NA:2008, September 2010
- [5] Rambøll, «1350000785-M-rap-001 Lade teknopark. Datarapport med tiltaksplan», datert 19. desember 2013
- [6] Multiconsult, «417484-RIGm-RAP-001 Jarleveien 8B-D, Trondheim. Miljøgeologisk rapport», datert 21. august 2015
- [7] Multiconsult, «418493-RIGm-RAP-001 Ladebekken 6 m.fl, Trondheim. Miljøgeologisk rapport», datert 17. februar 2017
- [8] Multiconsult, «10206039-RIG-RAP-001_rev03 Nyhavna Øvre. Datarapport geotekniske grunnundersøkelser», datert 06. mai 2019
- [9] Trondheim kommune, «R.1746 Stiklestadveien VA. Datarapport», datert 05. november 2018
- [10] Trondheim kommune, «R.1300 Stiklestadveien 1. Datarapport», datert 04. april 2006
- [11] Trondheim kommune, «R.0895 Ladebekken gate. Datarapport», datert 27. januar 1993
- [12] Kummeneje, «O.8881 Vinmonopolet bygg 6», utført i 1992
- [13] Trondheim kommune, «R.0883 Strandvegen – Møllenberg. Datarapport», datert 31. desember 1992
- [14] Kummeneje, «O.6313-3 Nidelv Bru – Leangen», utført i 1987
- [15] Kummeneje, «O.1384 AS Lade Metall», utført i 1972
- [16] Kummeneje, «O.1961 AS Lade Metall»
- [17] Rambøll, «1350000785 Lade Teknopark», utført i 2013
- [18] NGI, «O.0673 Stiklestadveien 2»
- [19] Kummeneje, «O.0027 Stiklestadvegen»
- [20] NGU, «Løsmasser - Nasjonal løsmassedatabase - kvartærgeologiske kart».
- [21] Norges Vassdrags- og energidirektorat(NVE): atlas.nve.no
- [22] Statens vegvesen, SVV, «Geoteknikk i vegbygging», Håndbok V220, Veidirektorat 2018



TRONDHEIM

Multiconsult
www.multiconsult.no

OBOS Nye Hjem AS
Jarlheimsløtta
OVERSIKTSKART

| | | | |
|----------------|----------|-------------|-----|
| Revisjon | 00 | Fag | RIG |
| Konstr./Tegnet | IVA | Kontrollert | JSG |
| Oppdragsnr. | 10213380 | | |

| | | | |
|-----------------|-------------|-----------|------------|
| Original format | A4 | Dato | 2020-01-31 |
| Godkjent | JSG | Målestokk | 1:50000 |
| Tegningsnr. | RIG-TEG-000 | | |

\nsv2-nasuni-01\proj\jekt\101213\10213380-01\10213380-01-03 ARBEIDSONMRÅDE\10213380-01 RIG\10213380-01-04 TEGNINGER\10213380-RIG-TEG-001 Borplan.dwg - Layout: (001-tegning (A3)) - Plottet av: iva, Dato: 2020.02.03 kl 11:30



TEGNFORKLARING

- | | | |
|-------------------|------------------------|----------------------|
| ● DREIESONDERING | ⊙ PRØVESERIE | ⊖ PORETRYKKMÅLING |
| ○ ENKEL SONDERING | □ PRØVEGROP | ⊕ KJERNEBORING |
| ▼ RAMSONDERING | ⬇️ DREIETRYKKSONDERING | ⊛ BERGKONTROLLBORING |
| ▽ TRYKKSONDERING | ⊠ SKRUPLATEFORSØK | ^ BERG I DAGEN |
| ⊕ TOTALSONDERING | + VINGEBORING | |
- KARTGRUNNLAG: KART FRA WMS
 KOORDINATSYSTEM: EUREF89, sone 32
 HØYDEREFERANSE: NN2000
- EKSEMPEL
 BP 1 ⊕ $\frac{430}{28.2}$ 14.8 + 2.4 — BORET DYBDE + BORET I BERG
 ANTATT BERGKOTE

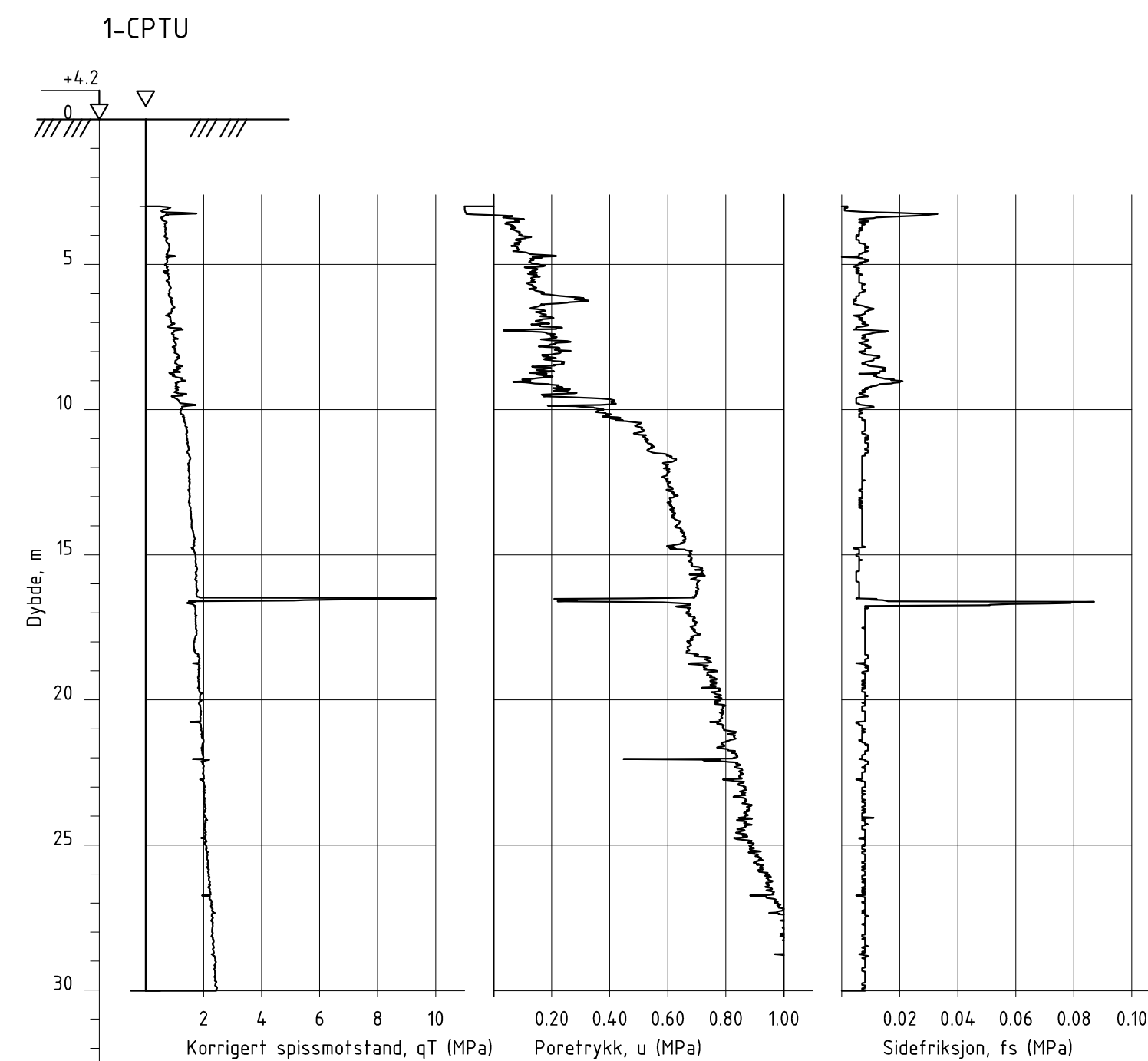
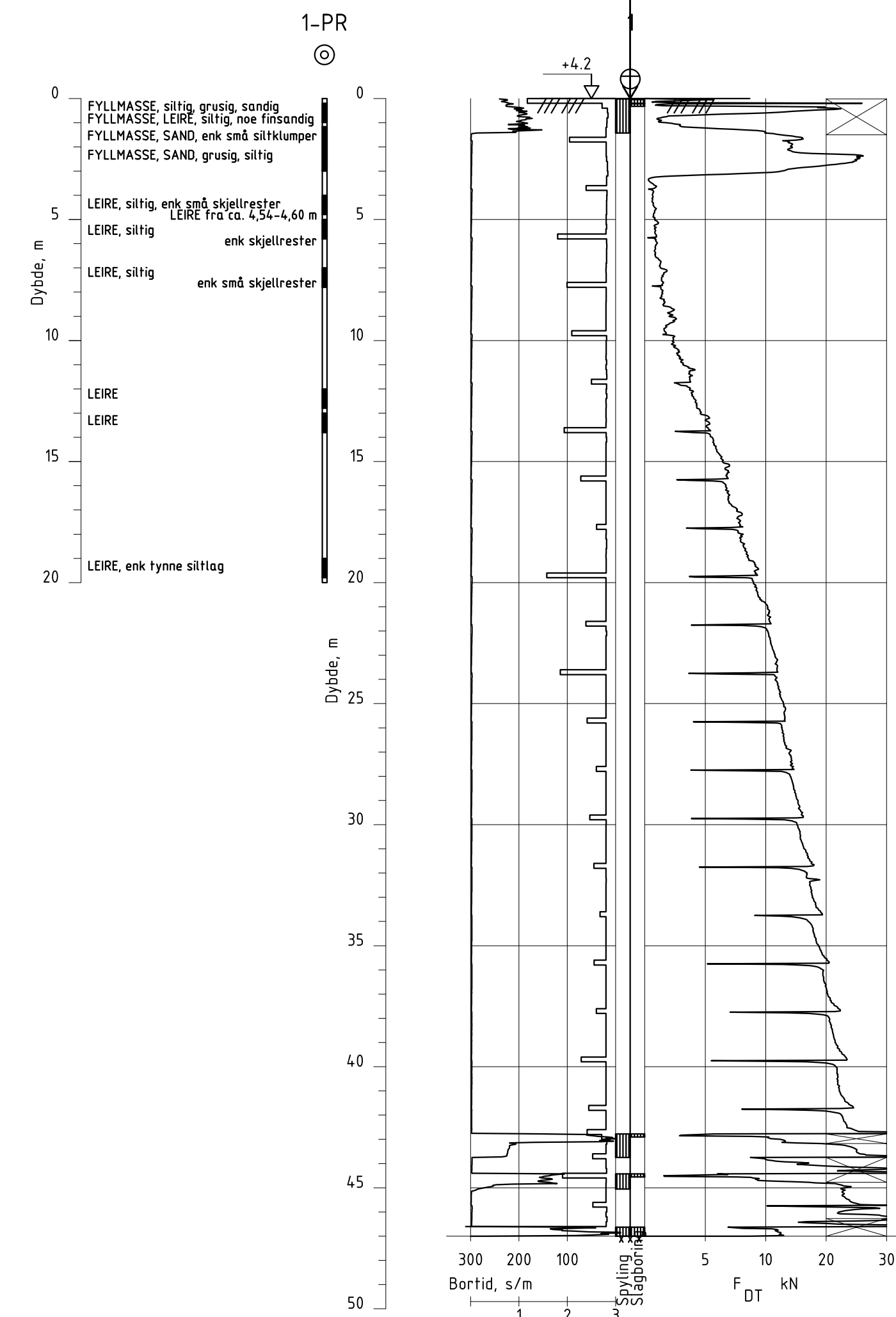
| Rev. | Beskrivelse | Endr. liste | Dato | Tegn. | Kontr. | Godkj. |
|------|-------------|-------------|------|-------|--------|--------|
| | | | | | | |

Multiconsult
 www.multiconsult.no

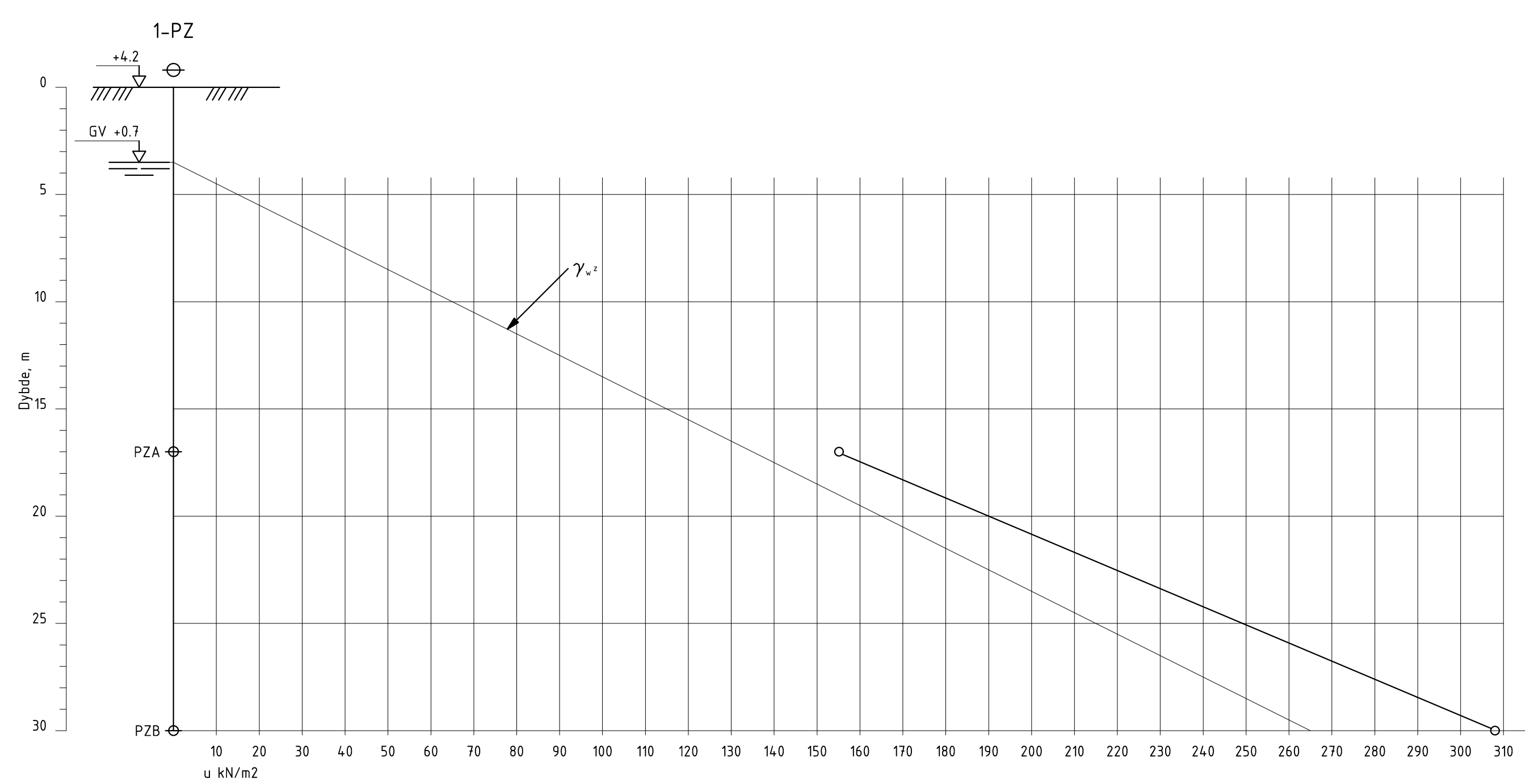
31.01.2020
 JARLHEIMSLETTA
 BORPLAN

| | | | | | | | |
|----------------|----------|-------------|-------------|-----------------|-----|-----------|------------|
| Status | Intern | Fag | RIG | Original format | A3 | Dato | 31.01.2020 |
| Konstr./Tegnet | SIVMH | Kontrollert | JSG | Godkjent | JSG | Målestokk | 1:1000 |
| Oppdragsnr. | 10213380 | Tegningsnr. | RIG-TEG-001 | Rev. | 00 | | |

\ns\2-nasuni-07\prosjekt\10213380-01\10213380-01\10213380-01-03 ARBEIDSDOMRADE\10213380-01-RIG-10213380-01-04-TEGNINGER\10213380-RIG-TEG-010 Sonderinger.dwg - Layout: 1610-tegning (Profiler - A3LL) - Plottet av: iwa, Dato: 2020.02.03 kl



Antatt berg på 46,6 m.
 Innboring ikke utført pga
 stangbrudd etter ca. 30 cm
 boring i antatt berg.



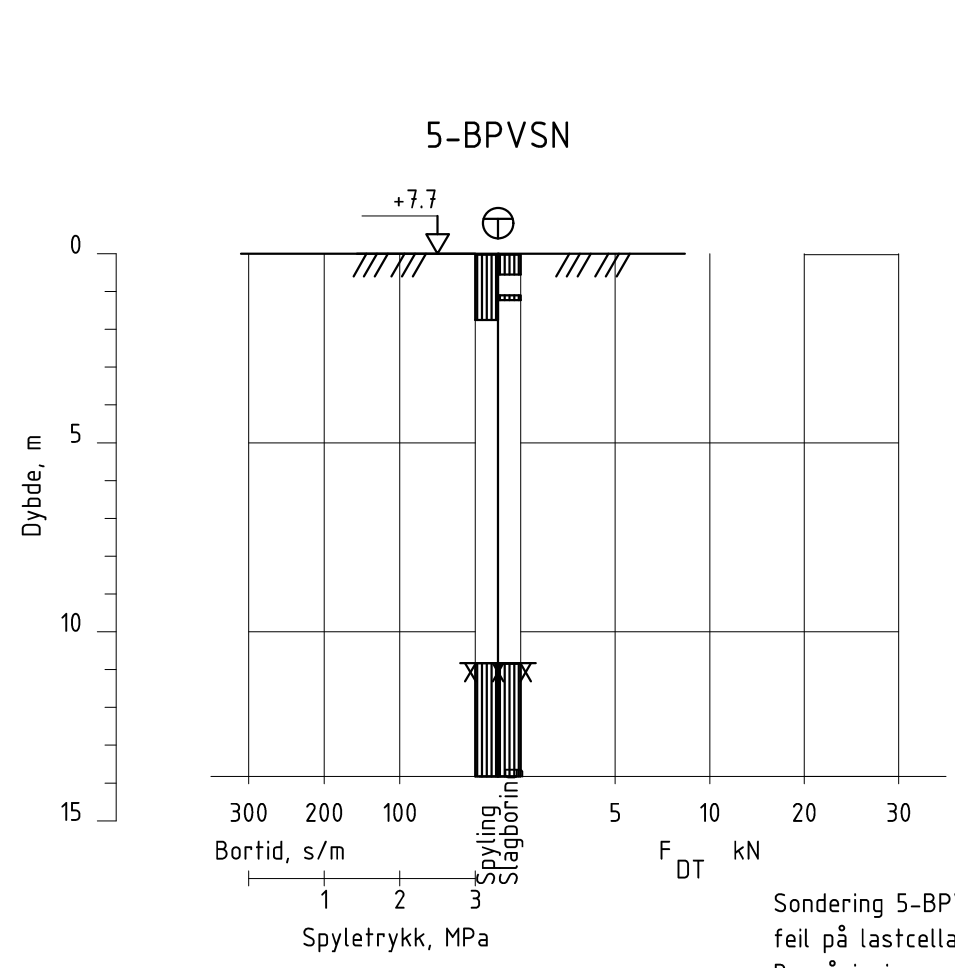
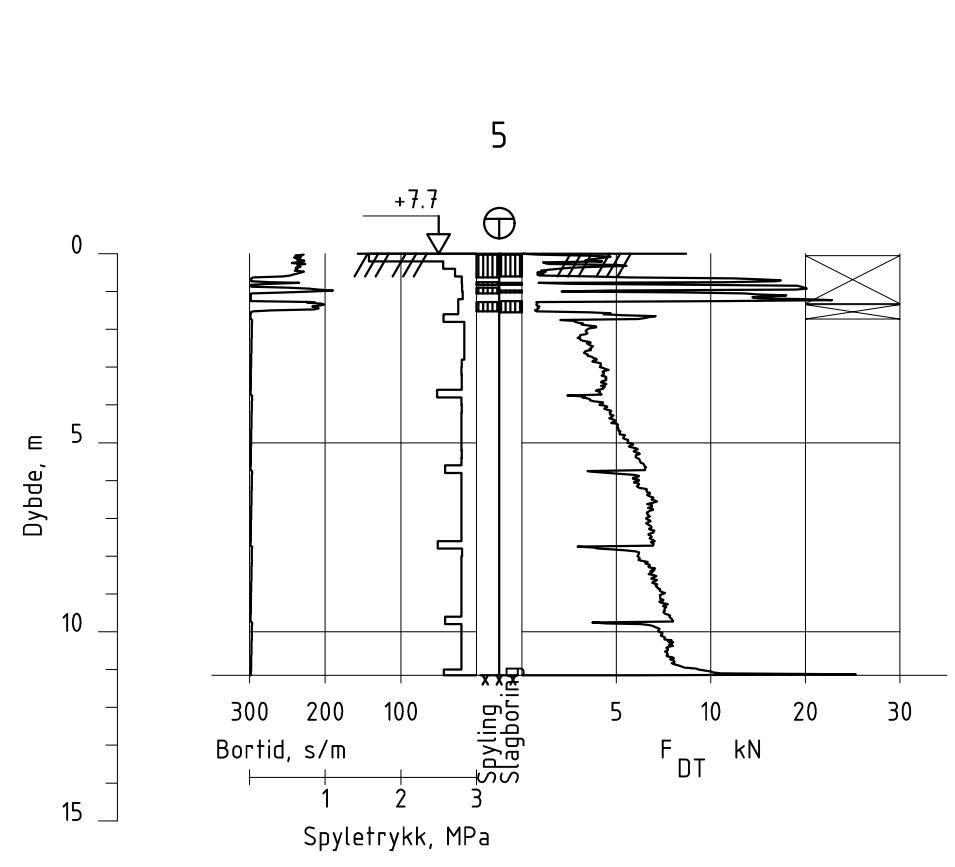
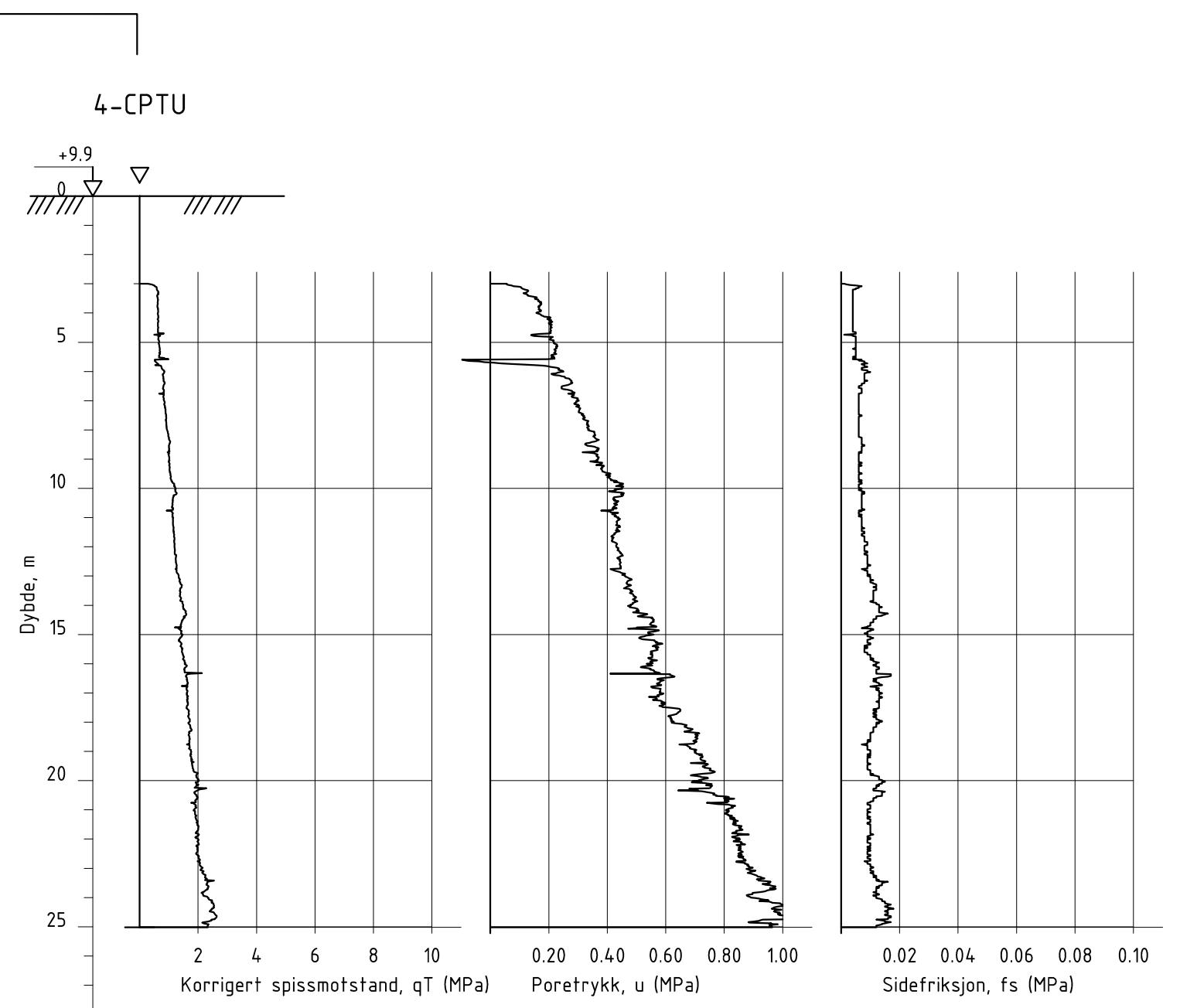
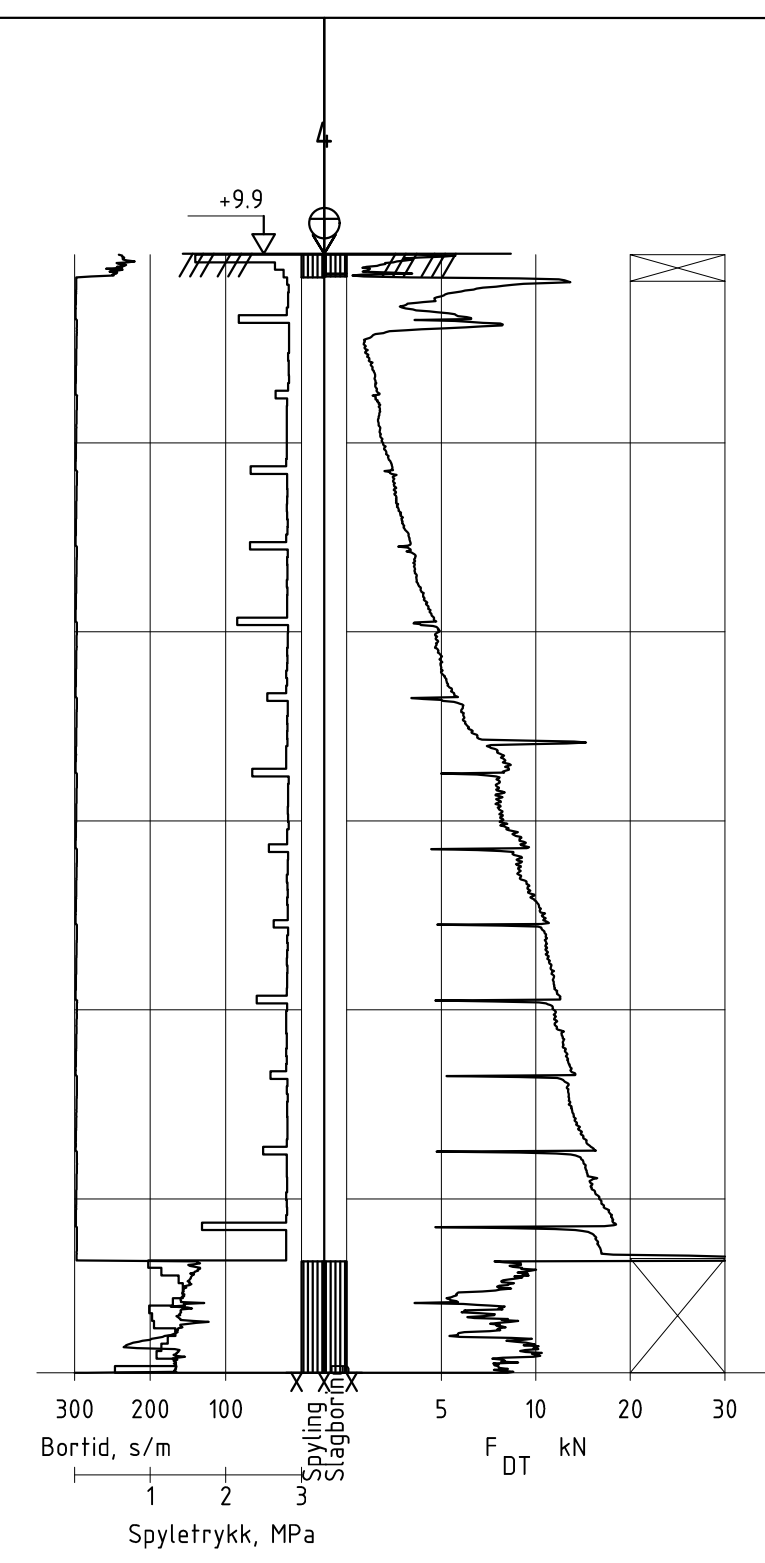
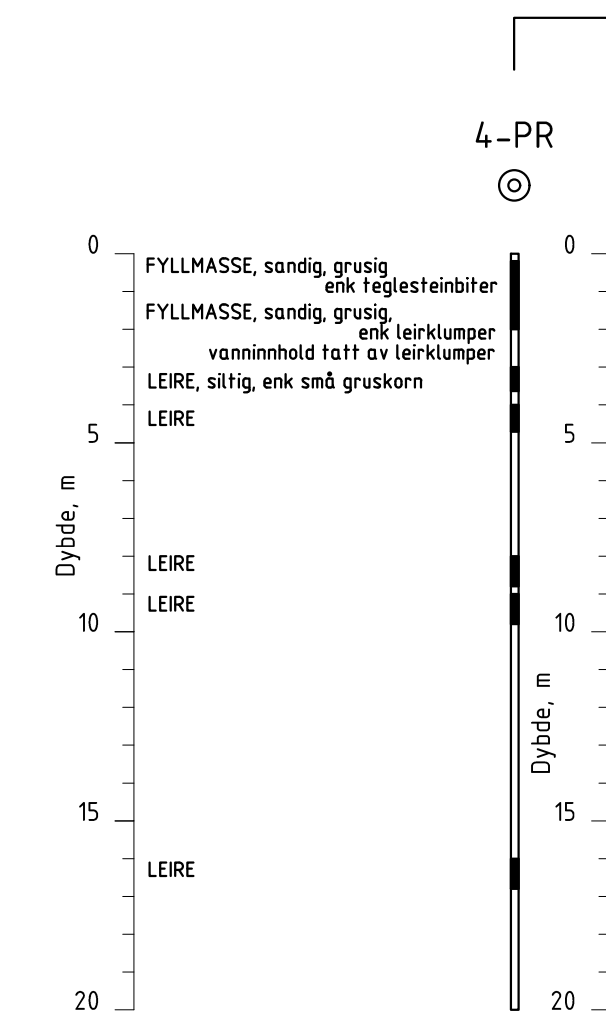
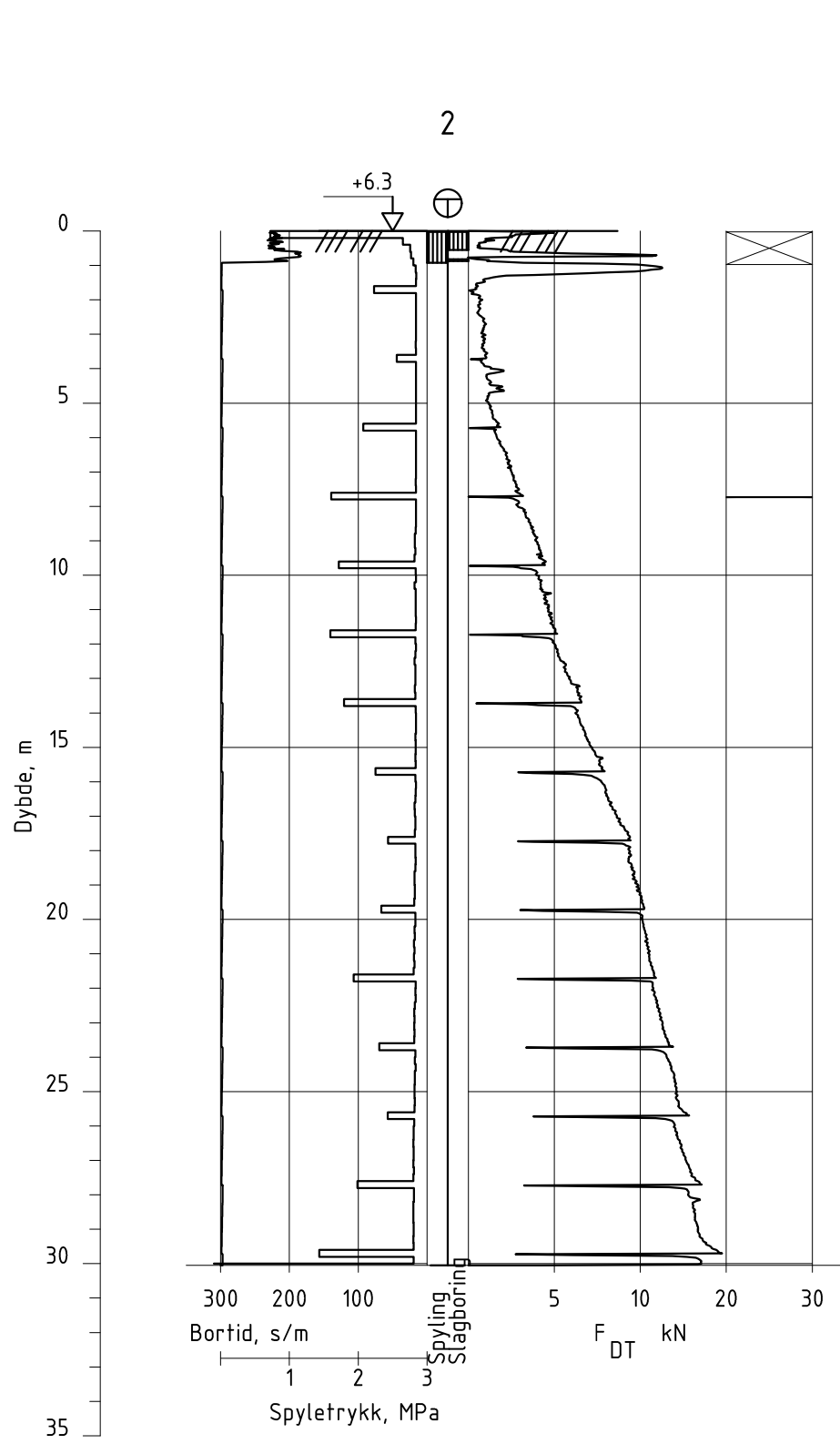
| Rev. | Beskrivelse | Endr. liste | Dato | Tegn. | Kontr. | Godkj. |
|------|-------------|-------------|------|-------|--------|--------|
| | | | | | | |
| | | | | | | |
| | | | | | | |



OBOS Nye Hjem AS
 Jarlheimstletta
 Sonderinger
 Borpunkt 1

| | | | |
|----------------|-------------|-----------------|------------|
| Status | Fag | Original format | Dato |
| Konstr./Tegnet | RIG | A3LL | 2020-01-31 |
| Oppdragsnr. | Kontrollert | Godkjent | Målestokk |
| 10213380 | JSG | JSG | 1:200 |
| Tegningsnr. | Rev. | | |
| RIG-TEG-010 | 00 | | |

\ns\2-nasuni-01\prosjekt\10121\10213380-01\10213380-01-03 ARBEIDSDOKUMENTER\10213380-01-04. TEGNINGER\10213380-RIG-TEG-010 Sonderinger.dwg. - Layout: 160- tegning (Profiler - A3L) [B] - Plottet av: Iva. Dato: 2020.02.03



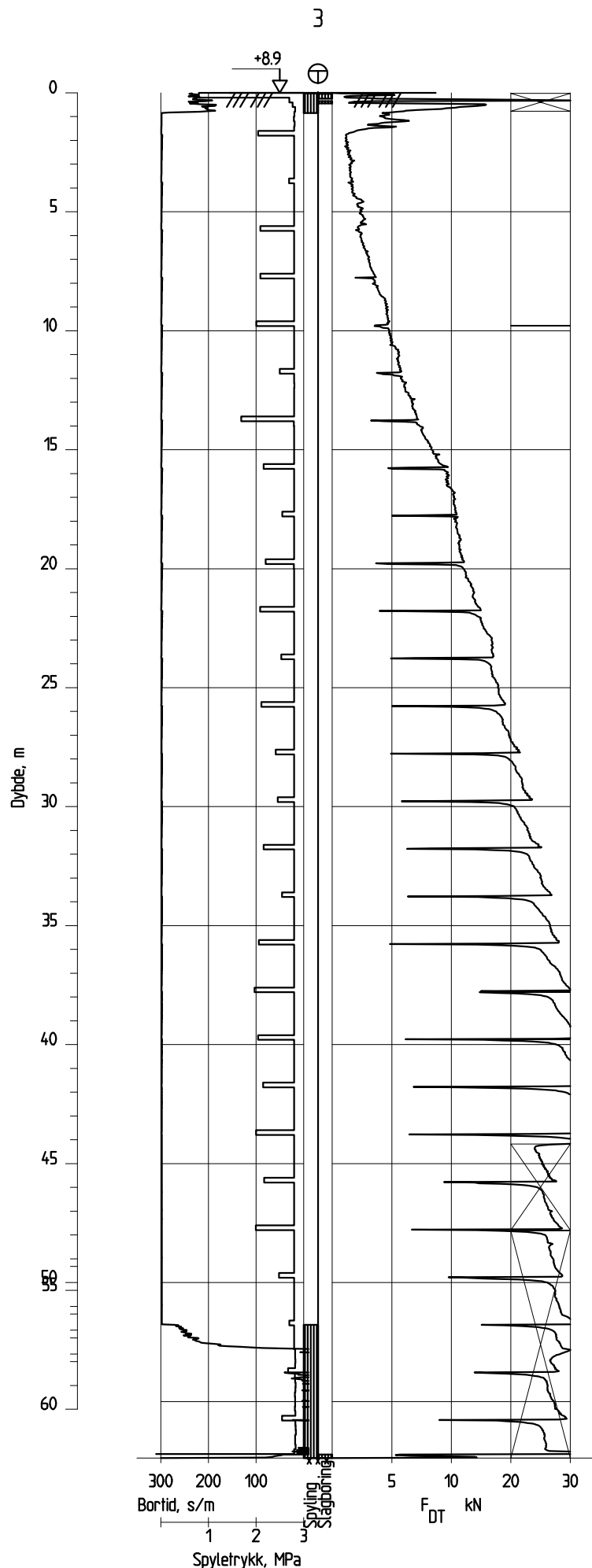
Sondring 5-BPVSN er utført med feil på lastcella på boreriggen. Berpåvisning antas likevel riktig.

| Rev. | Beskrivelse | Endr.liste | Dato | Tegn. | Kontr. | Godkj. |
|------|-------------|------------|------|-------|--------|--------|
| | | | | | | |



OBOS Nye Hjem AS
 Jarheimstletta
 Sonderinger
 Borpunkt 2, 4 og 5

| | | | |
|----------------|-------------|-----------------|------------|
| Status | Fag | Original format | Dato |
| Konstr./Tegnet | RIG | A3LL | 2020-01-31 |
| Oppdragsnr. | Kontrollert | Godkjent | Målestokk |
| 10213380 | JSG | JSG | 1:200 |
| Tegningsnr. | Rev. | | |
| RIG-TEG-011 | 00 | | |



Antatt berg på 57,1 m.
 Innboring i berg måtte
 stoppes pga høy friksjon og
 lite nedtrengningsevne i
 boreprosessen.

| Dybde (m) | Beskrivelse | Prøve | Test | Vanninnhold (%) og konsistensgrenser | | | | | ρ (g/cm ³) | Porøsitet (%) | Organisk innhold (%) | Udrenert skjærfasthet (kPa) | | | | | St (-) |
|-----------|---|-------|------|--------------------------------------|----|----|----|------|-----------------------------|---------------|----------------------|-----------------------------|----|----|----|----|--------|
| | | | | 10 | 20 | 30 | 40 | 50 | | | | 10 | 20 | 30 | 40 | 50 | |
| 5 | FYLLMASSE, sandig, grusig enk teglsteinbiter | | | | | | | | | | | | | | | | |
| | FYLLMASSE, sandig, grusig, enk leirklumper vanninnhold tatt av leirklumper | | | | | | | | | | | | | | | | |
| 5 | LEIRE, siltig, enk små gruskorn | | | | | | | 1,90 | | | | | | | | | 20 |
| | LEIRE | | | | | | | 1,95 | | | | | | | | | 7 8 |
| 10 | LEIRE | | | | | | | 1,97 | | | | | | | | | 7 5 |
| | LEIRE | | | | | | | 1,96 | | | | | | | | | 5 7 |
| 15 | | | | | | | | | | | | | | | | | |
| 20 | LEIRE | | | | | | | 2,01 | | | | | | | | | 5 5 |

Symboler:



Enaksialforsøk (strek angir akseil tøyning (%) ved brudd)

○ Vanninnhold¹⁰

▼ Omrørt konus

ρ = Densitet

T = Treaksialforsøk

ρ_s : 2,75 g/cm³

┌ Plastisitetesindeks, Ip

▽ Uomrørt konus

S_t = Sensitivitet

Ø = Ødometerforsøk

Grunnvannstand: m

K = Korngradering

Borbok:

Lab-bok: Digital

PRØVESERIE

Borhull:

4

OBOS Nye Hjem AS

Dato:

2020-01-16

Jarlheimsletta, geotekniske grunnundersøkelser

Multiconsult
www.multiconsult.no

Konstr./Tegnet:

mash

Kontrollert:

vt

Godkjent:

JSG

Oppdragsnummer:

10213380

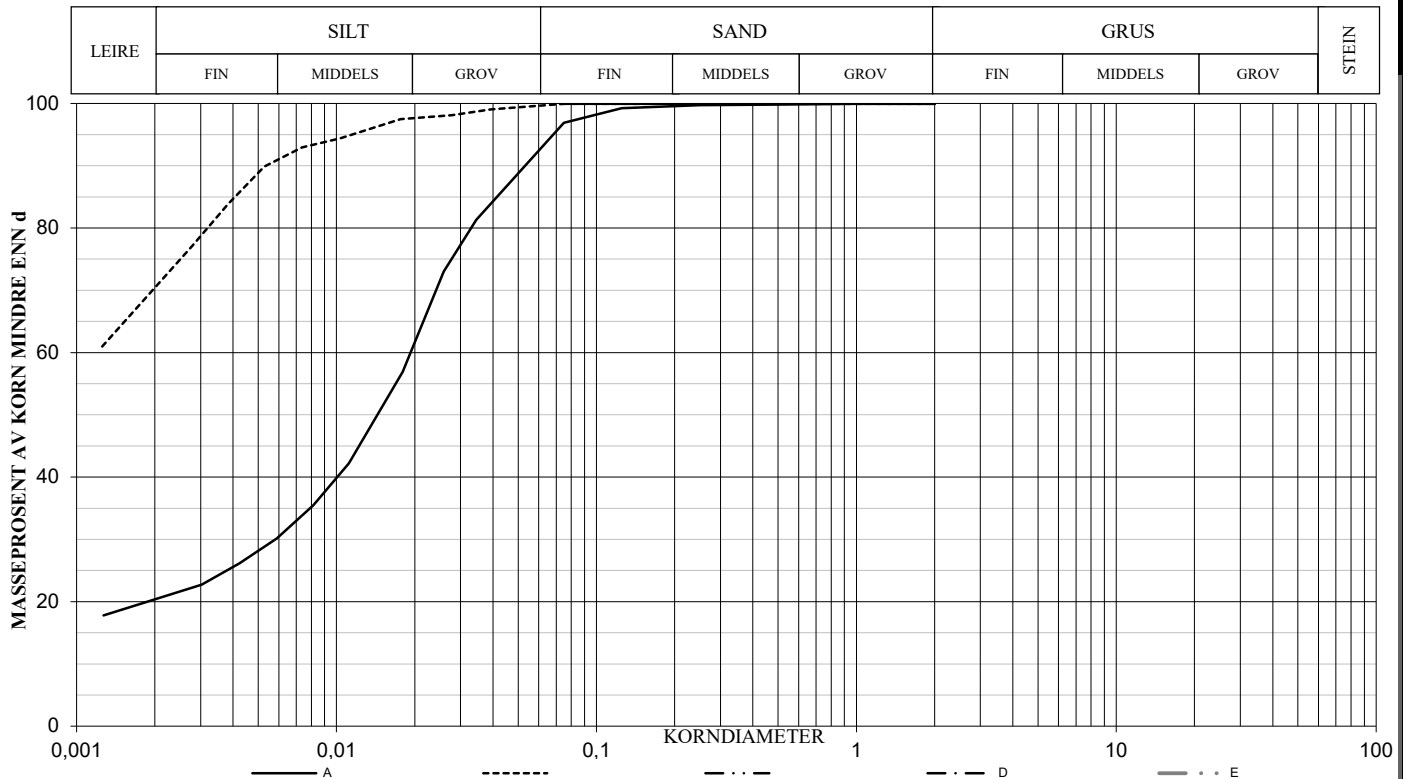
Tegningsnr.:

RIG-TEG-201

Rev. nr.:

00

| SYMBOL | SERIE NR. | DYBDE (m) | JORDARTS BETEGNELSE | Anmerkninger | METODE | | |
|--------|-----------|-----------|---------------------|--------------|--------|----|-----|
| | | | | | TS | VS | HYD |
| A | 1 | 5,35 | LEIRE, siltig | | X | | X |
| B | 1 | 13,36 | LEIRE | | X | | X |
| C | | | | | | | |
| D | | | | | | | |
| E | | | | | | | |



SYMBOL:

Ogl. = Glødetap (%)

Ona. = Humusinnhold (%)

Perm. = Permeabilitet (m/s)

$$C_c = \frac{D_{20}^2}{(D_{60})(D_{10})}$$

$$C_u = \frac{D_{60}}{D_{10}}$$

METODE:

TS = Tørr sikt

VS = Våt sikt

HYD = Hydrometer

| SYM BOL | Tele gruppe | W % | Su kN/m ² | Su r kN/m ² | Plastisitet | | Glødetap Ogl % | < 0,02 mm % | Tot. densitet kN/m ³ | D ₁₀ mm | D ₃₀ mm | D ₅₀ mm | D ₆₀ mm |
|---------|-------------|------|----------------------|------------------------|----------------|----------------|----------------|-------------|---------------------------------|--------------------|--------------------|--------------------|--------------------|
| | | | | | W _f | W _p | | | | | | | |
| A | | 26,9 | | | | | | | | | 0,0058 | 0,0148 | 0,0195 |
| B | | 44,0 | | | | | | | | | | | |
| C | | | | | | | | | | | | | |
| D | | | | | | | | | | | | | |
| E | | | | | | | | | | | | | |

KORNGRADERING

OBOS Nye Hjem AS
Jarlheimsletta, geotekniske grunnundersøkelser
Grunnundersøkelser

Konstr./Tegnet
mash

Kontrollert
vt

Godkjent
JSG

Dato
10.12.19

Multiconsult
www.multiconsult.no

OPPDRAK NR.

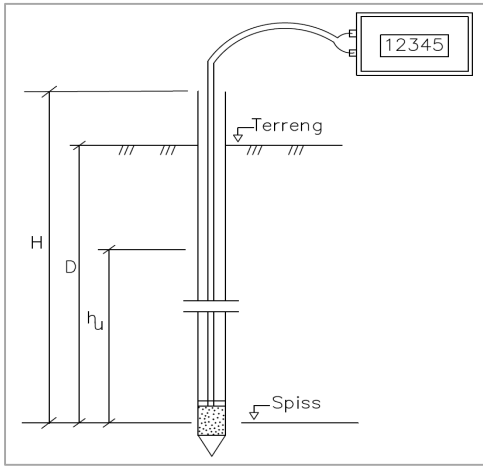
10213380

TEGN.NR.

RIG-TEG-300

REV.

00



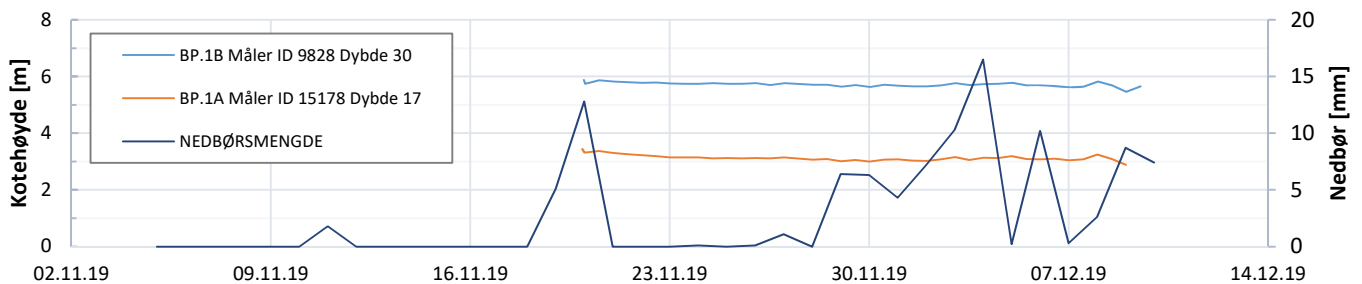
| | ID | Bor.pkt | Kote [m] | Anmerkning |
|-----------------|-------|---------|----------|------------|
| Poretrykksmåler | 9828 | 1B | -25,8 | Dybde 30 |
| Poretrykksmåler | 15178 | 1A | -12,8 | Dybde 17 |
| | | | | |
| | | | | |
| | | | | |
| | | | | |
| | | | | |
| | | | | |
| | | | | |
| | | | | |

Lokasjon og geometri

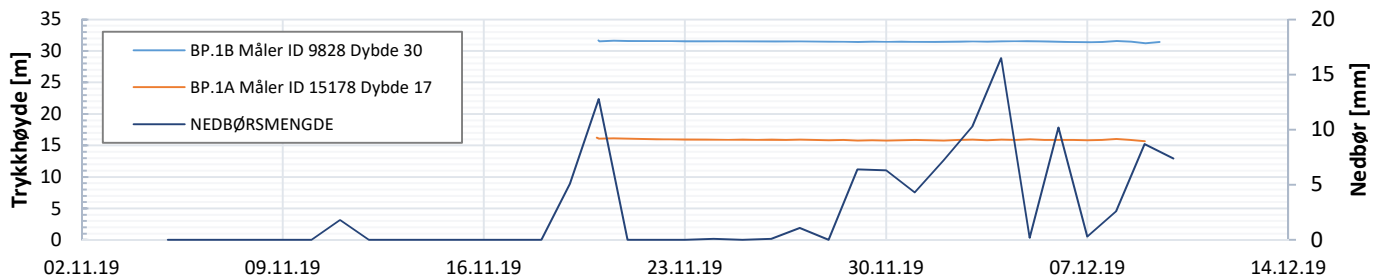
Måler/ID **9828 15178**

| | | |
|---|-------|---------|
| Koordinat NORD (X) [m] | ##### | ##### |
| Koordinat ØST (Y) [m] | 71245 | 71245,3 |
| Terrengkote [m] | 4,2 | 4,2 |
| Topp rør over terreng [m] | 1,0 | 2,0 |
| Topp rør kote [m] | 5,2 | 6,2 |
| Lengde rør + spiss (H) [m] | 31,0 | 19,0 |
| Dybde filterspiss under terreng (D) [m] | 30,0 | 17,0 |
| Filterspiss kote [m] | -25,8 | -12,8 |

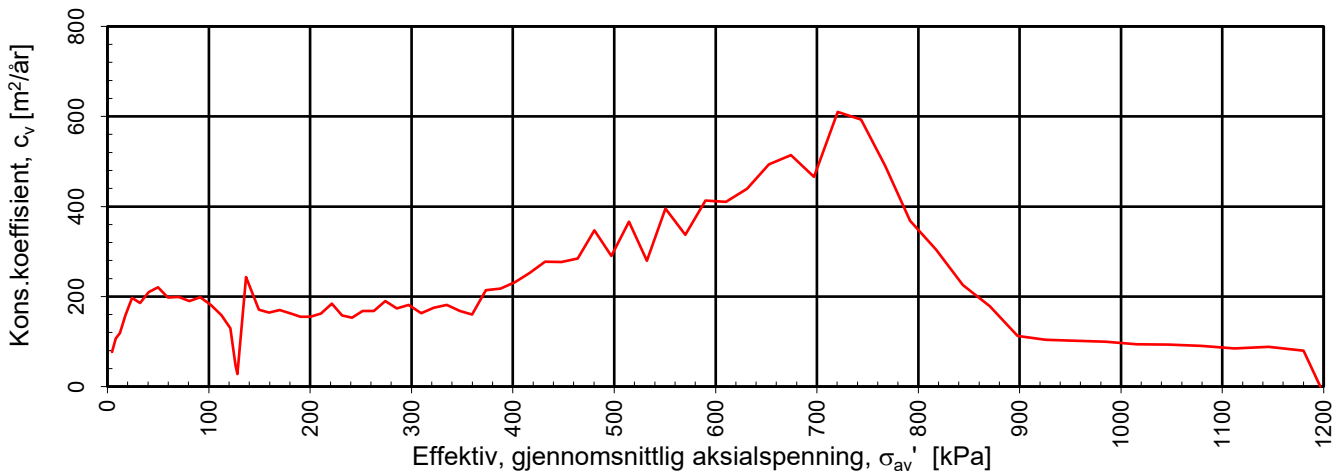
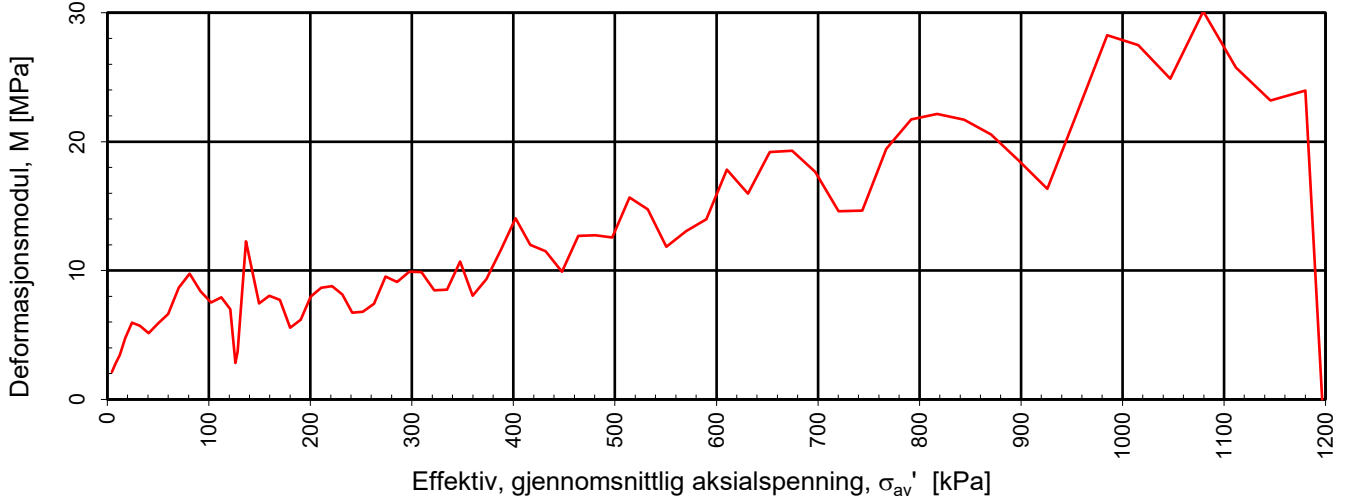
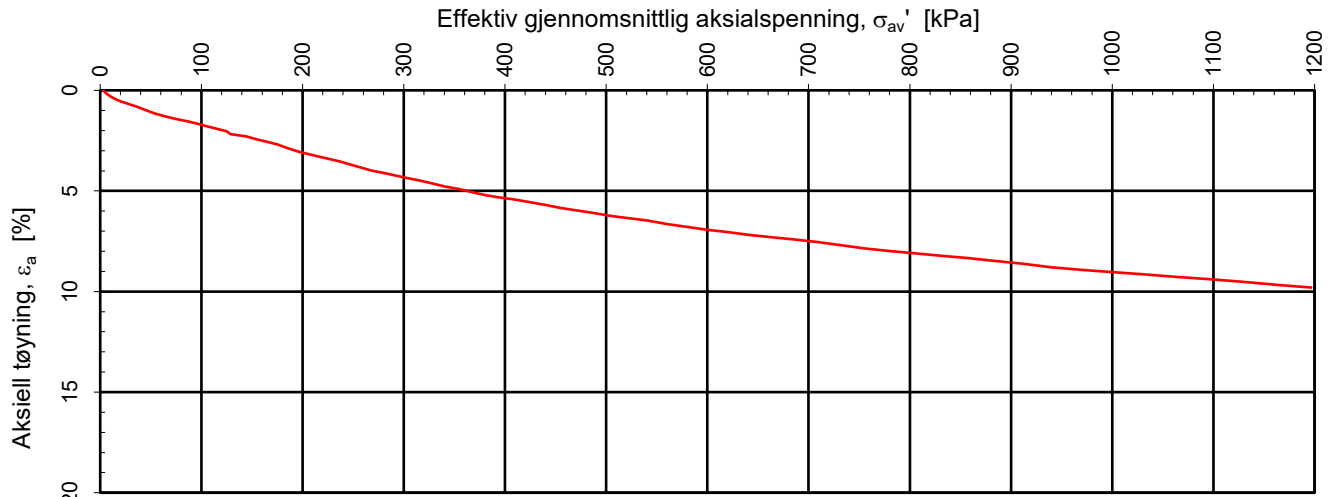
Trykkehøyde [kt]



Trykkehøyde [hu]



| | | | | | | | | | |
|------------------------|--------------------------------------|-----------------|----------|-------------|--------------|-------------------|------------|------------|------------|
| Type | Elektrisk poretrykksmåling, 2 dybder | Borpunkt | 1 | ID | 1-PZA, 1-PZB | Installert dato | 05.11.2019 | Borboek nr | Digital |
| OBOS Nye Hjem AS | Jarlheimsletta | Status | Utfendt | ag | RIG | Original terminal | A4 | Dato | 31.01.2020 |
| Poretrykksregistrering | 10213380 | Konstr / regnet | IVA | Kontrollert | JSG | Udsk jent | JSG | Målestokk | - |
| | | Oppmåling | 10213380 | Regningsnr | RIG-TEG-350 | | | Rev | 0 |



Densitet ρ (g/cm³): **2,03**
 Vanninnhold w (%): **27,00**

Effektivt overlagingstrykk, σ_{vo}' (kPa): **55,00**

OBOS Nye Hjem AS
Jarlheimsletta, geotekniske grunnundersøkelser

Tegningens filnavn:
 10213380-RIG-TEG-401_h1, d5.55.xlsx

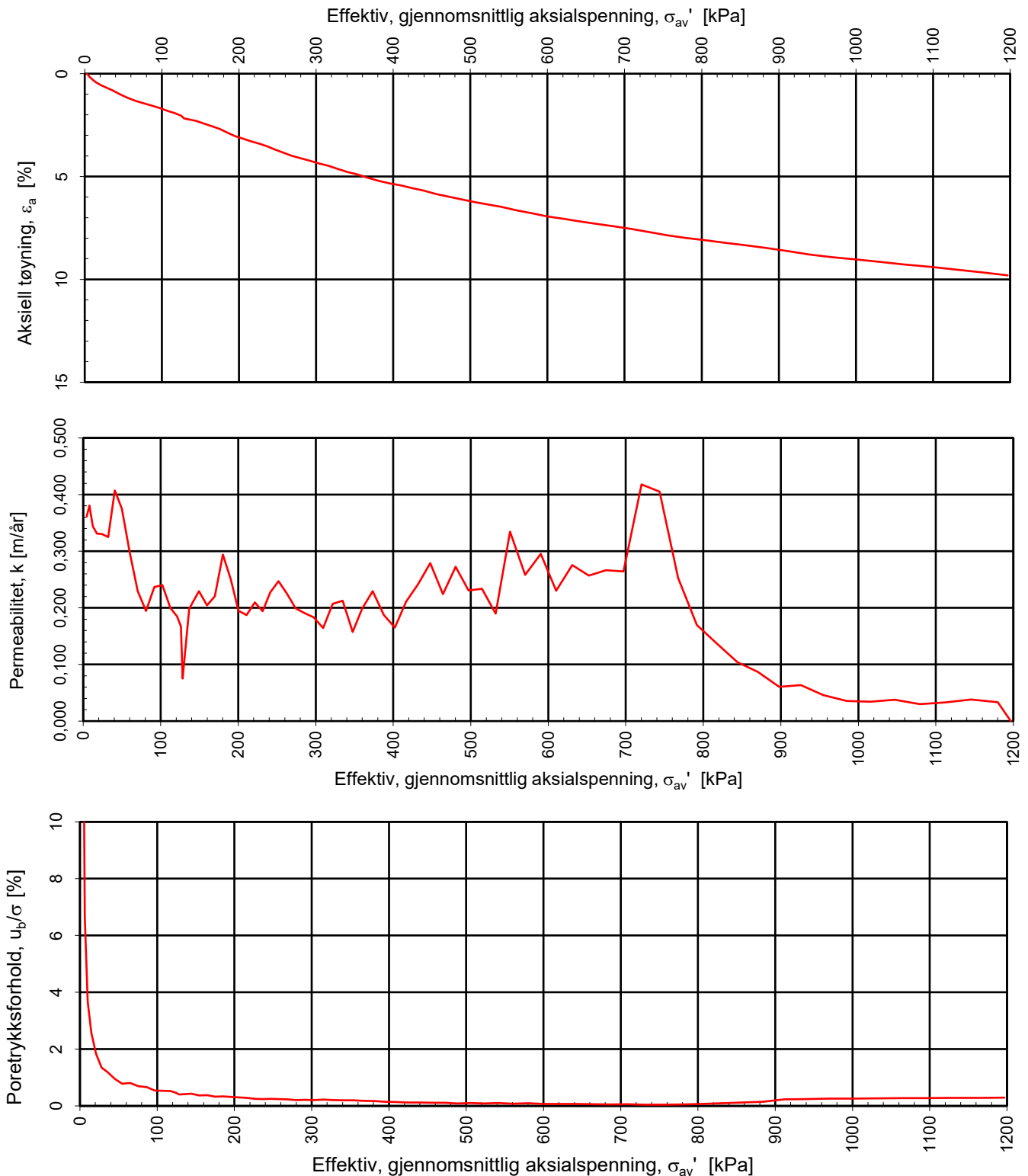
Kontinuerlig ødometerforsøk, CRS-rutine. Plott A: $\sigma_{av}' - \varepsilon_a$, M og c_v .

**MULTICONSULT
 NORGE AS**
 Sluppenvegen 15,
 7486 TRONDHEIM
 Tlf.: 73 10 62 00
 Faks: 73 10 62 30

| | | |
|----------------------------|-------------------------------|----------------------|
| Forsøksdato: 10.12.2019 | Dybde, z (m): 5,55 | Borpunkt nr.: 1 |
| Forsøknr.: 1 | Tegnet av: vt | Kontrollert: mash |
| Oppdrag nr.: 10213380 | Tegning nr.: RIG-TEG-401.1 | Prosedyre: CRS |

**Multi
 consult**

Godkjent:
JSG
 Programrevisjon:
 16.07.2018



Densitet ρ (g/cm³):

2,03

Vanninnhold w (%):

27,00

Effektivt overlagingstrykk, σ_{vo}' (kPa):

55,00

OBOS Nye Hjem AS

Jarlheimsletta, geotekniske grunnundersøkelser

Kontinuerlig ødometerforsøk, CRS-rutine. Plott B: $\sigma_{av}' - \varepsilon_a$, k og u_b/σ .

Tegningens filnavn:

10213380-RIG-TEG-401_h1, d5.55.xlsx

MULTICONSULT NORGE AS

Sluppenvegen 15,
7486 TRONDHEIM
Tlf.: 73 10 62 00
Faks: 73 10 62 30

Forsøksdato:

10.12.2019

Dybde, z (m):

5,55

Borpunkt nr.:

1

Forsøknr.:

1

Tegnet av:

vt

Kontrollert:

mash

Oppdrag nr.:

10213380

Tegning nr.:

RIG-TEG-401.2

Prosedyre:

CRS

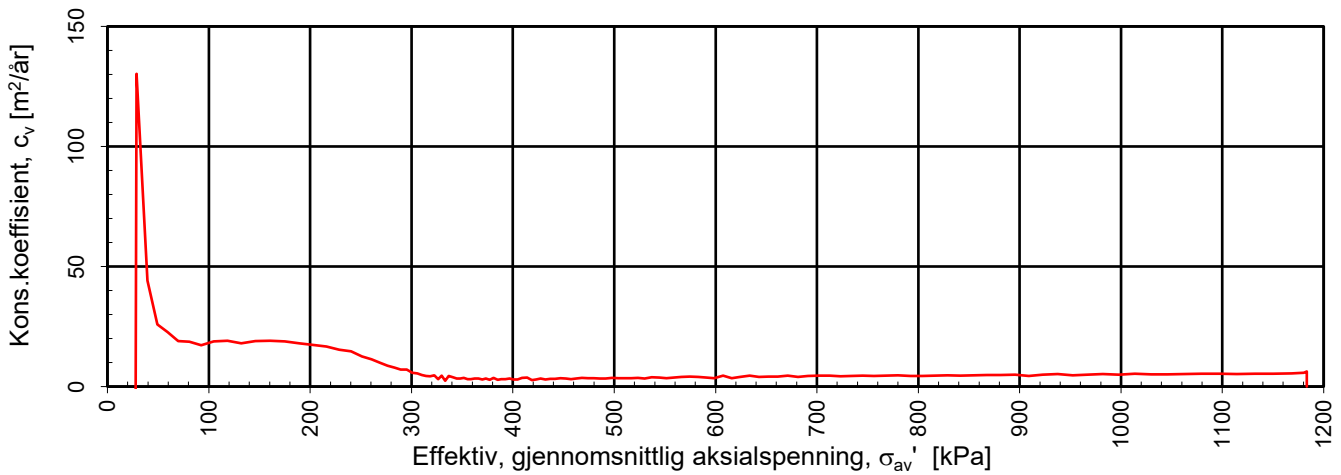
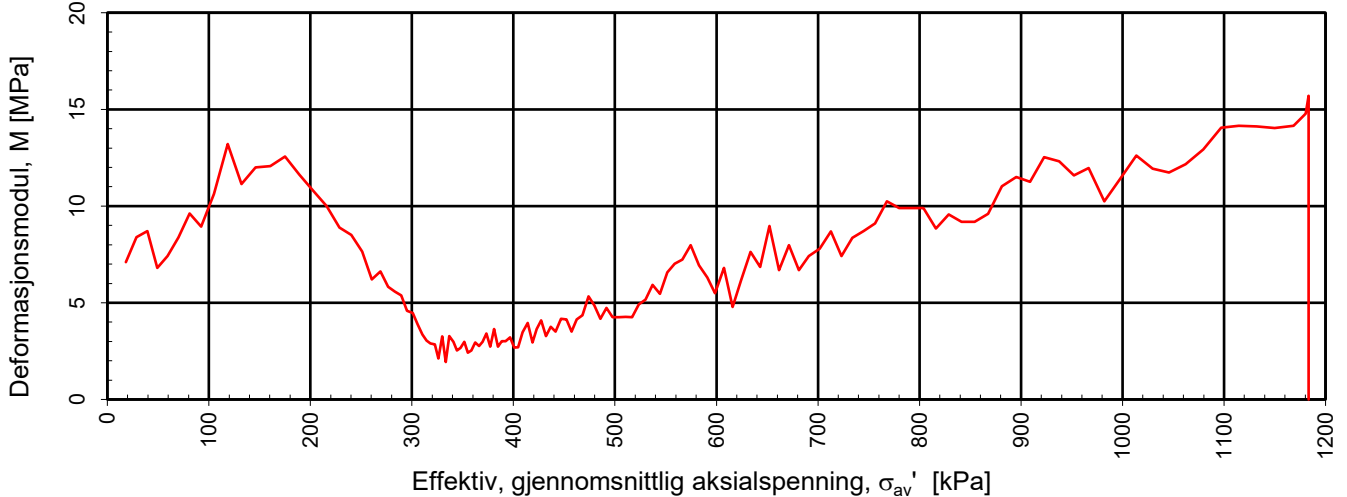
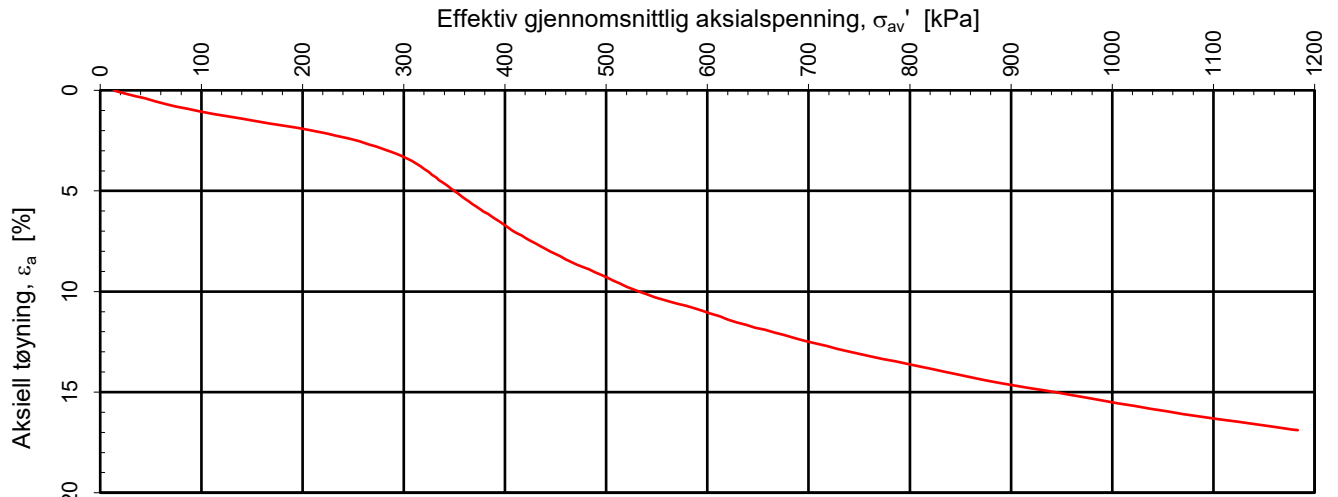
Godkjent:

JSG

Programrevisjon:

16.07.2018

Multi
consult



Densitet ρ (g/cm³): **1,85**
 Vanninnhold w (%): **44,00**

Effektivt overlagingstrykk, σ_{vo}' (kPa): **108,26**

OBOS Nye Hjem AS
Jarlheimsletta, geotekniske grunnundersøkelser

Tegningens filnavn:
 10213380-RIG-TEG-401_h1, d13,30m.xlsx

Kontinuerlig ødometerforsøk, CRS-rutine. Plott A: $\sigma_{av}' - \epsilon_a$, M og c_v .

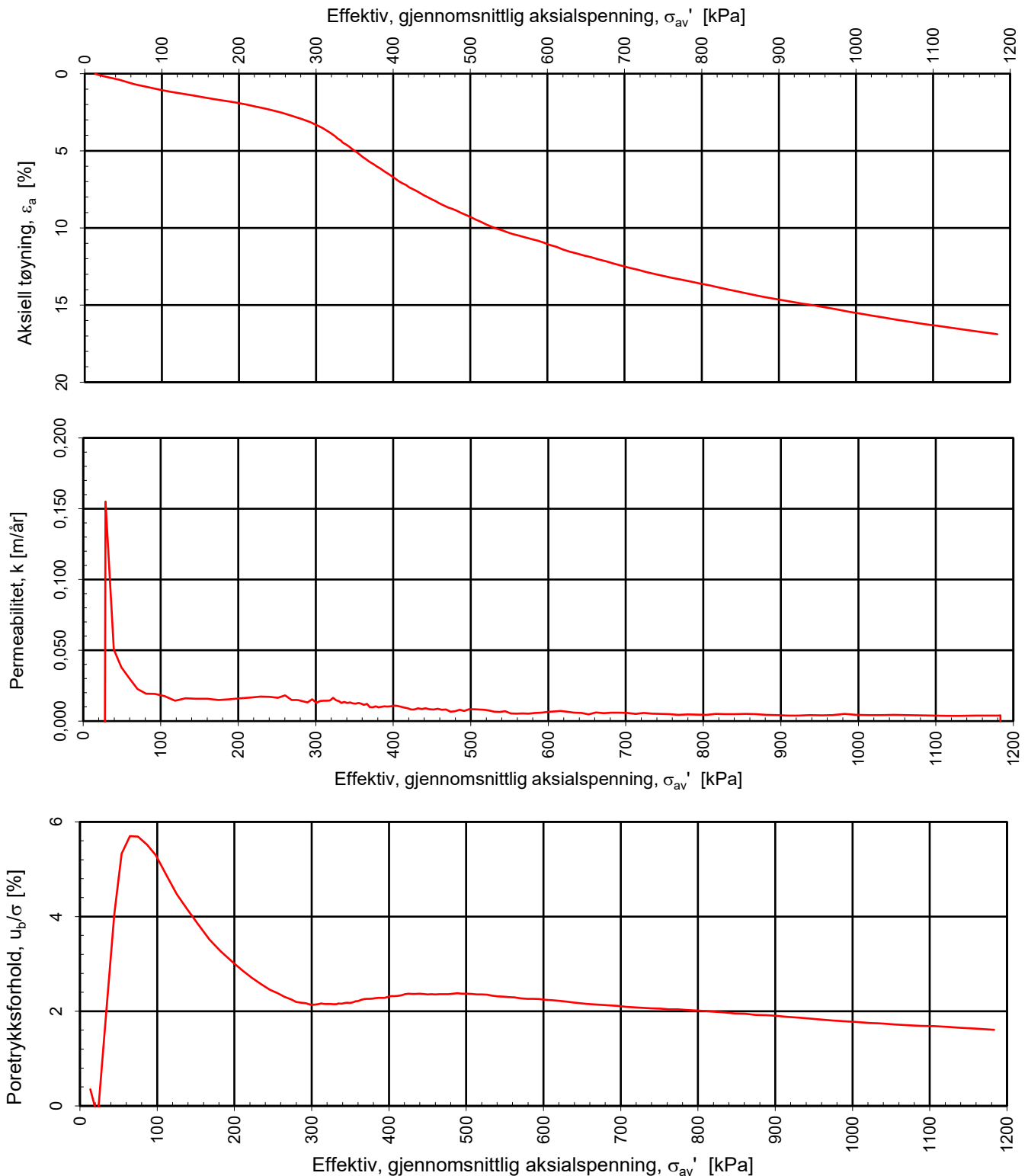
**MULTICONSULT
 NORGE AS**
 Sluppenvegen 15,
 7486 TRONDHEIM
 Tlf.: 73 10 62 00
 Faks: 73 10 62 30

| | | |
|----------------------------|-------------------------------|----------------------|
| Forsøksdato: 11.12.2019 | Dybde, z (m): 13,30 | Borpunkt nr.: 1 |
| Forsøknr.: 2 | Tegnet av: vt | Kontrollert: mash |
| Oppdrag nr.: 10213380 | Tegning nr.: RIG-TEG-402.1 | Prosedyre: CRS |

**Multi
 consult**

Godkjent:
JSG

Programrevisjon:
 16.07.2018



Densitet ρ (g/cm³):

1,85

Vanninnhold w (%):

44,00

Effektivt overlagingstrykk, σ_{vo}' (kPa):

108,26

OBOS Nye Hjem AS

Jarlheimsletta, geotekniske grunnundersøkelser

Kontinuerlig ødometerforsøk, CRS-rutine. Plott B: $\sigma_{av}' - \varepsilon_a$, k og u_b/σ .

Tegningens filnavn:

10213380-RIG-TEG-401_h1, d13.30m.xlsx

MULTICONSULT NORGE AS

Sluppenvegen 15,
7486 TRONDHEIM
Tlf.: 73 10 62 00
Faks: 73 10 62 30

Forsøksdato:

11.12.2019

Dybde, z (m):

13,30

Borpunkt nr.:

1

Forsøknr.:

2

Tegnet av:

vt

Kontrollert:

mash

Oppdrag nr.:

10213380

Tegning nr.:

RIG-TEG-402.2

Prosedyre:

CRS

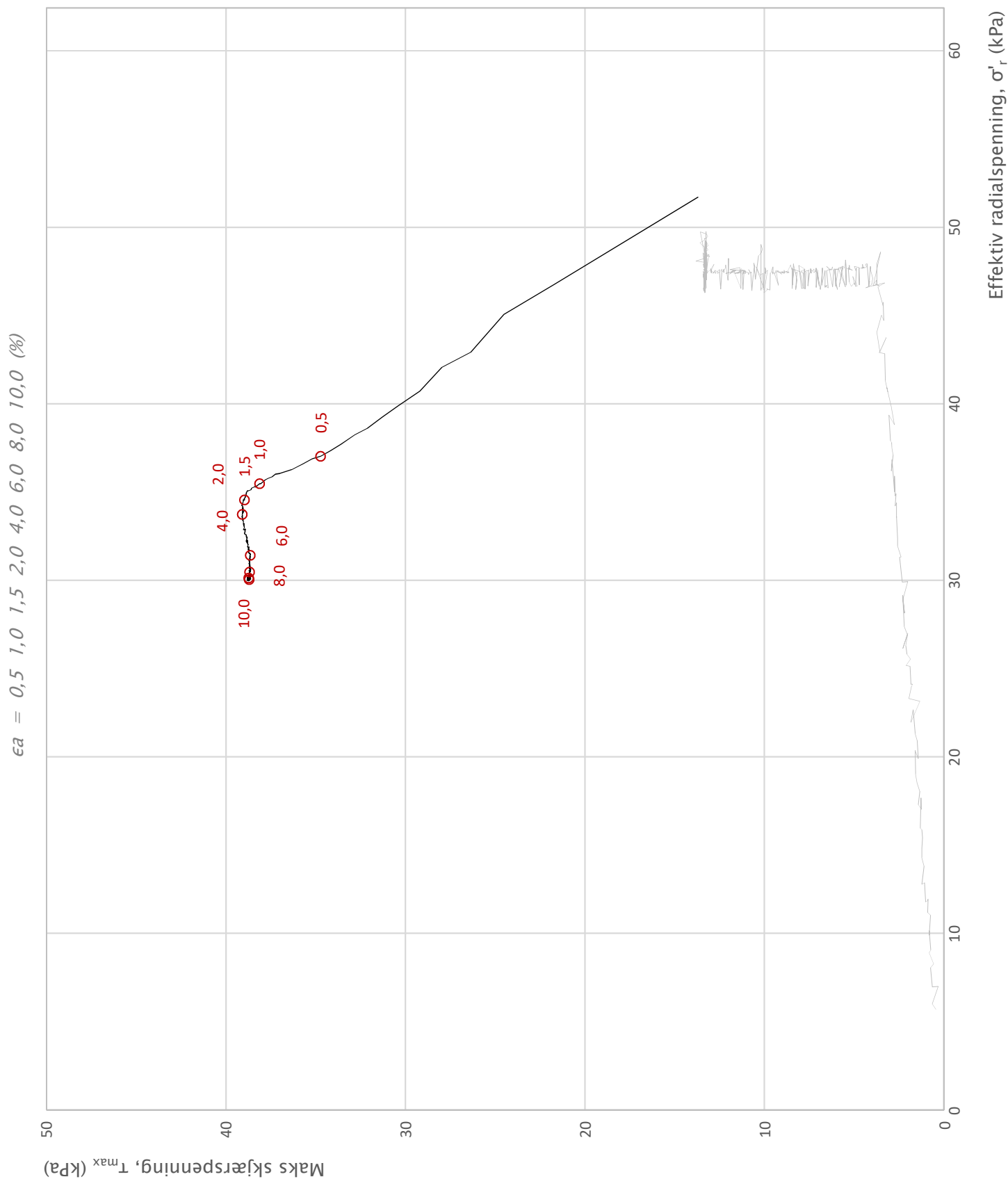
Godkjent:

JSG

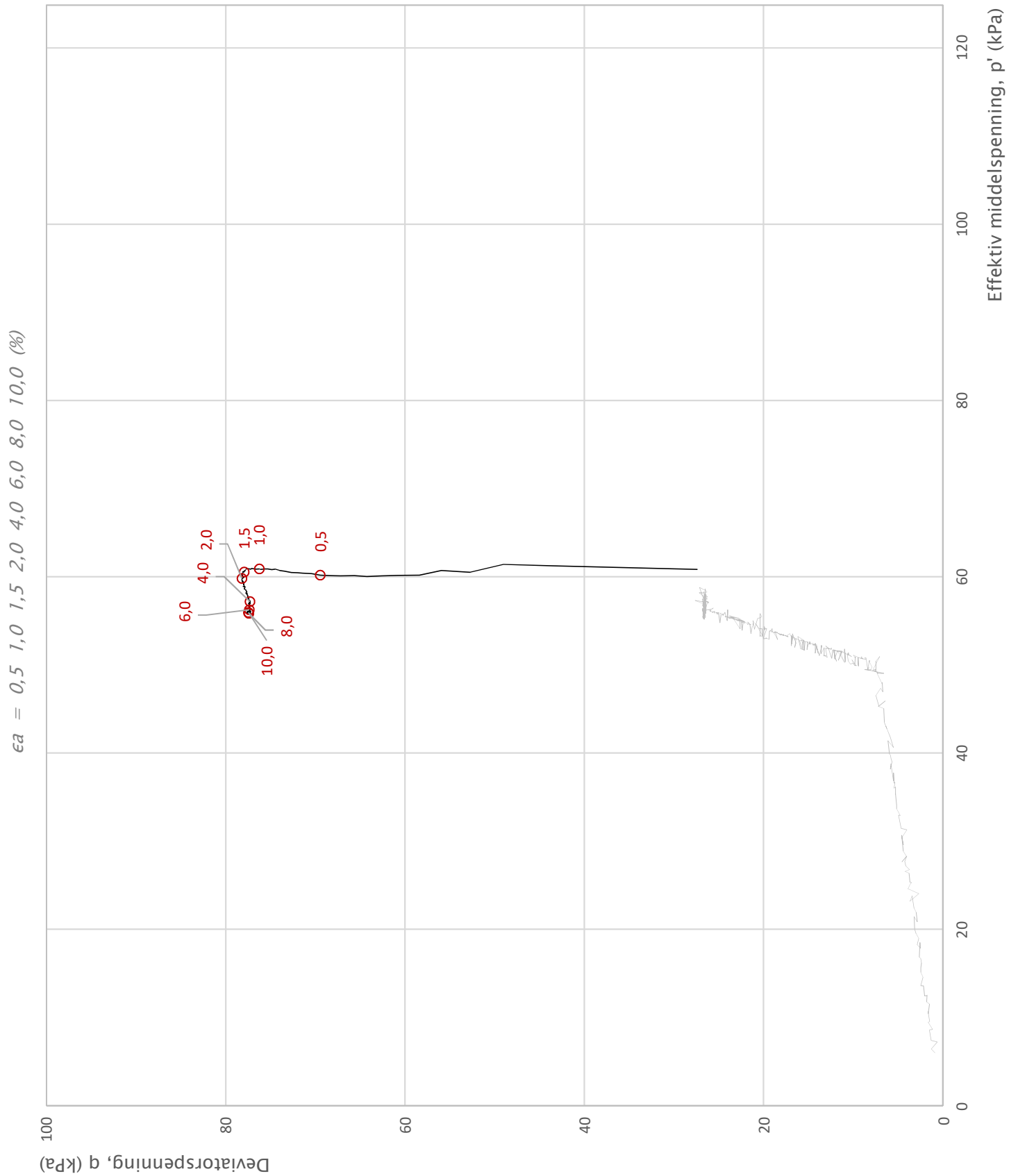
Programrevisjon:

16.07.2018

Multi
consult

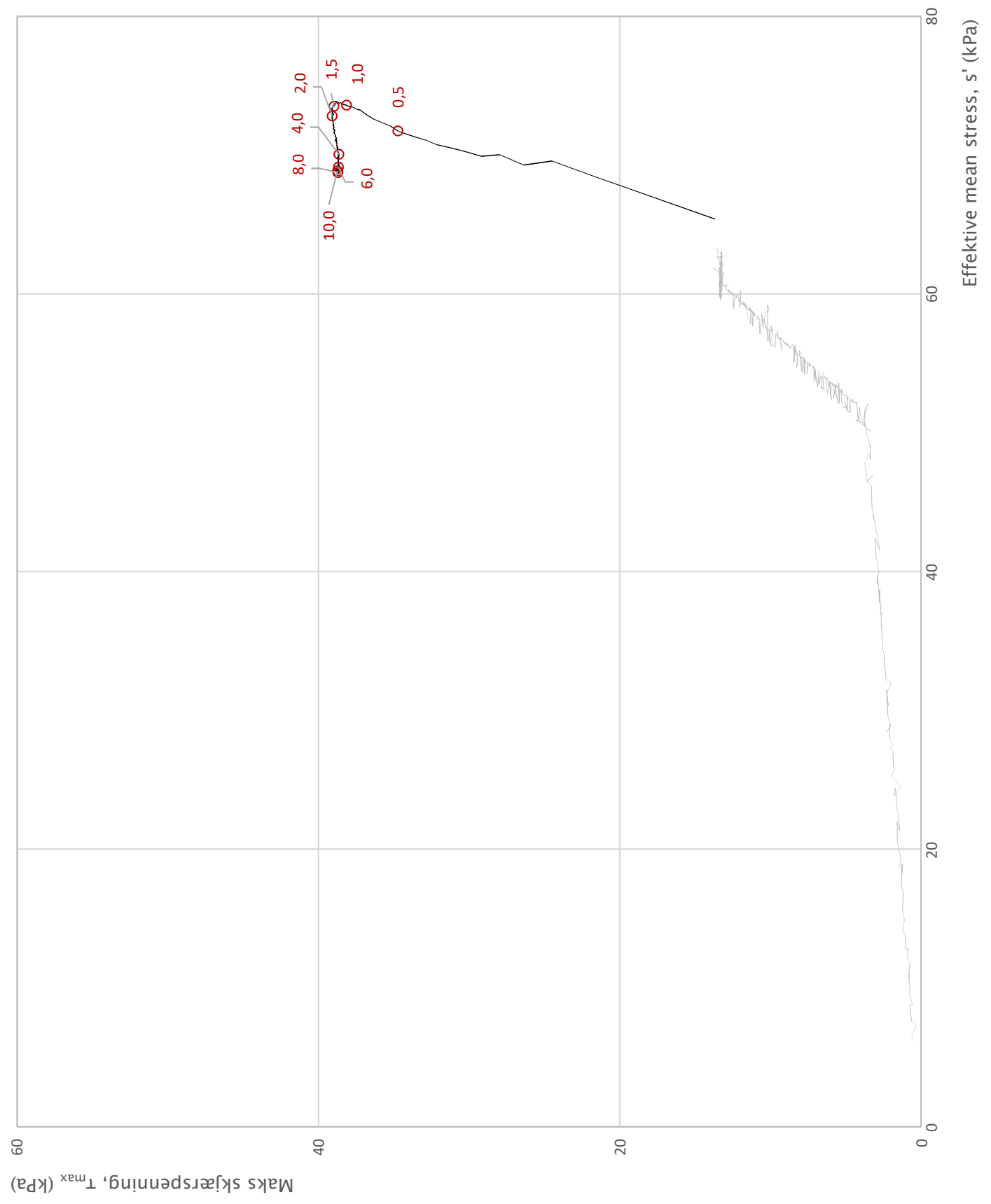


| | | | | | |
|--|-----------|---|---------------------------|-------------|-------|
| Prosjekt | | Prosjektnummer: 10213380. Rapportnummer: RIG-RAP-001_rev01 | | Borhull | 1 |
| Jarlheimsletta, geoteknisk grunnundersøkelser | | | | Dybde (m) | 5,20 |
| Innhold | | Spenningssti i skjærfase, σ'_r - τ plott (NTNU) | | | |
| Multiconsult | Utført | Kontrollert | Godkjent | Forsøkstype | |
| | mash | vt | JSG | CAUc | |
| | Kontor | Dato utført | Revisjon | RIG-TEG | 450.1 |
| | Trondheim | 11.12.2019 | 0 Rev. dato 06.01.2020 | | |

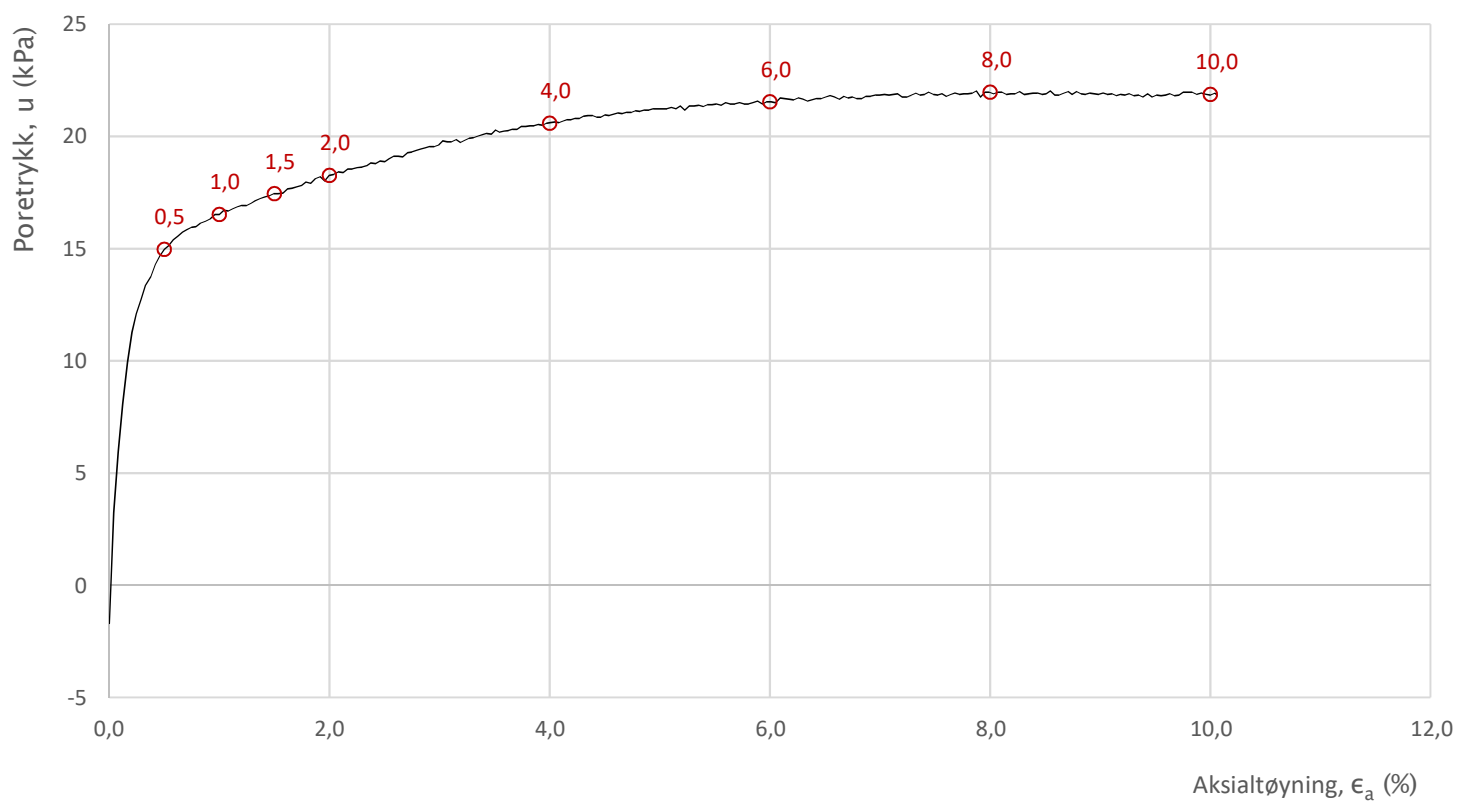
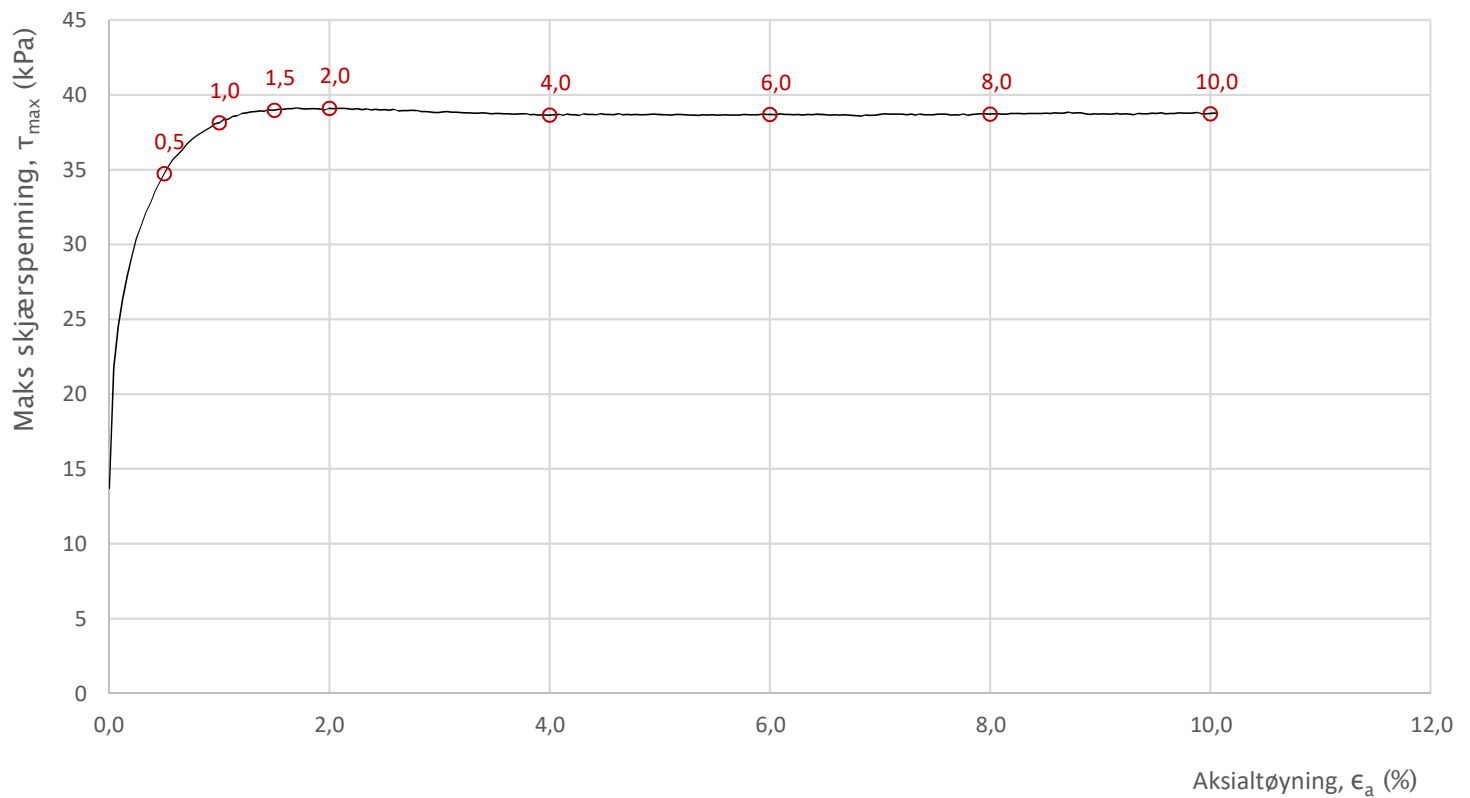


| | | | | | |
|--|-----------|-------------|--|-------------|--------------|
| Prosjekt | | | Prosjektnummer: 10213380. Rapportnummer: RIG-RAP-001_rev01 | | Borhull |
| Jarlheimsletta, geoteknisk grunnundersøkelser | | | | | 1 |
| Innhold | | | Spenningssti i skjærfase, p'-q plott | | Dybde (m) |
| | | | | | 5,20 |
| Multiconsult | Utført | Kontrollert | Godkjent | Forsøkstype | |
| | mash | vt | JSG | CAUc | |
| | Kontor | Dato utført | Revisjon | RIG-TEG | 450.2 |
| | Trondheim | 11.12.2019 | 0 Rev. dato 06.01.2020 | | |

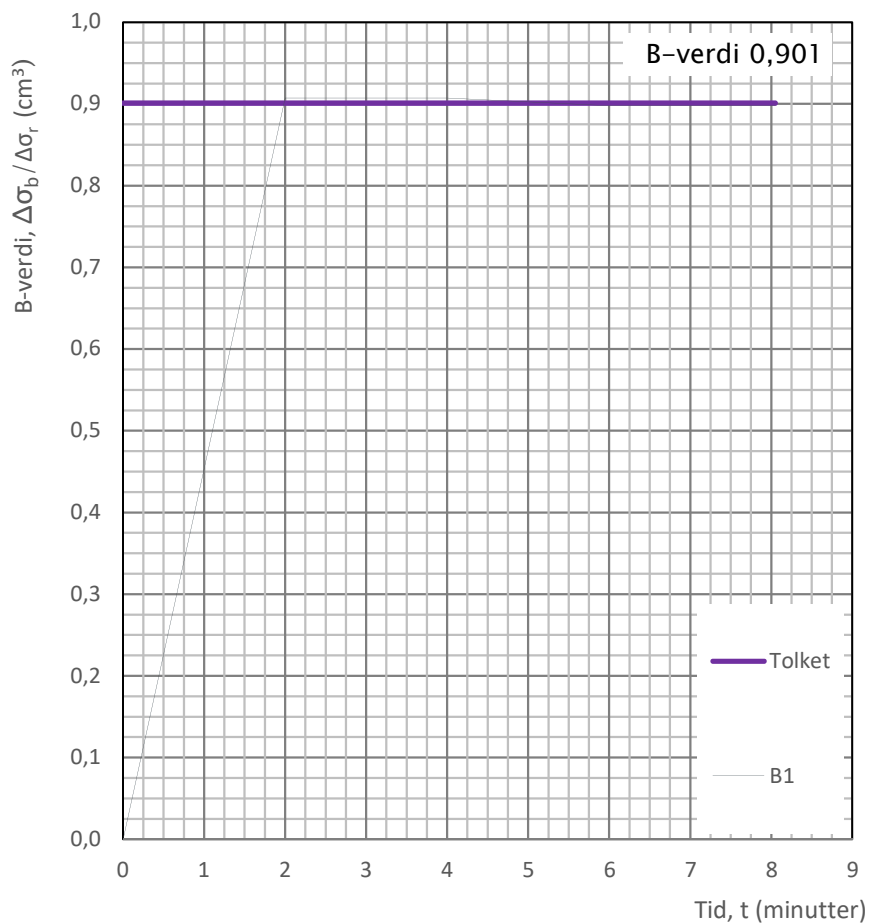
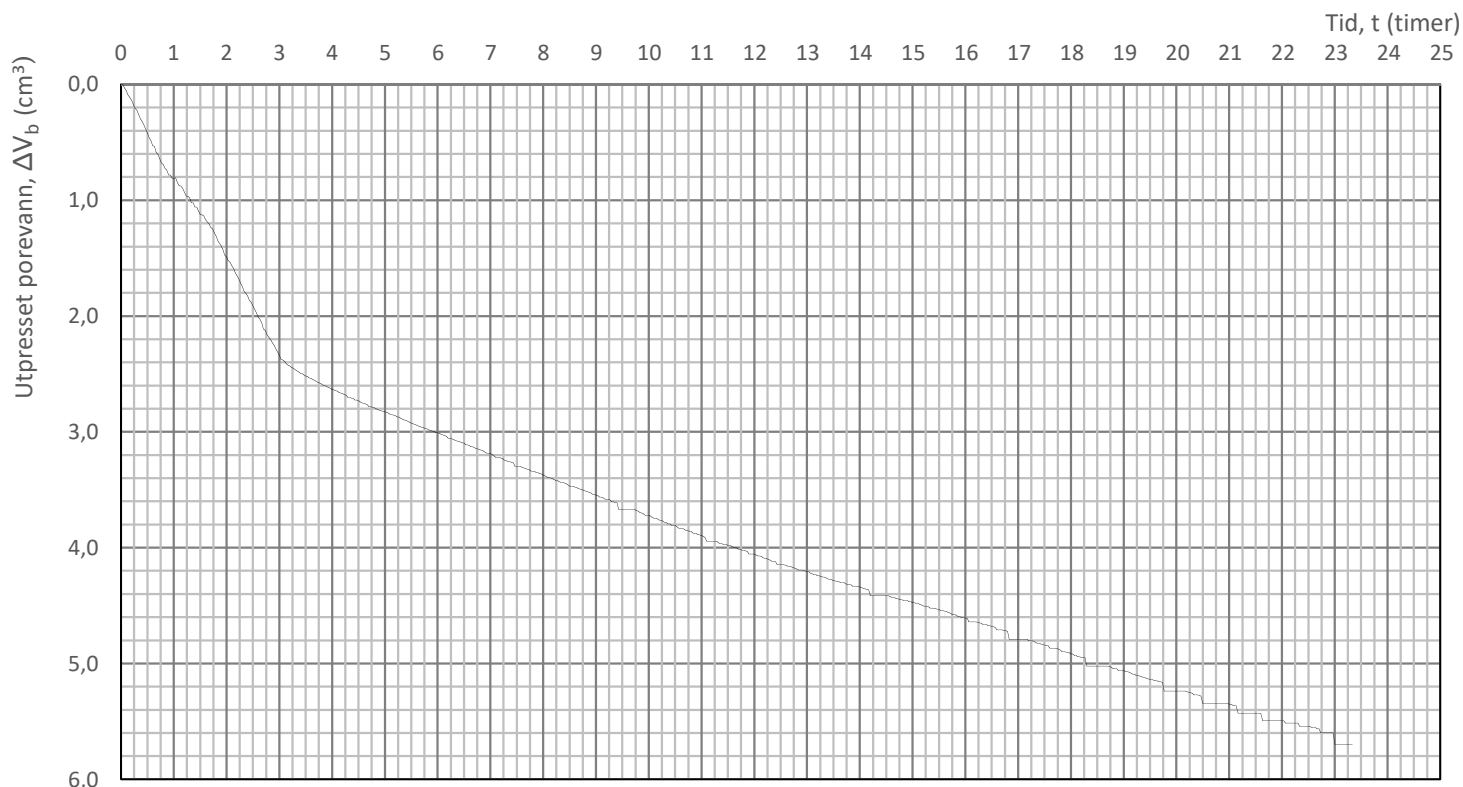
$\epsilon_a = 0,5 \ 1,0 \ 1,5 \ 2,0 \ 4,0 \ 6,0 \ 8,0 \ 10,0 \ (%)$



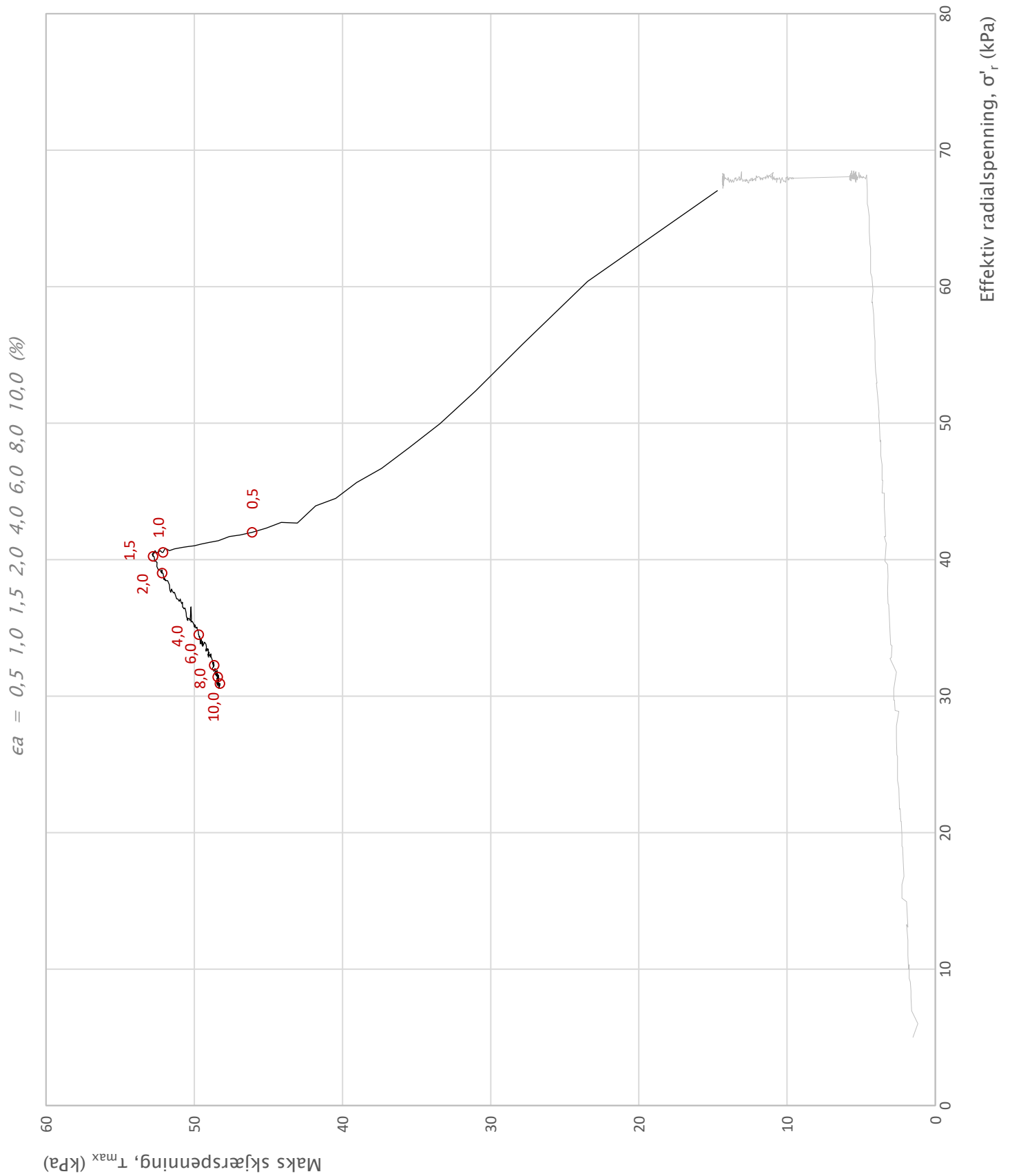
| | | | | | |
|--|------------|---------------------------|--|-------------|--------------|
| Prosjekt | | | Prosjektnummer: 10213380. Rapportnummer: RIG-RAP-001_rev01 | | Borhull |
| Jarlheimsletta, geoteknisk grunnundersøkelser | | | | | 1 |
| Innhold | | | Spenningssti i skjærfase, s'-τ plott (MIT) | | Dybde (m) |
| | | | | | 5,20 |
| Multiconsult | Utført | Kontrollert | Godkjent | Forsøkstype | |
| | mash | vt | JSG | CAUc | |
| | Kontor | Dato utført | Revisjon | RIG-TEG | 450.3 |
| Trondheim | 11.12.2019 | 0 Rev. dato 06.01.2020 | | | |



| | | | | | | |
|--|--------|-----------|--|------------|-------------|--------------|
| Prosjekt | | | Prosjektnummer: 10213380. Rapportnummer: RIG-RAP-001_rev01 | | Borhull | |
| Jarlheimsletta, geoteknisk grunnundersøkelser | | | | | 1 | |
| Innhold | | | Bruddutvikling i skjærfase, ϵ_a - τ og ϵ_a -u plott | | Dybde (m) | |
| | | | | | 5,20 | |
| Multiconsult | Utført | mash | Kontrollert | vt | Godkjent | Forsøkstype |
| | | | | | JSG | CAUc |
| | Kontor | Trondheim | Dato utført | 11.12.2019 | Revisjon | RIG-TEG |
| | | | | 0 | | 450.4 |
| | | | | Rev. dato | 06.01.2020 | |

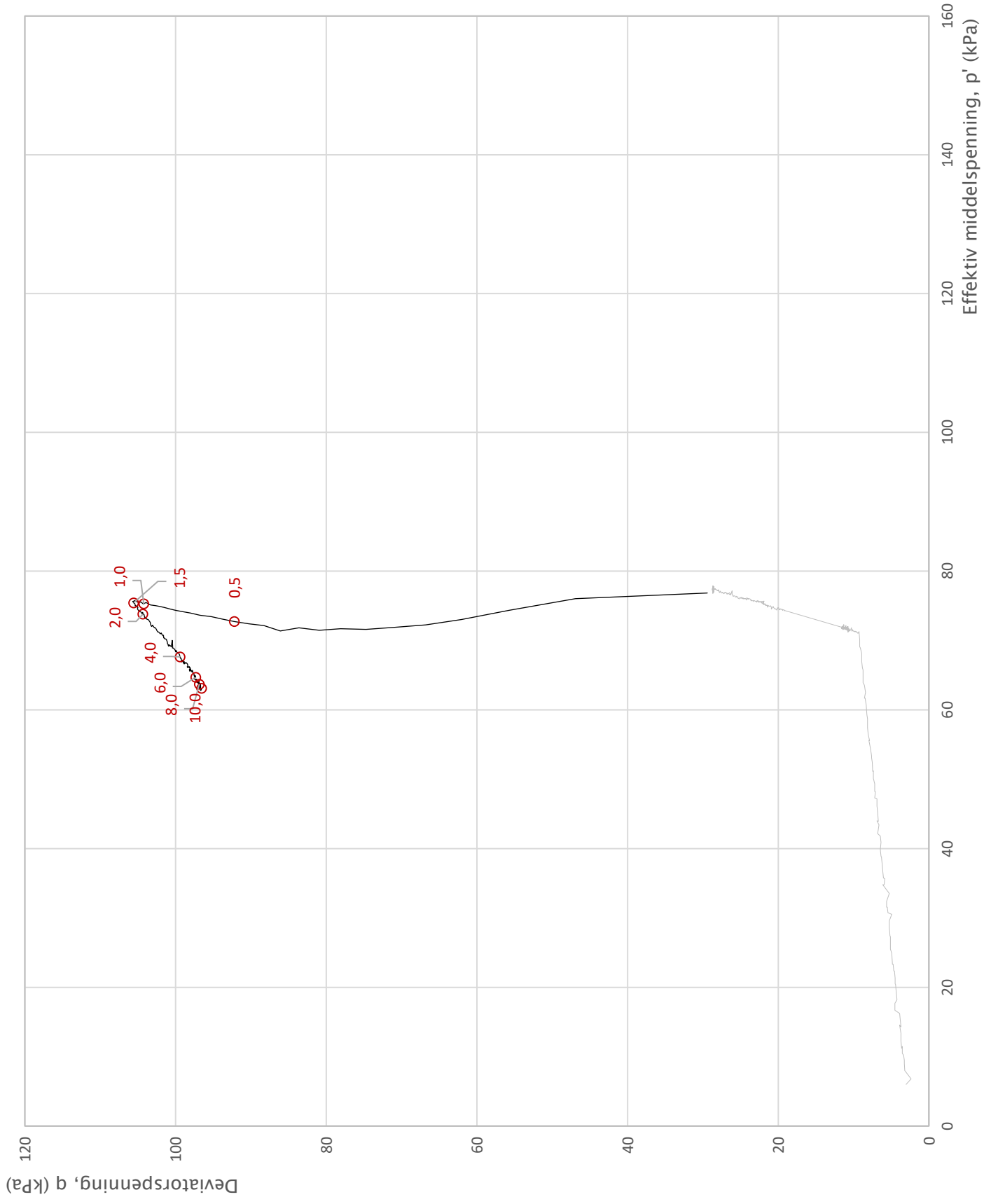


| | | | | | | |
|--|--------|------------|--|----------------------|-------------|--------------|
| Prosjekt | | | Prosjektnummer: 10213380. Rapportnummer: RIG-RAP-001_rev01 | | Borhull | |
| Jarlheimsletta, geoteknisk grunnundersøkelser | | | | | 1 | |
| Innhold | | | | | Dybde (m) | |
| Konsolidering | | | | | 5,20 | |
| Multiconsult | Utført | | Kontrollert | | Godkjent | |
| | mash | | vt | | JSG | |
| | Kontor | | Dato utført | | Revisjon | |
| Trondheim | | 11.12.2019 | | 0 | | Forsøkstype |
| | | | | Rev. dato 06.01.2020 | | CAUc |
| | | | | | | RIG-TEG |
| | | | | | | 450.5 |

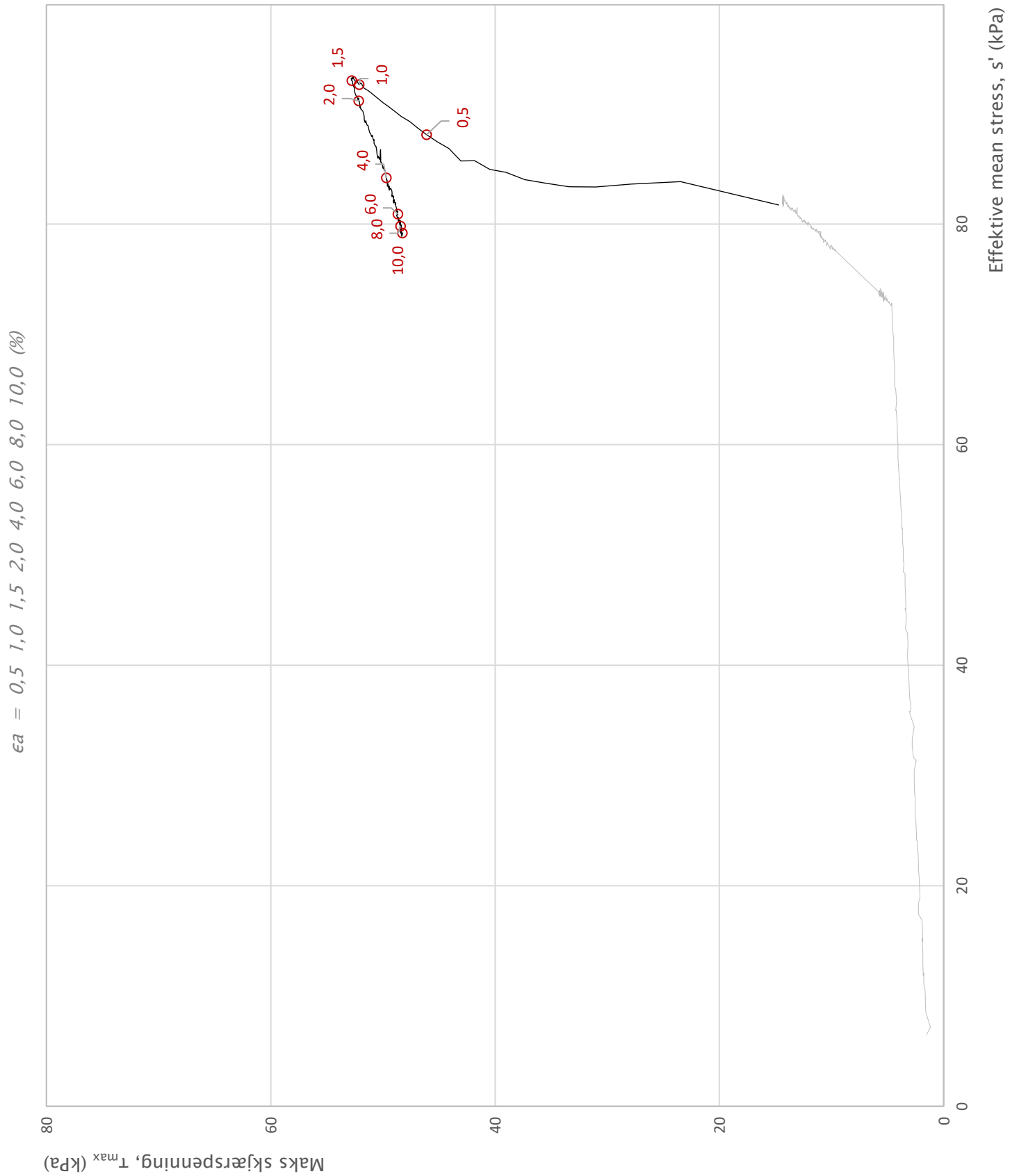


| | | | | | |
|--|---------------------|---------------------------|--|--|-------------------------|
| Prosjekt Jarlheimsletta | | | Prosjektnummer: 10213380. Rapportnummer: RIG-RAP-001_rev00 | | Borhull 1 |
| Innhold Spenningssti i skjærfase, σ'_r - τ plott (NTNU) | | | Dybde (m) 7,45 | | |
| Multiconsult | Utført mash | Kontrollert vt | Godkjent JSG | | Forsøkstype CAUc |
| | Kontor Trondheim | Dato utført 08.01.2020 | Revisjon 0 Rev. dato 10.01.2020 | | RIG-TEG 451.1 |

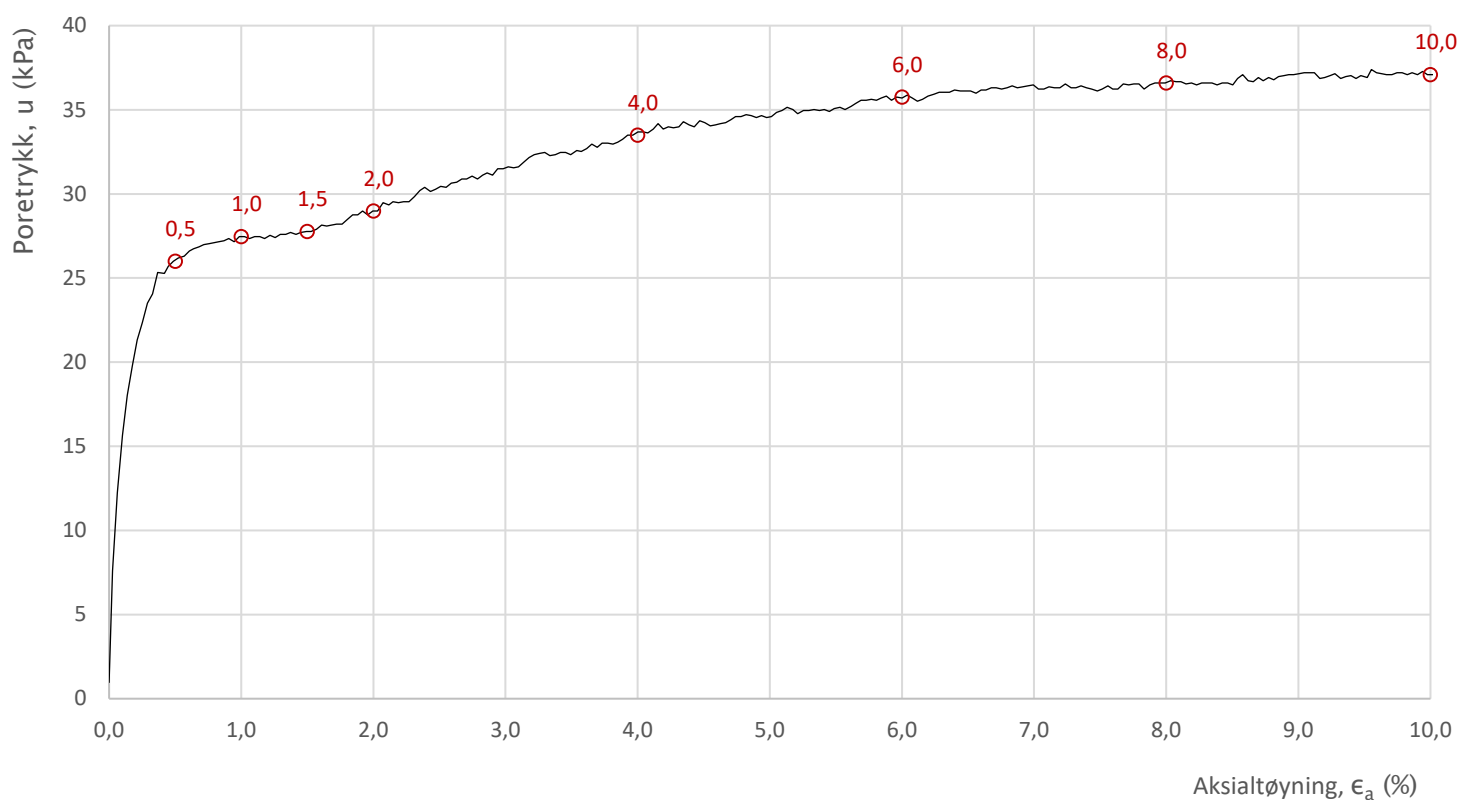
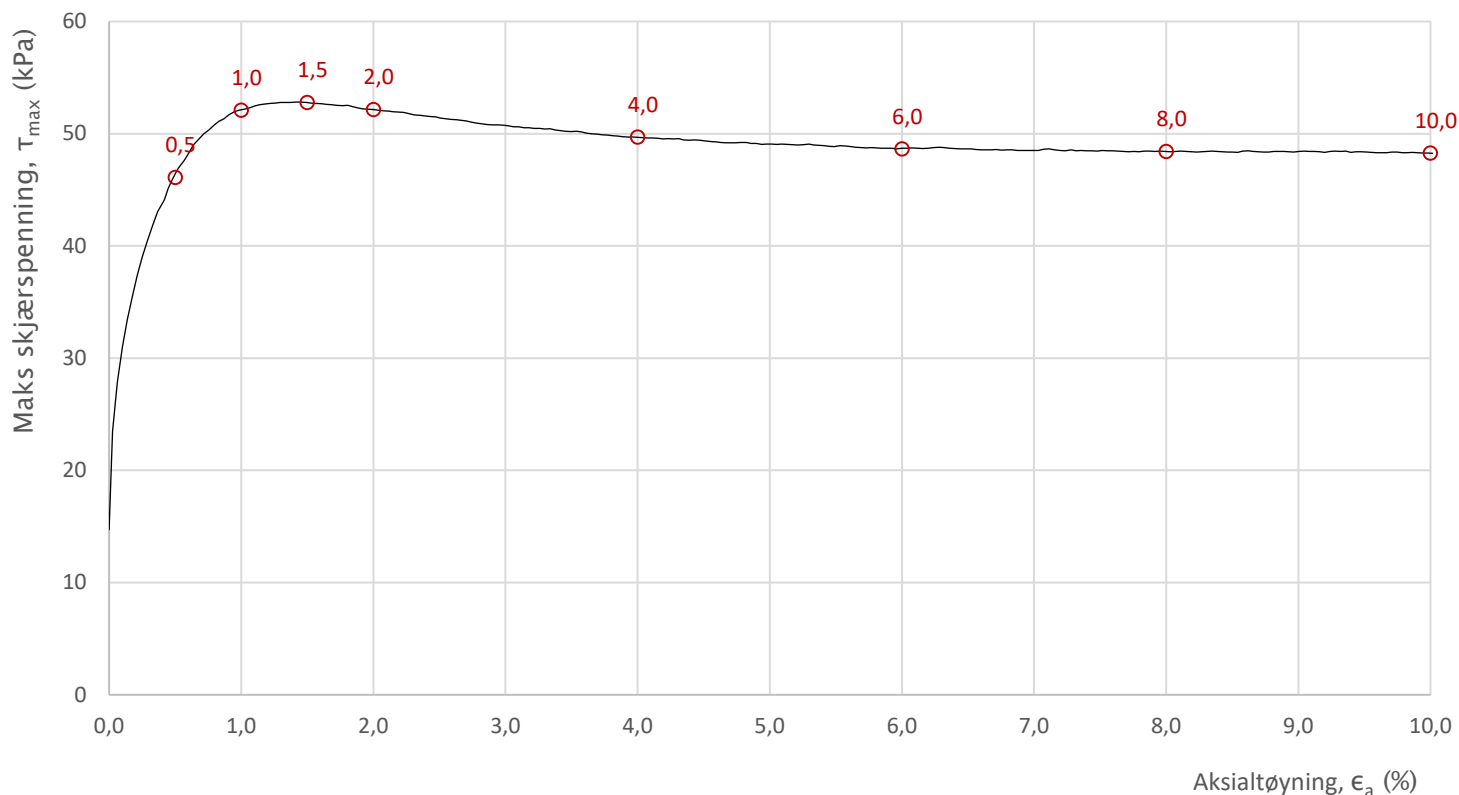
$\epsilon_a = 0,5 \ 1,0 \ 1,5 \ 2,0 \ 4,0 \ 6,0 \ 8,0 \ 10,0 \ (%)$



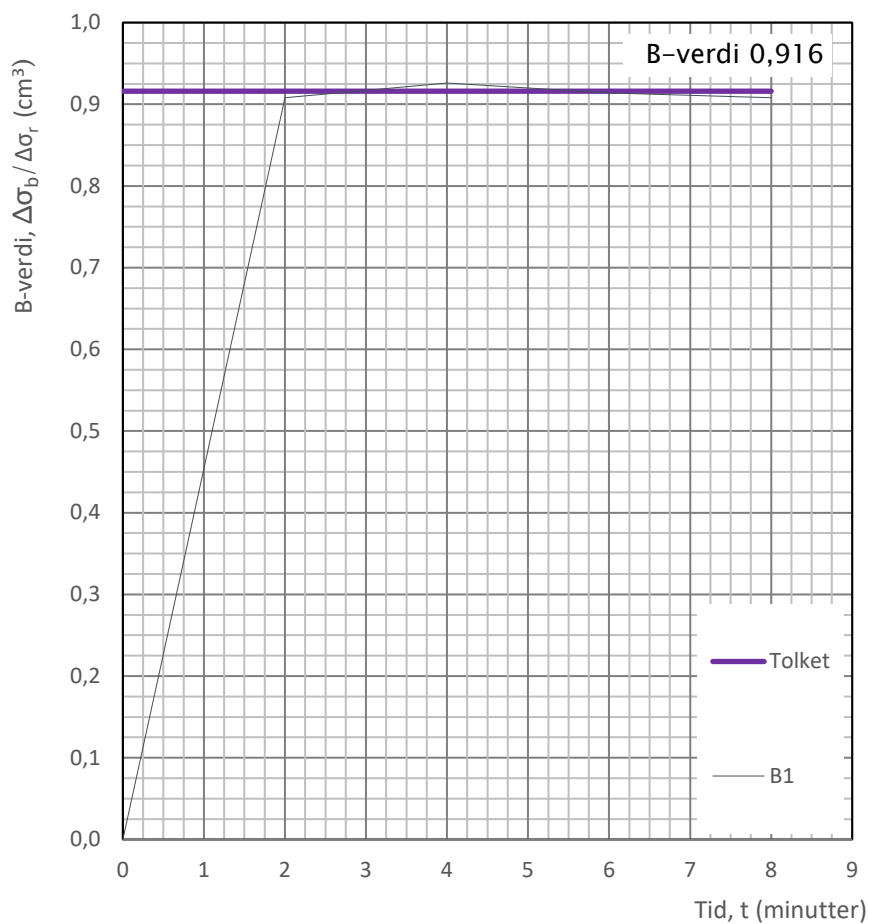
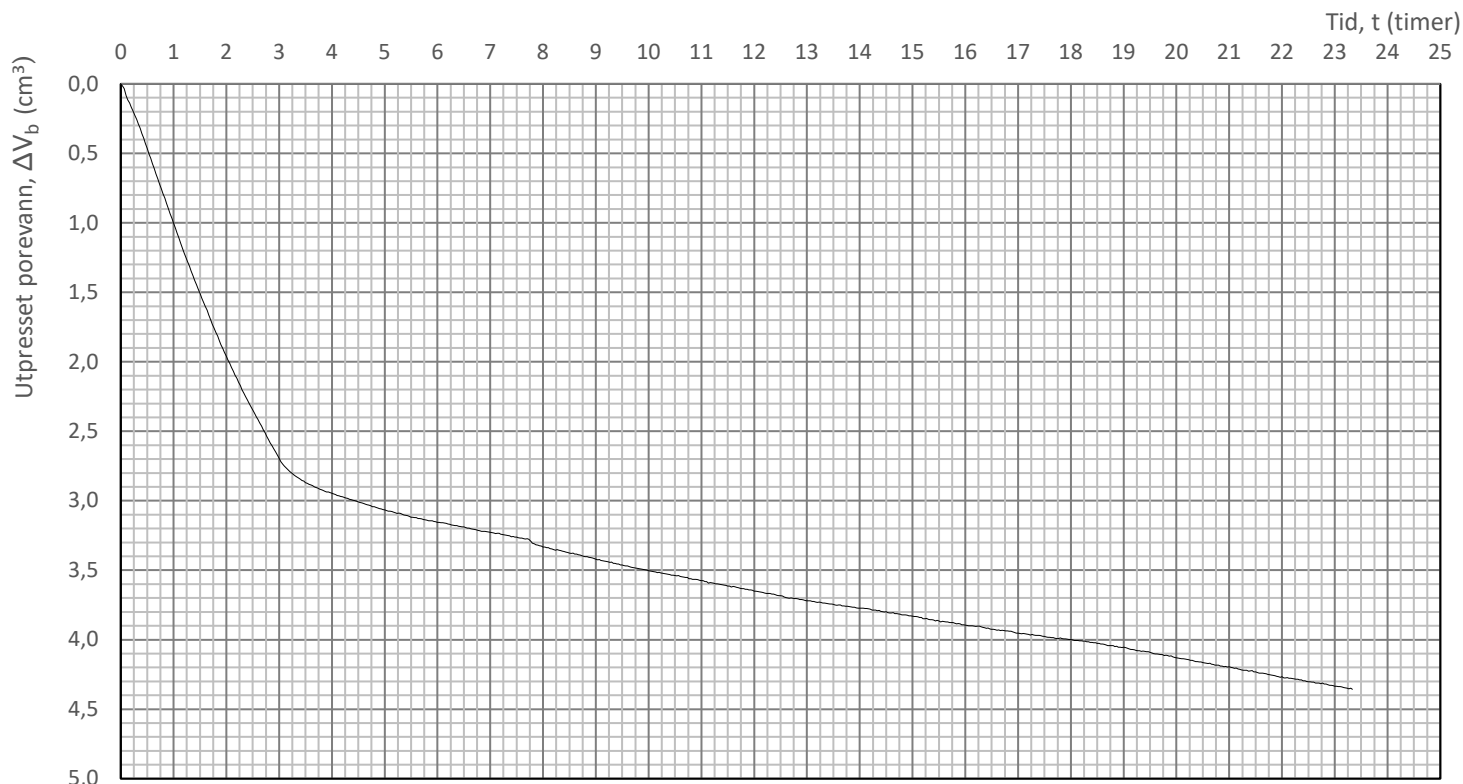
| | | | | | | |
|---|---------------------|---------------------------|--|-------------------------|-------------------------|--|
| Prosjekt Jarlheimsletta | | | Prosjektnummer: 10213380. Rapportnummer: RIG-RAP-001_rev00 | | Borhull 1 | |
| Innhold Spenningssti i skjærfase, p'-q plott | | | Dybde (m) 7,45 | | | |
| Multiconsult | Utført mash | Kontrollert vt | Godkjent JSG | | Forsøkstype CAUc | |
| | Kontor Trondheim | Dato utført 08.01.2020 | Revisjon 0 | Rev. dato 10.01.2020 | RIG-TEG 451.2 | |



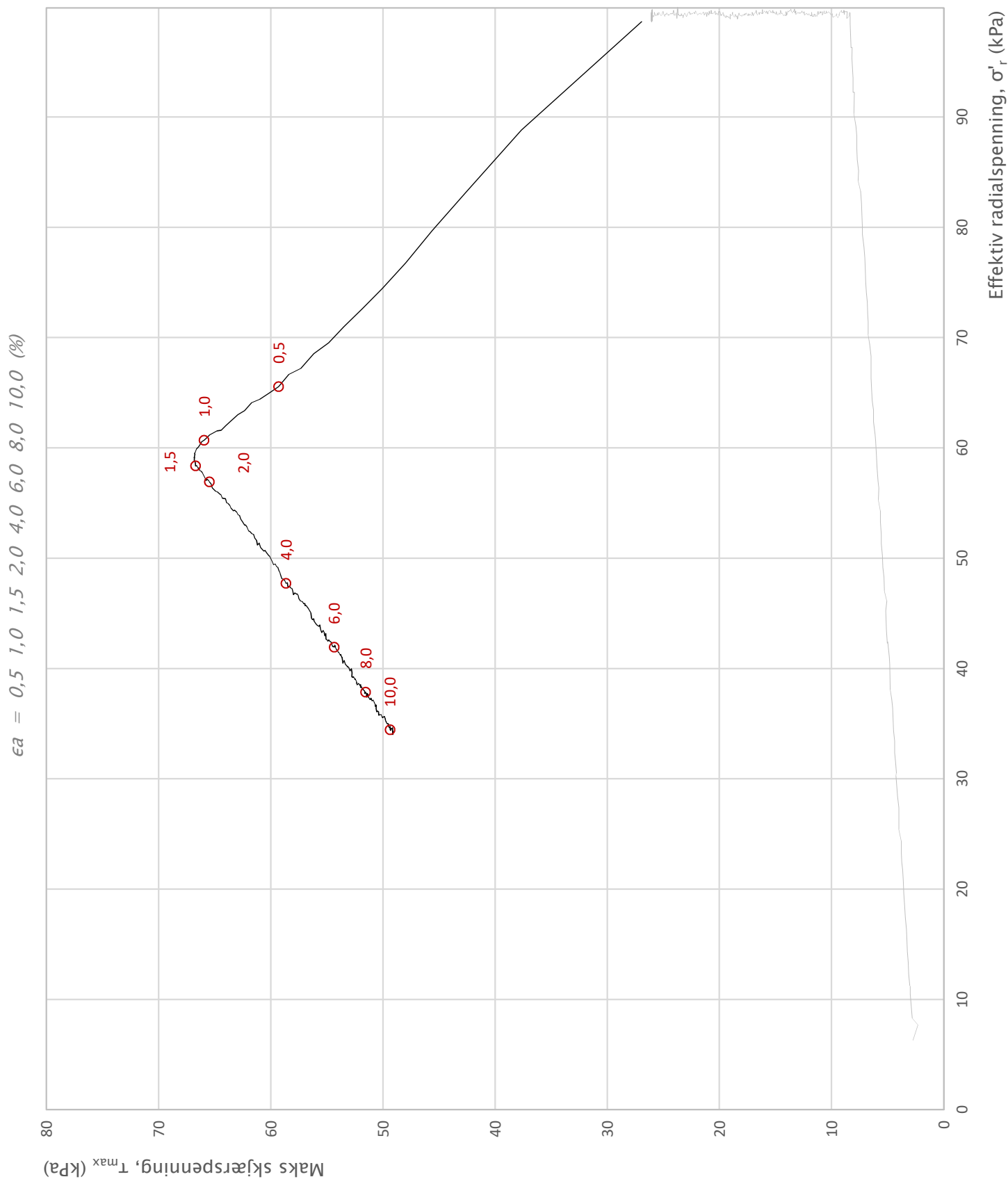
| | | | | | |
|--|---------------------|---------------------------|--|--|--------------------------|
| Prosjekt Jarlheimsletta | | | Prosjektnummer: 10213380. Rapportnummer: RIG-RAP-001_rev00 | | Borhull 1 |
| Innhold Spenningssti i skjærfase, s' - τ plott (MIT) | | | | | Dybde (m) 7,45 |
| Multiconsult | Utført mash | Kontrollert vt | Godkjent JSG | | Forsøkstype CAUc |
| | Kontor Trondheim | Dato utført 08.01.2020 | Revisjon 0 | | RIG-TEG 451.3 |
| | | | Rev. dato 10.01.2020 | | |



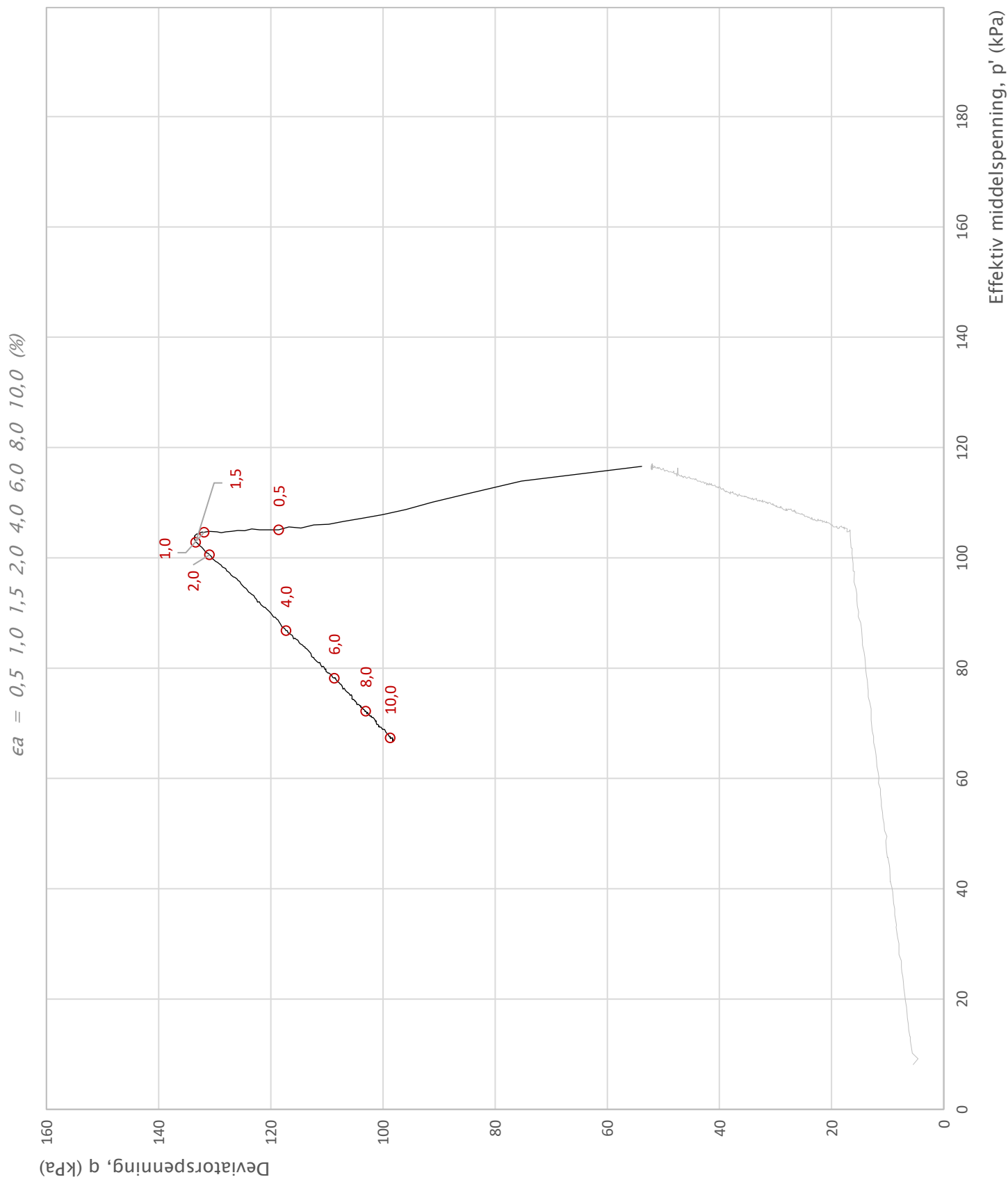
| | | | | | |
|---|---------------------|---------------------------|--|-------------------------|-------------------------|
| Prosjekt Jarlheimsletta | | | Prosjektnummer: 10213380. Rapportnummer: RIG-RAP-001_rev00 | | Borhull 1 |
| Innhold Bruddutvikling i skjærfase, ϵ_a - τ og ϵ_a -u plott | | | Dybde (m) 7,45 | | |
| Multiconsult | Utført mash | Kontrollert vt | Godkjent JSG | | Forsøkstype CAUc |
| | Kontor Trondheim | Dato utført 08.01.2020 | Revisjon 0 | Rev. dato 10.01.2020 | RIG-TEG 451.4 |



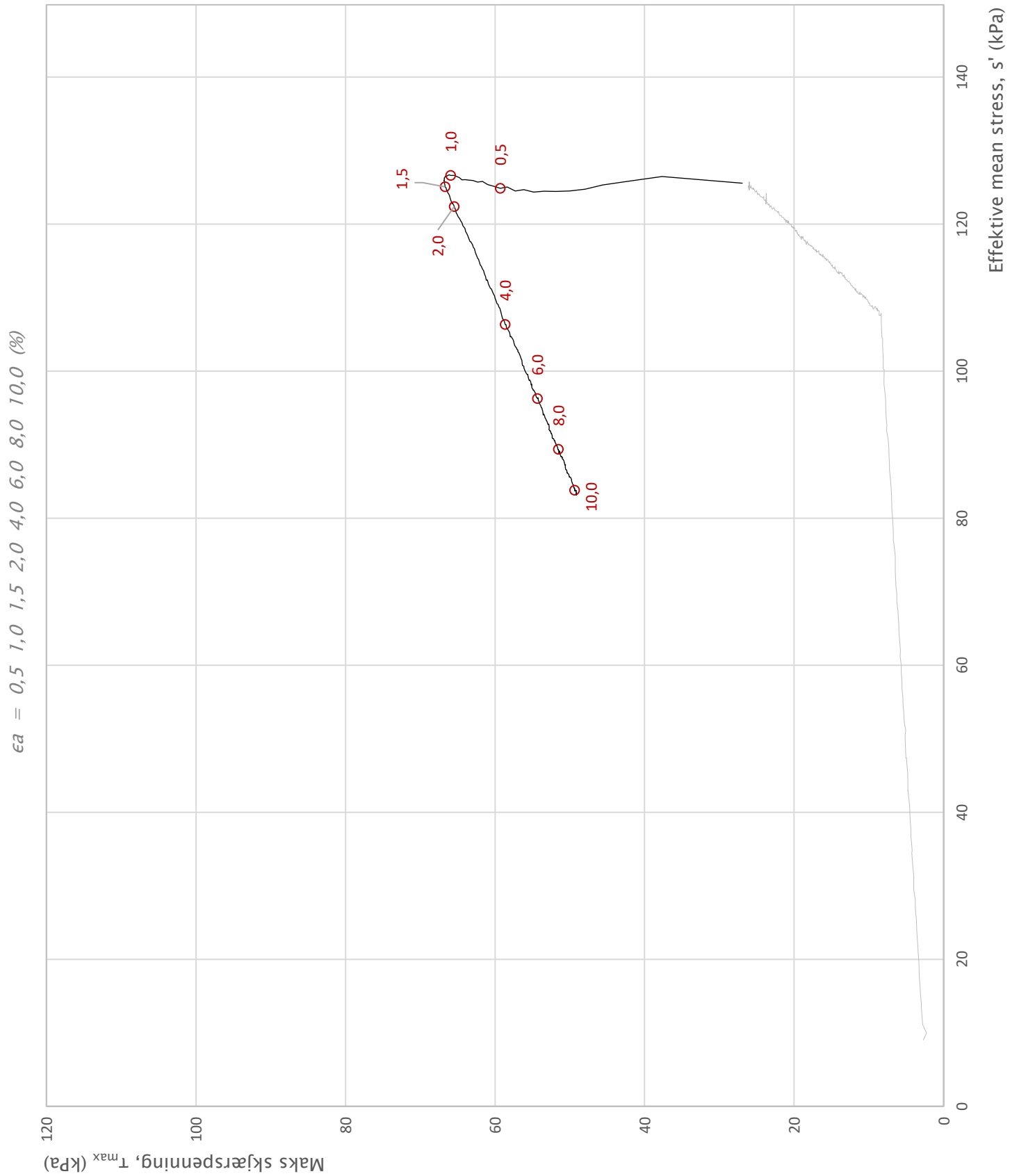
| | | | | | |
|-----------------------|--|-------------|------------|-------------|-------|
| Prosjekt | Prosjektnummer: 10213380. Rapportnummer: RIG-RAP-001_rev00 | | | Borhull | 1 |
| Jarlheimsletta | | | | | |
| Innhold | | | | Dybde (m) | 7,45 |
| Konsolidering | | | | | |
| Multiconsult | Utført | Kontrollert | Godkjent | Forsøkstype | |
| | mash | vt | JSG | CAUc | |
| | Kontor | Dato utført | Revisjon | RIG-TEG | 451.5 |
| Trondheim | 08.01.2020 | 0 | Rev. dato | | |
| | | | 10.01.2020 | | |



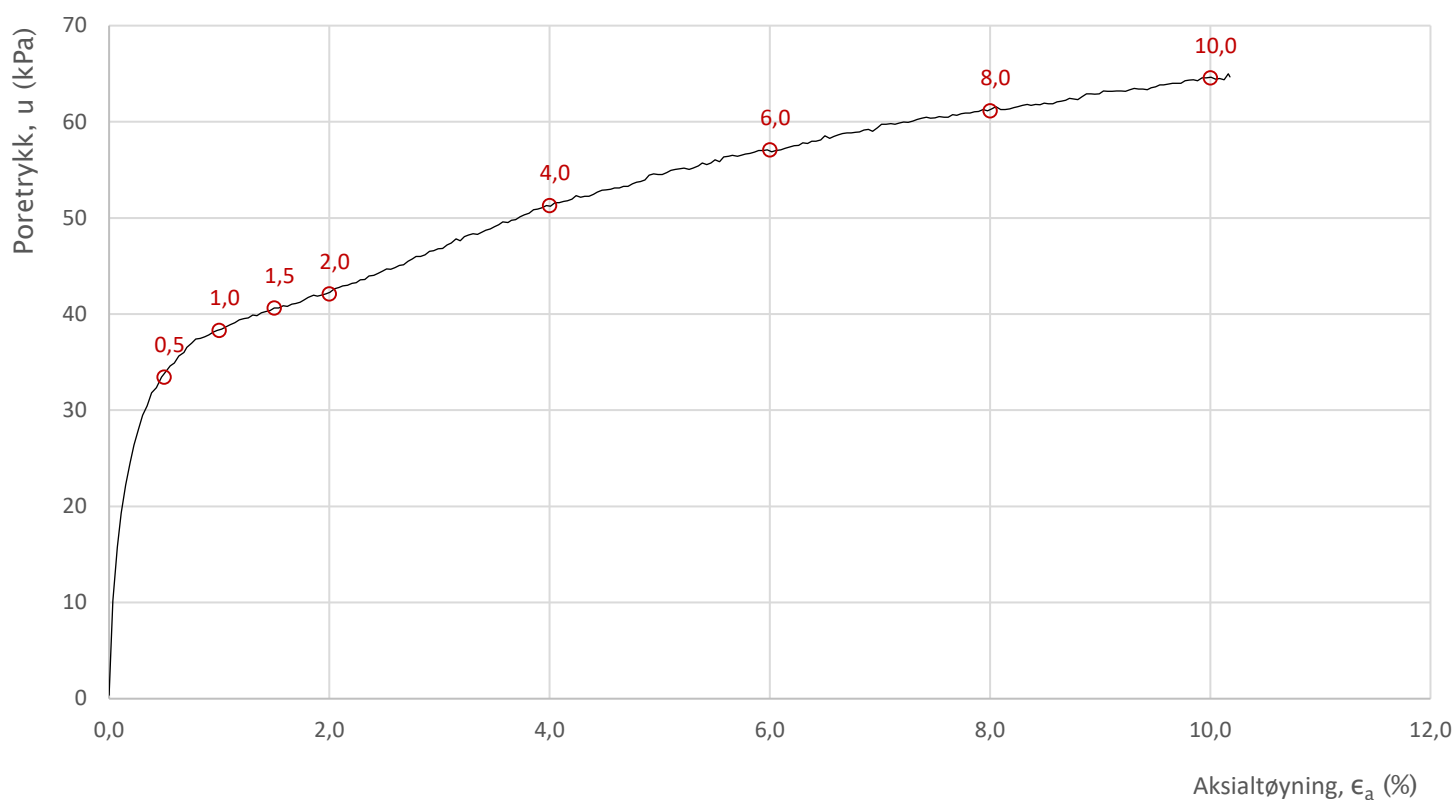
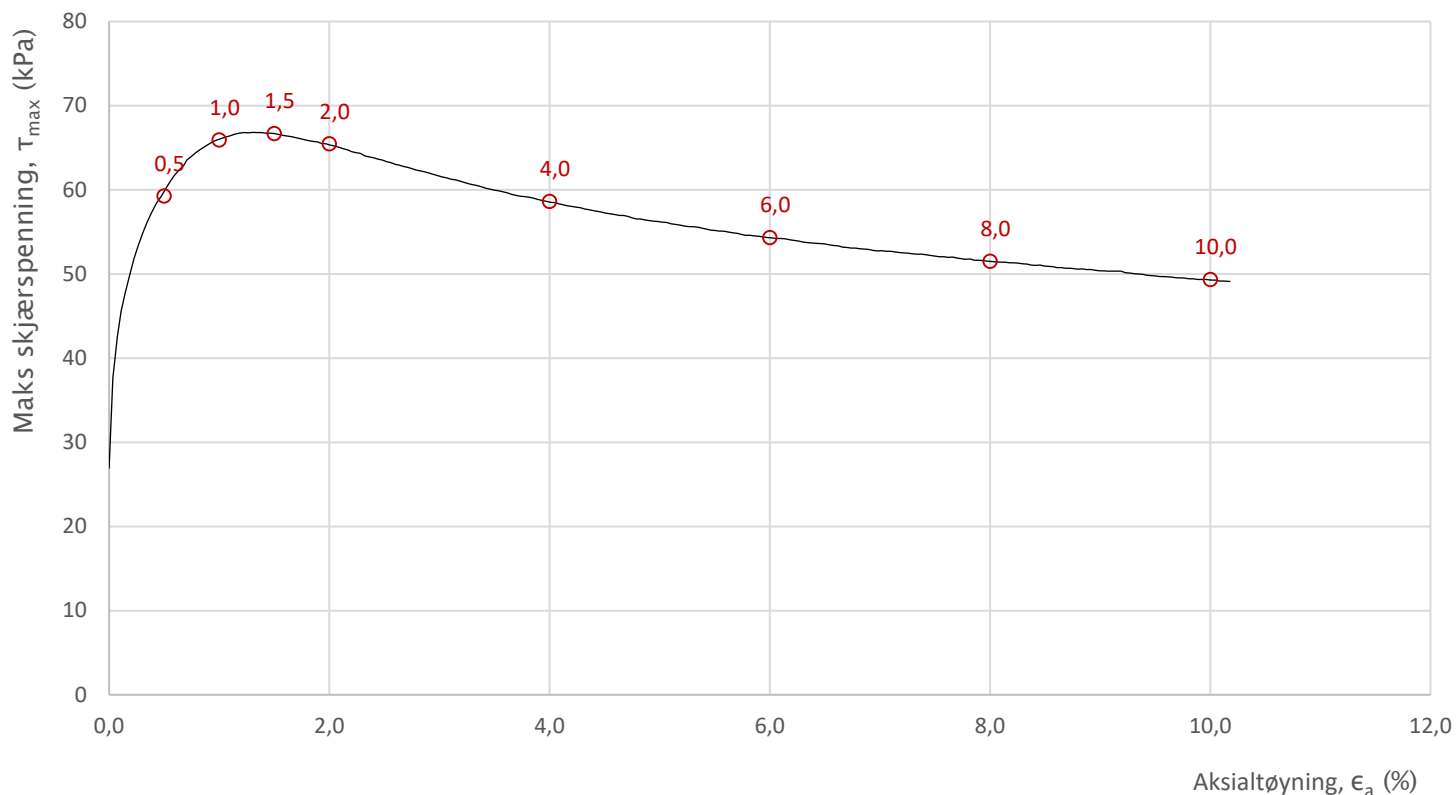
| | | | | | |
|--|--------|-------------|---|------------|--------------|
| Prosjekt | | | Prosjektnummer: 10213380. Rapportnummer: RIG-RAP-001_rev01 | | Borhull |
| Jarlheimsletta, geoteknisk grunnundersøkelser | | | | | 1 |
| Innhold | | | Spenningssti i skjærfase, σ'_r - τ plott (NTNU) | | Dybde (m) |
| | | | | | 13,50 |
| Multiconsult | Utført | Kontrollert | Godkjent | | Forsøkstype |
| | mash | vt | JSG | | CAUc |
| | Kontor | Dato utført | Revisjon | 0 | RIG-TEG |
| Trondheim | | 11.12.2019 | Rev. dato | 06.01.2020 | 452.1 |



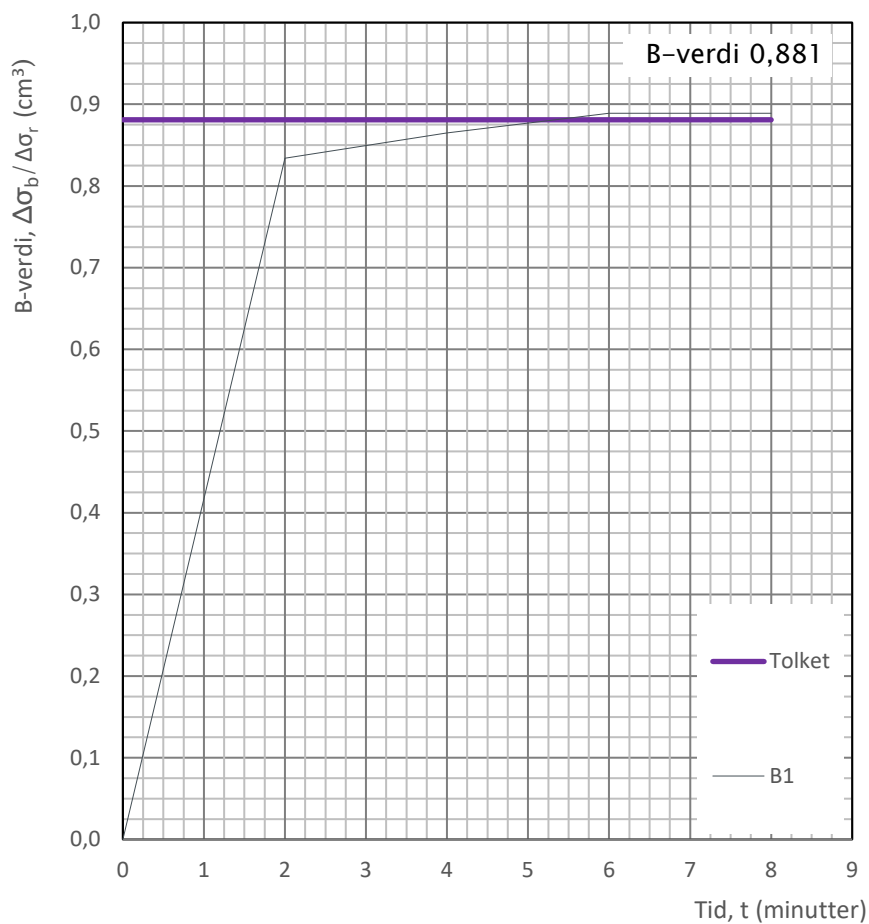
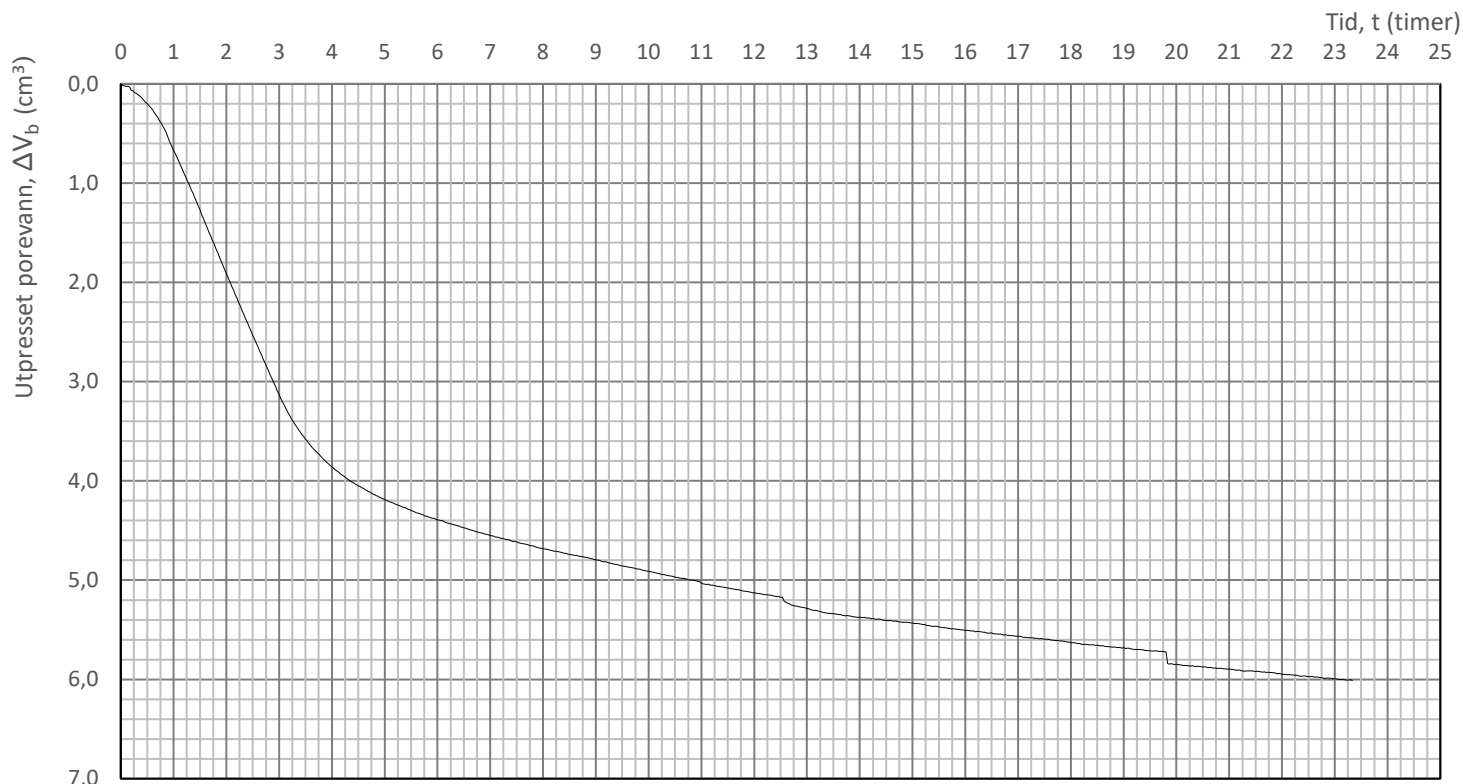
| | | | | | |
|--|-----------|-------------|--|--------------|--------------|
| Prosjekt | | | Prosjektnummer: 10213380. Rapportnummer: RIG-RAP-001_rev01 | | Borhull |
| Jarlheimsletta, geoteknisk grunnundersøkelser | | | | | 1 |
| Innhold | | | Spenningssti i skjærfase, p'-q plott | | Dybde (m) |
| | | | | | 13,50 |
| Multiconsult | Utført | Kontrollert | Godkjent | Forsøkstype | |
| | mash | vt | JSG | CAUc | |
| | Kontor | Dato utført | Revisjon | RIG-TEG | |
| | Trondheim | 11.12.2019 | 0 Rev. dato 06.01.2020 | 452.2 | |



| | | | | | |
|--|------------|---------------------------|--|-------------|--------------|
| Prosjekt | | | Prosjektnummer: 10213380. Rapportnummer: RIG-RAP-001_rev01 | | Borhull |
| Jarlheimsletta, geoteknisk grunnundersøkelser | | | | | 1 |
| Innhold | | | Spenningssti i skjærfase, s' - τ plott (MIT) | | Dybde (m) |
| | | | | | 13,50 |
| Multiconsult | Utført | Kontrollert | Godkjent | Forsøkstype | |
| | mash | vt | JSG | CAUc | |
| | Kontor | Dato utført | Revisjon | RIG-TEG | 452.3 |
| Trondheim | 11.12.2019 | 0 Rev. dato 06.01.2020 | | | |

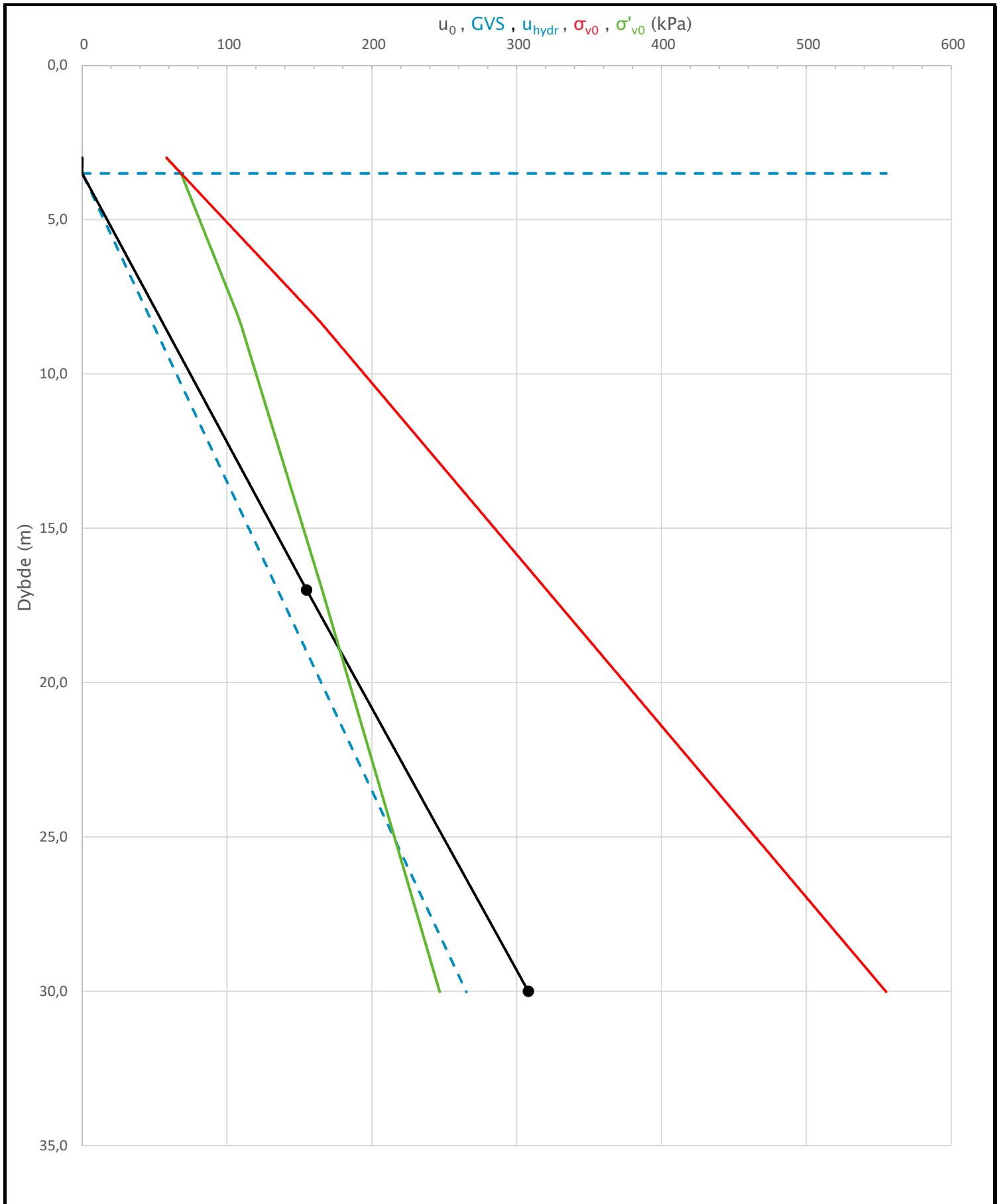


| | | | | | |
|--|------------|-------------|---|--------------|--------------|
| Prosjekt | | | Prosjektnummer: 10213380. Rapportnummer: RIG-RAP-001_rev01 | | Borhull |
| Jarlheimsletta, geoteknisk grunnundersøkelser | | | | | 1 |
| Innhold | | | Bruddutvikling i skjærfase, ϵ_a - τ og ϵ_a - u plott | | Dybde (m) |
| | | | | | 13,50 |
| Multiconsult | Utført | Kontrollert | Godkjent | | Forsøkstype |
| | mash | vt | JSG | | CAUc |
| | Kontor | Dato utført | Revisjon | 0 | RIG-TEG |
| Trondheim | 11.12.2019 | Rev. dato | 06.01.2020 | 452.4 | |

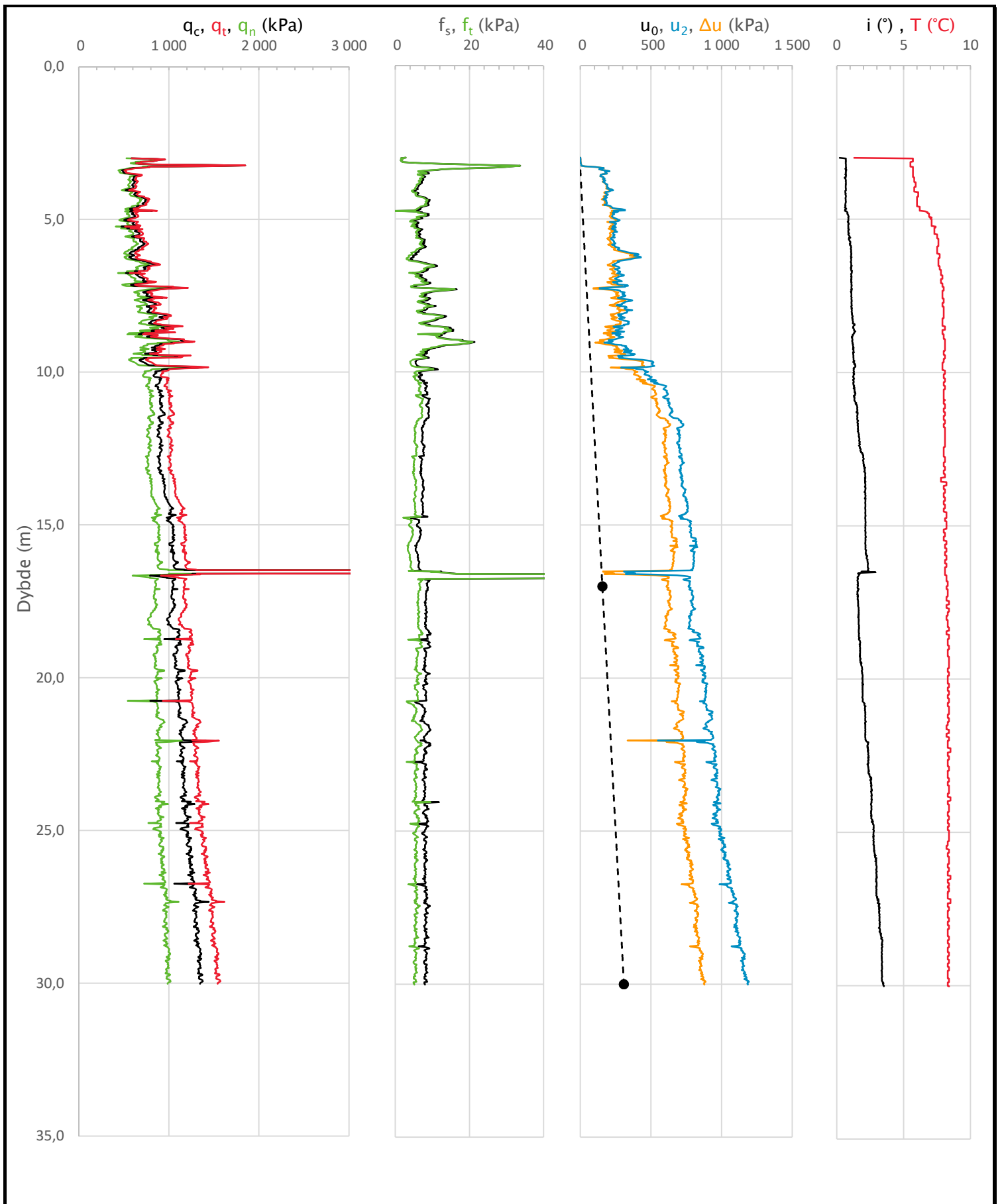


| | | | | | |
|--|-----------|-------------|--|------------|--------------|
| Prosjekt | | | Prosjektnummer: 10213380. Rapportnummer: RIG-RAP-001_rev01 | | Borhull |
| Jarlheimsletta, geoteknisk grunnundersøkelser | | | | | 1 |
| Innhold | | | | | Dybde (m) |
| Konsolidering | | | | | 13,50 |
| Multiconsult | Utført | Kontrollert | Godkjent | | Forsøkstype |
| | mash | vt | JSG | | CAUc |
| | Kontor | Dato utført | Revisjon | 0 | RIG-TEG |
| | Trondheim | 11.12.2019 | Rev. dato | 06.01.2020 | 452.5 |

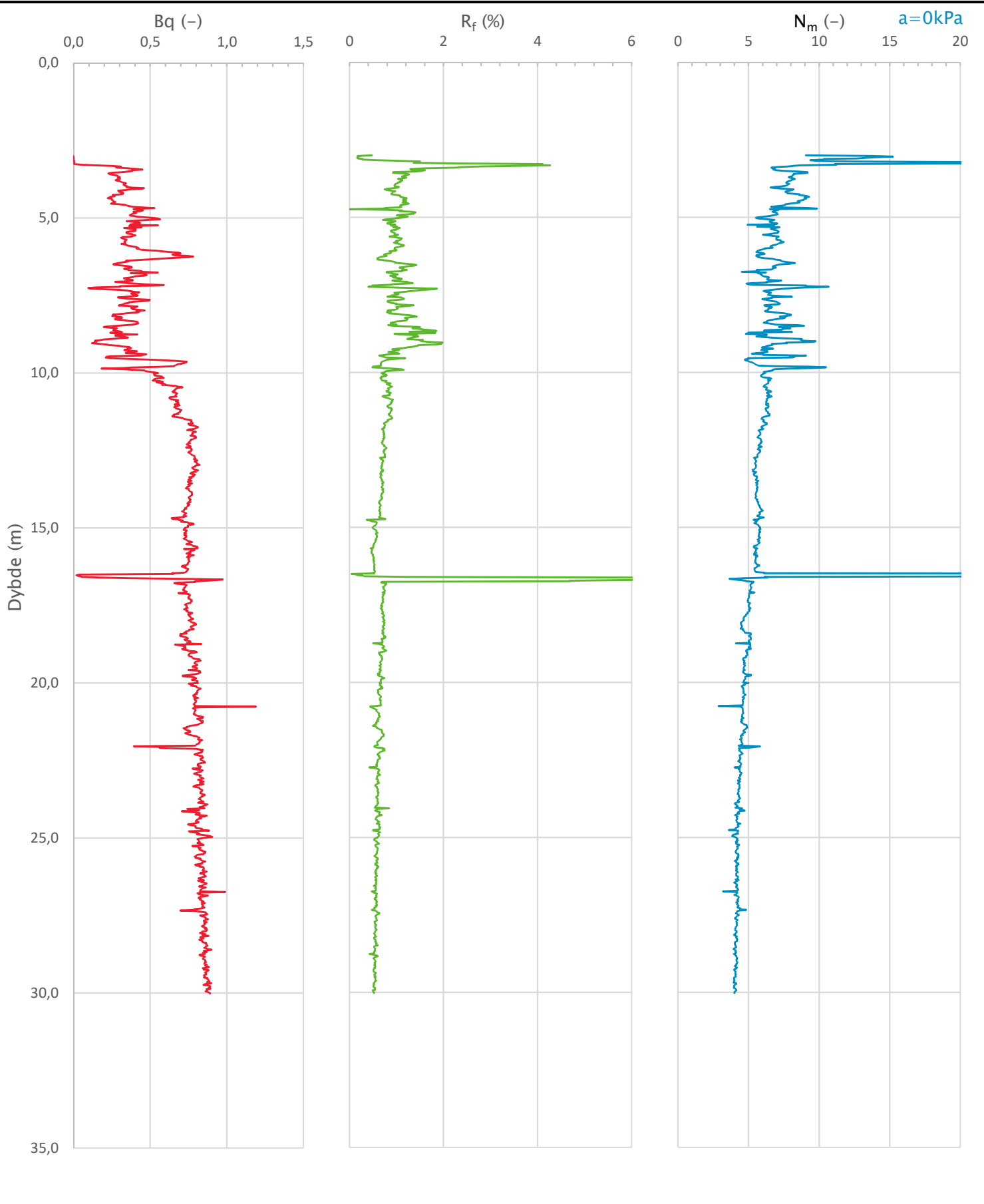
| Sonde og utførelse | | | | | | |
|---|---------------|---|---------------------------|------------|---------------|--------------|
| Sondennummer | 5288 | | Boreleder | Aslak | | |
| Type sonde | Nova | | Temperaturendring (°C) | 7,2 | | |
| Kalibreringsdato | 18.02.2019 | | Maks helning (°) | 3,5 | | |
| Dato sondering | 14.11.2019 | | Maks avstand målinger (m) | 0,02 | | |
| Filtertype | | | | | | |
| Kalibreringsdata | | | | | | |
| | Spissmotstand | | Sidefriksjon | | Poretrykk | |
| Maksimal last (MPa) | 50 | | 0,5 | | 2 | |
| Måleområde (MPa) | 50 | | 0,5 | | 2 | |
| Skaleringsfaktor | 1193 | | 3871 | | 3976 | |
| Oppløsning 2 ¹² bit (kPa) | - | | - | | - | |
| Oppløsning 2 ¹⁸ bit (kPa) | - | | 0,0099 | | 0,0192 | |
| Arealforhold | 0,8360 | | 0,0000 | | | |
| Maks ubelastet temp. effekt (kPa) | 6,391 | | 0,403 | | 2,991 | |
| Temperaturområde (°C) | 40 | | | | | |
| Nullpunktskontroll | | | | | | |
| | NA | | NB | | NC | |
| Registrert før sondering (kPa) | 8098,6 | | 121,3 | | 231,3 | |
| Registrert etter sondering (kPa) | 14,1 | | -1,3 | | -2,2 | |
| Avvik under sondering (kPa) | 14,1 | | 1,3 | | 2,2 | |
| Maksimal temperatureffekt (kPa) | 1,2 | | 0,1 | | 0,5 | |
| Maksverdi under sondering (kPa) | 11362,1 | | 87,9 | | 1194,3 | |
| Vurdering av anvendelsesklasse ihht. ISO 22476-1:2012 | | | | | | |
| | Spissmotstand | | Sidefriksjon | | Poretrykk | |
| | (kPa) | (%) | (kPa) | (%) | (kPa) | (%) |
| Samlet nøyaktighet (kPa) | 15,3 | 0,1 | 1,4 | 1,6 | 2,8 | 0,2 |
| Tillatt nøyaktighet klasse 1 | 35 | 5 | 5 | 10 | 10 | 2 |
| Tillatt nøyaktighet klasse 2 | 100 | 5 | 15 | 15 | 25 | 3 |
| Tillatt nøyaktighet klasse 3 | 200 | 5 | 25 | 15 | 50 | 5 |
| Tillatt nøyaktighet klasse 4 | 500 | 5 | 50 | 20 | | |
| Anvendelsesklasse | 1 | 1 | 1 | 1 | 1 | 1 |
| Anvendelsesklasse måleintervall | 1 | | | | | |
| Anvendelsesklasse | 1 | | | | | |
| Måleverdier under kapasitet/krav | | | | | | |
| Spissmotstand | Sidefriksjon | Poretrykk | Helning | Temperatur | | |
| OK | OK | OK | OK | OK | | |
| Kommentarer: | | | | | | |
| Prosjekt | | Prosjektnummer: 10213380 Rapportnummer: RIG-RAP-001 | | | Borhull | |
| Jarlheimsletta | | | | | 1-CPTU | |
| Innhold | | | | | Sondennummer | |
| Dokumentasjon av utstyr og målenøyaktighet | | | | | 5288 | |
| Multiconsult | Tegnet | Kontrollert | Godkjent | | Anvend.klasse | |
| | IVA | JSG | JSG | | 1 | |
| | Utførende | Dato sondering | Revisjon | RIG-TEG | | 500.1 |
| | Multiconsult | 14.11.2019 | 0 Rev. dato 31.01.2020 | | | |



| | | | | |
|---|---------------------------|---|--|-----------------------------|
| Prosjekt Jarlheimsletta | | Prosjektnummer: 10213380 Rapportnummer: RIG-RAP-001 | | Borhull 1-CPTU |
| Innhold In-situ poretrykk, total- og effektiv vertikalspenning i beregninger | | | | Sondennummer 5288 |
| Multiconsult | Tegnet IVA | Kontrollert JSG | Godkjent JSG | Anvend.klasse 1 |
| | Utførende Multiconsult | Dato sondering 14.11.2019 | Revisjon 0 Rev. dato 31.01.2020 | RIG-TEG 500.2 |

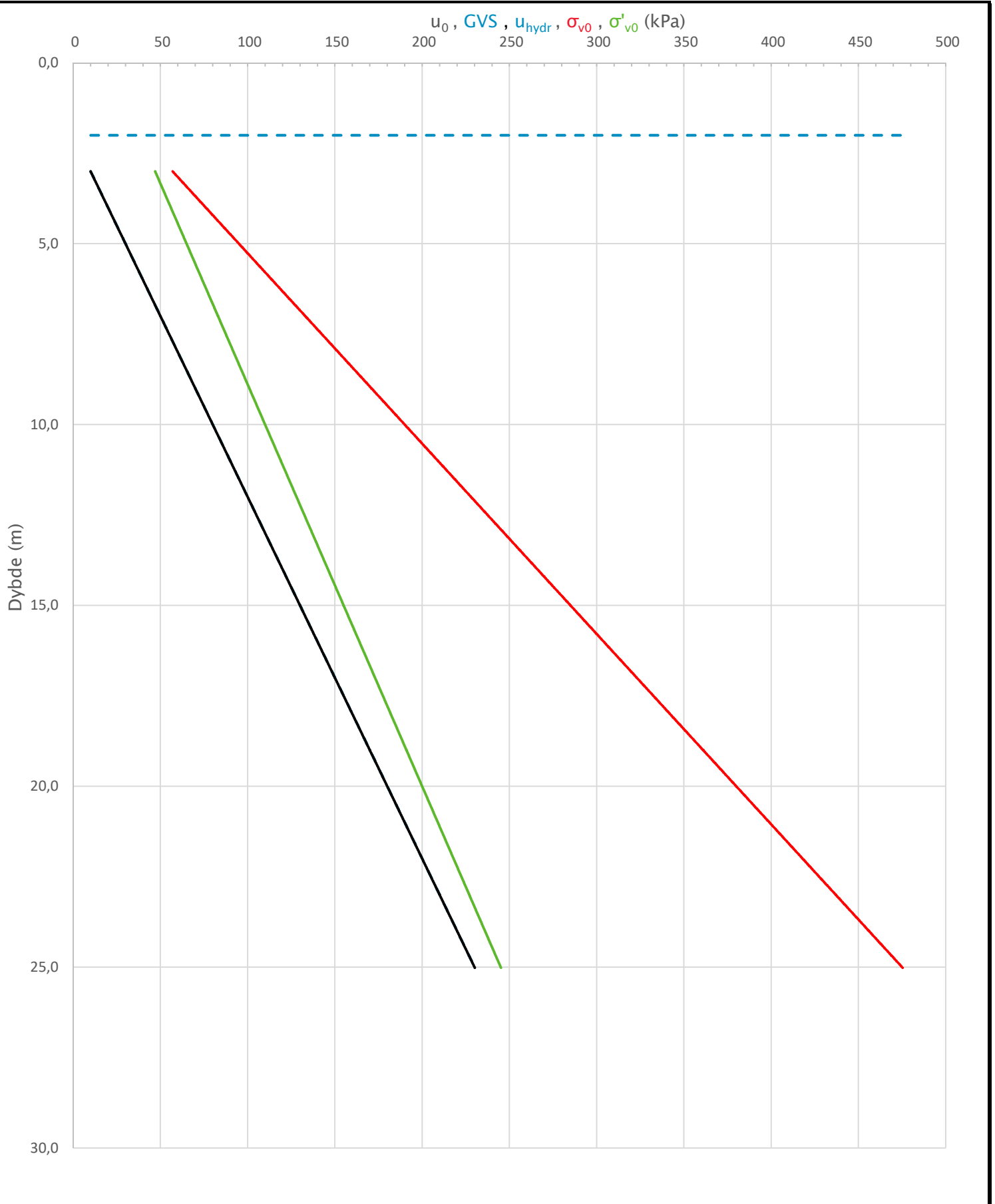


| | | | | |
|---|---------------------------|---|--|-----------------------------|
| Prosjekt Jarlheimsletta | | Prosjektnummer: 10213380 Rapportnummer: RIG-RAP-001 | | Borhull 1-CPTU |
| Innhold Måledata og korrigerte måleverdier | | | | Sondennummer 5288 |
| Multiconsult | Tegnet IVA | Kontrollert JSG | Godkjent JSG | Anvend.klasse 1 |
| | Utførende Multiconsult | Dato sondering 14.11.2019 | Revisjon 0 Rev. dato 31.01.2020 | RIG-TEG 500.3 |

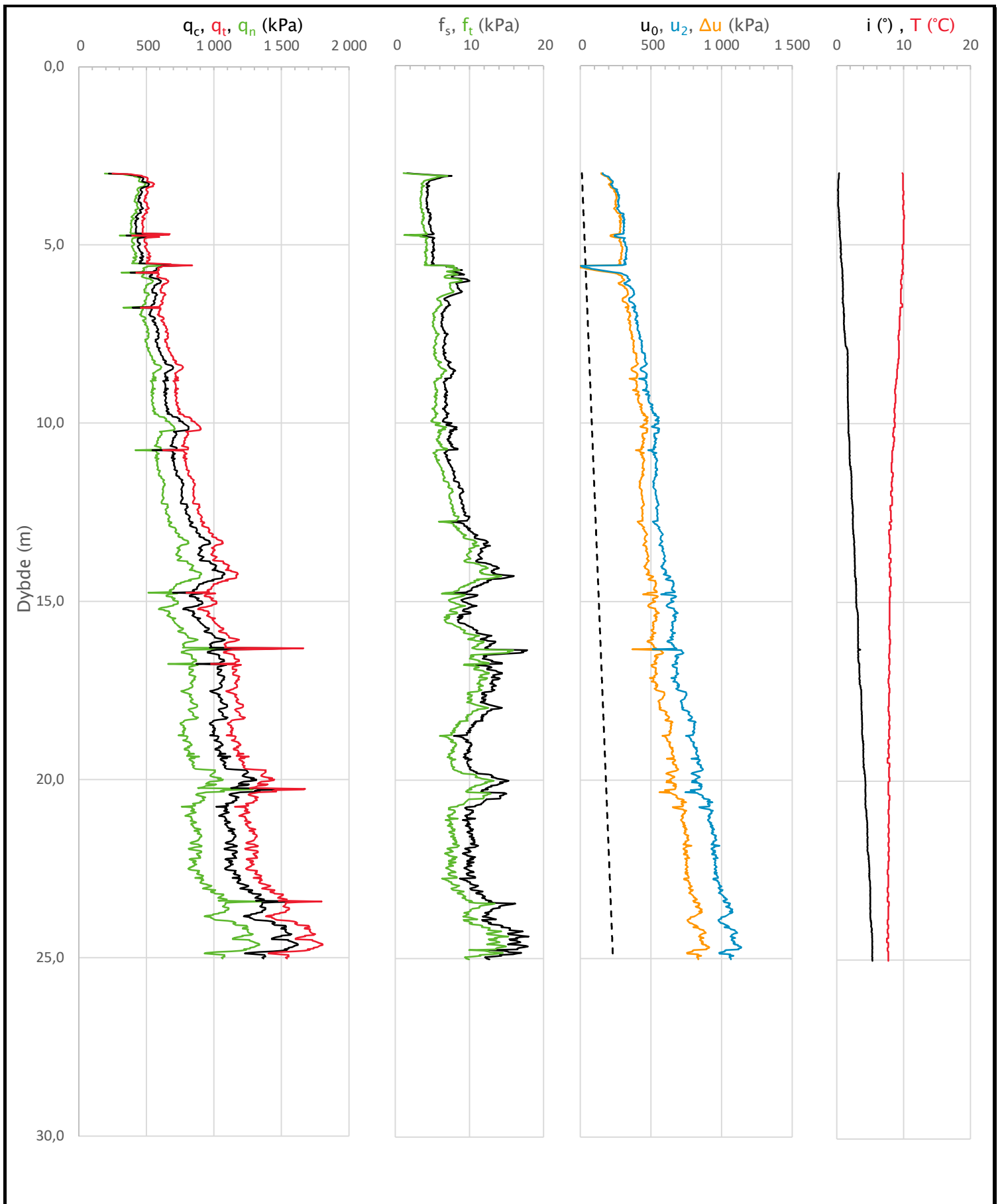


| | | | | |
|--|---------------------------|---|--|-----------------------------|
| Prosjekt Jarlheimsletta | | Prosjektnummer: 10213380 Rapportnummer: RIG-RAP-001 | | Borhull 1-CPTU |
| Innhold Avledede dimensjonsløse forhold | | | | Sondennummer 5288 |
| Multiconsult | Tegnet IVA | Kontrollert JSG | Godkjent JSG | Anvend.klasse 1 |
| | Utførende Multiconsult | Dato sondering 14.11.2019 | Revisjon 0 Rev. dato 31.01.2020 | RIG-TEG 500.4 |

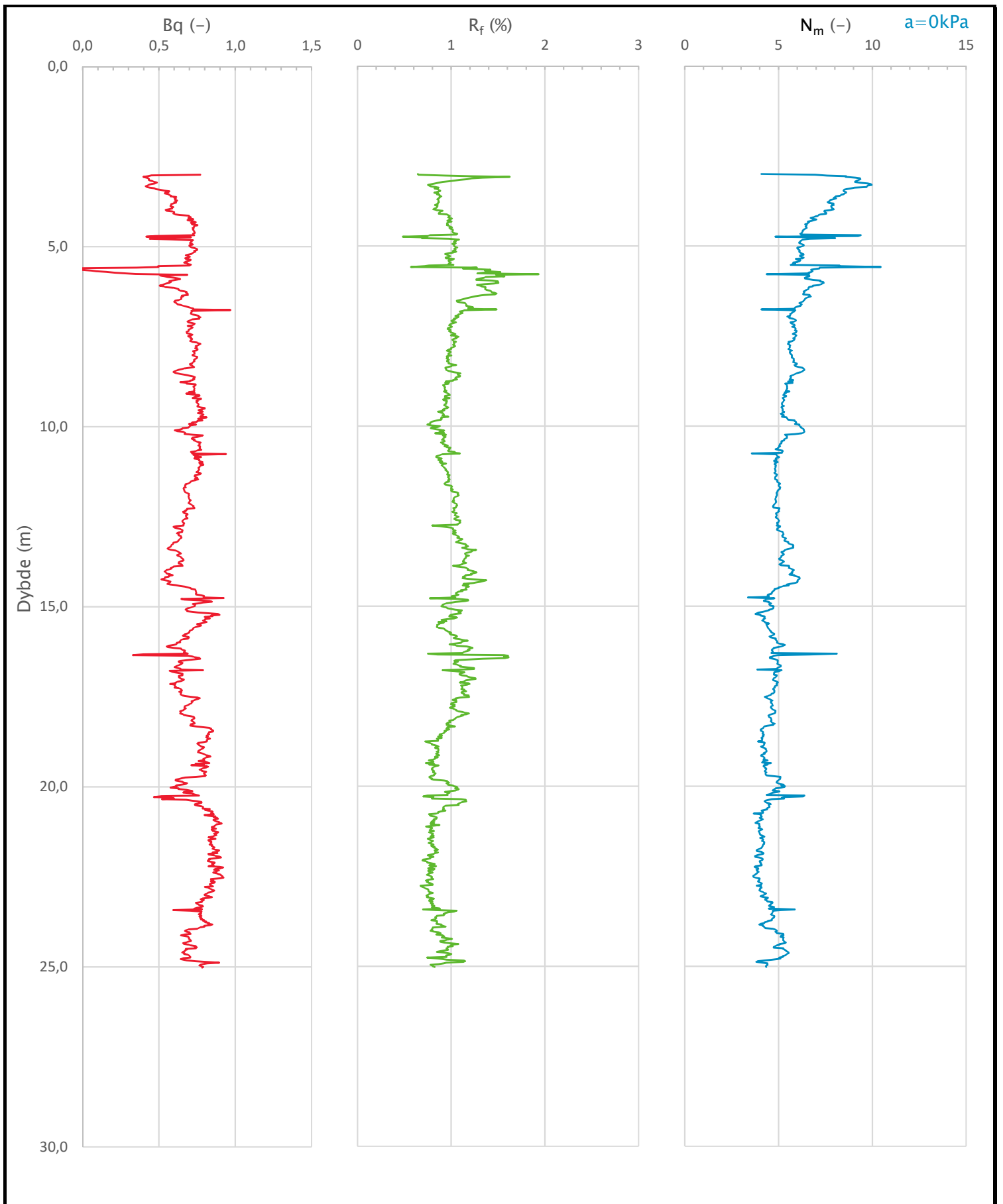
| Sonde og utførelse | | | | | | |
|---|---------------|----------------|---|------------|---------------|---------------|
| Sondennummer | 5288 | | Boreleder | | Aslak | |
| Type sonde | Nova | | Temperaturendring (°C) | | 2,6 | |
| Kalibreringsdato | 18.02.2019 | | Maks helning (°) | | 5,3 | |
| Dato sondering | 19.11.2019 | | Maks avstand målinger (m) | | 0,02 | |
| Filtertype | | | | | | |
| Kalibreringsdata | | | | | | |
| | Spissmotstand | | Sidefriksjon | | Poretrykk | |
| Maksimal last (MPa) | 50 | | 0,5 | | 2 | |
| Måleområde (MPa) | 50 | | 0,5 | | 2 | |
| Skaleringsfaktor | 1193 | | 3871 | | 3976 | |
| Oppløsning 2 ¹² bit (kPa) | - | | - | | - | |
| Oppløsning 2 ¹⁸ bit (kPa) | - | | 0,0099 | | 0,0192 | |
| Arealforhold | 0,8360 | | 0,0000 | | | |
| Maks ubelastet temp. effekt (kPa) | 6,391 | | 0,403 | | 2,991 | |
| Temperaturområde (°C) | 40 | | | | | |
| Nullpunktskontroll | | | | | | |
| | NA | | NB | | NC | |
| Registrert før sondering (kPa) | 8116,5 | | 120,7 | | 229,9 | |
| Registrert etter sondering (kPa) | -21,7 | | -0,3 | | -1,0 | |
| Avvik under sondering (kPa) | 21,7 | | 0,3 | | 1,0 | |
| Maksimal temperatureffekt (kPa) | 0,4 | | 0,0 | | 0,2 | |
| Maksverdi under sondering (kPa) | 1631,7 | | 18,0 | | 1139,3 | |
| Vurdering av anvendelsesklasse ihht. ISO 22476-1:2012 | | | | | | |
| | Spissmotstand | | Sidefriksjon | | Poretrykk | |
| | (kPa) | (%) | (kPa) | (%) | (kPa) | (%) |
| Samlet nøyaktighet (kPa) | 22,1 | 1,4 | 0,3 | 1,9 | 1,2 | 0,1 |
| Tillatt nøyaktighet klasse 1 | 35 | 5 | 5 | 10 | 10 | 2 |
| Tillatt nøyaktighet klasse 2 | 100 | 5 | 15 | 15 | 25 | 3 |
| Tillatt nøyaktighet klasse 3 | 200 | 5 | 25 | 15 | 50 | 5 |
| Tillatt nøyaktighet klasse 4 | 500 | 5 | 50 | 20 | | |
| Anvendelsesklasse | 1 | 1 | 1 | 1 | 1 | 1 |
| Anvendelsesklasse måleintervall | 1 | | | | | |
| Anvendelsesklasse | 1 | | | | | |
| Måleverdier under kapasitet/krav | | | | | | |
| Spissmotstand | Sidefriksjon | | Poretrykk | | Helning | |
| OK | OK | | OK | | OK | |
| Kommentarer: | | | | | | |
| Prosjekt | | | Prosjektnummer: 10213380 Rapportnummer: RIG-RAP-001 | | | Borhull |
| Jarlheimsletta | | | | | | 4-CPTU |
| Innhold | | | | | Sondennummer | |
| Dokumentasjon av utstyr og målenøyaktighet | | | | | 5288 | |
| Multiconsult | Tegnet | Kontrollert | Godkjent | | Anvend.klasse | |
| | IVA | JSG | JSG | | 1 | |
| | Utførende | Dato sondering | Revisjon | | RIG-TEG | |
| | Multiconsult | 19.11.2019 | 0 | | 501.1 | |
| | | | Rev. dato | | | |
| | | | 31.01.2020 | | | |



| | | | | |
|---|---------------------------|---|--|-----------------------------|
| Prosjekt Jarlheimsletta | | Prosjektnummer: 10213380 Rapportnummer: RIG-RAP-001 | | Borhull 4-CPTU |
| Innhold In-situ poretrykk, total- og effektiv vertikalspenning i beregninger | | | | Sondennummer 5288 |
| Multiconsult | Tegnet IVA | Kontrollert JSG | Godkjent JSG | Anvend.klasse 1 |
| | Utførende Multiconsult | Dato sondering 19.11.2019 | Revisjon 0 Rev. dato 31.01.2020 | RIG-TEG 501.2 |



| | | | | |
|---|---------------------------|---|--|-----------------------------|
| Prosjekt Jarlheimsletta | | Prosjektnummer: 10213380 Rapportnummer: RIG-RAP-001 | | Borhull 4-CPTU |
| Innhold Måledata og korrigerte måleverdier | | | | Sondennummer 5288 |
| Multiconsult | Tegnet IVA | Kontrollert JSG | Godkjent JSG | Anvend.klasse 1 |
| | Utførende Multiconsult | Dato sondering 19.11.2019 | Revisjon 0 Rev. dato 31.01.2020 | RIG-TEG 501.3 |



| | | | | |
|--|---------------------------|---|--|-----------------------------|
| Prosjekt Jarlheimsletta | | Prosjektnummer: 10213380 Rapportnummer: RIG-RAP-001 | | Borhull 4-CPTU |
| Innhold Avledede dimensjonsløse forhold | | | | Sondennummer 5288 |
| Multiconsult | Tegnet IVA | Kontrollert JSG | Godkjent JSG | Anvend.klasse 1 |
| | Utførende Multiconsult | Dato sondering 19.11.2019 | Revisjon 0 Rev. dato 31.01.2020 | RIG-TEG 501.4 |

VEDLEGG 1

Kalibrerings skjema CPTU-sonde

(1 side)

CALIBRATION CERTIFICATE FOR CPT PROBE 5288

Probe No 5288
 Date of Calibration 2019-02-18
 Calibrated by Joakim Tingström.....
 Run No 725
 Test Class: ISO 1

| Point Resistance | | Tip Area 10cm² | |
|-------------------------|-------------|----------------------------------|--|
| Maximum Load | 50 | MPa | |
| Range | 50 | MPa | |
| Scaling Factor | 1193 | | |
| Resolution | 0,6395 | kPa | |
| Area factor (a) | 0,836 | | |

ERRORS

Max. Temperature effect when not loaded 6,391 kPa
 Temperature range 5 –40 deg. Celsius.

| Local Friction | | Sleeve Area 150cm² | |
|-----------------------|-------------|--------------------------------------|--|
| Maximum Load | 0,5 | MPa | |
| Range | 0,5 | MPa | |
| Scaling Factor | 3871 | | |
| Resolution | 0,0099 | kPa | |
| Area factor (b) | 0 | | |

ERRORS

Max. Temperature effect when not loaded 0,403 kPa
 Temperature range 5 –40 deg. Celsius.

| Pore Pressure | | | |
|----------------------|-------------|-----|--|
| Maximum Load | 2 | MPa | |
| Range | 2 | MPa | |
| Scaling Factor | 3976 | | |
| Resolution | 0,0192 | kPa | |

ERRORS

Max. Temperature effect when not loaded 2,991 kPa
 Temperature range 5 –40 deg. Celsius.

| Tilt Angle. | | Scaling Factor: 0,93 | |
|--------------------|--------|-----------------------------|--|
| Range | 0 - 40 | Deg. | |

Backup memory
Temperature sensor



Specialists in
 Geotechnical
 Field Equipment

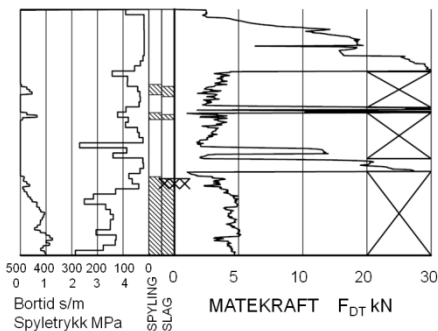


BILAG 1

Feltundersøkelser

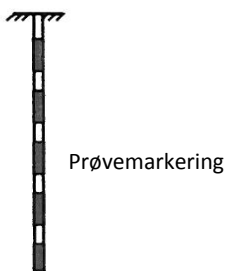
(2 sider)

| | |
|--|---|
| | <p>Sonderinger utføres for å få en indikasjon på grunnens relative fasthet, lagdeling og dybder til antatt berg eller fast grunn. For utførelsesstandarder henvises det til «Geoteknisk bilag – Oversikt over metodestandarder og retningslinjer».</p> |
| | <p>DREIESONDERING Utføres med skjøtbare $\phi 22$ mm borstenger med 200 mm vridd spiss. Boret dreies manuelt eller maskinelt ned i grunnen med inntil 1 kN (100 kg) vertikalbelastning på stengene. Hvis det ikke synker for denne lasten, dreies boret maskinelt eller manuelt. Antall $\frac{1}{2}$-omdreininger pr. 0,2 m synk registreres. Boremotstanden presenteres i diagram med vertikal dybdeskala og tverrstrek for hver 100 $\frac{1}{2}$-omdreininger. Skravur angir synk uten dreining, med påført vertikallast under synk angitt på venstre side. Kryss angir at borstengene er rammet ned i grunnen.</p> |
| | <p>RAMSONDERING Boringen utføres med skjøtbare $\phi 32$ mm borstenger og spiss med normert geometri. Boret rammes med en rammeenergi på 0,38 kNm. Antall slag pr. 0,2 m synk registreres. Boremotstanden illustreres ved angivelse av rammemotstanden Q_0 pr. m nedramming. $Q_0 = \text{loddets tyngde} \cdot \text{fallhøyde/synk pr. slag (kNm/m)}$</p> |
| | <p>TRYKKSONDERING (CPT - CPTU) Utføres ved at en sylindrisk, instrumentert sonde med konisk spiss presses ned i grunnen med konstant penetrasjonshastighet 20 mm/s. Under nedpressingen måles kraften mot konisk spiss og friksjonshylse, slik at spissmotstand q_c og sidefriksjon f_s kan bestemmes (CPT). I tillegg kan poretrykket u måles like bak den koniske spissen (CPTU). Målingene utføres kontinuerlig for hver 0,02 m, og metoden gir derfor detaljert informasjon om grunnforholdene. Resultatene kan benyttes til å bestemme lagdeling, jordart, lagringsbetingelser og mekaniske egenskaper (skjærfasthet, deformasjons- og konsolideringsparametre).</p> |
| | <p>DREIETRYKKSONDERING Utføres med glatte skjøtbare $\phi 36$ mm borstenger med en normert spiss med hardmetallsveis. Borstengene presses ned i grunnen med konstant hastighet 3 m/min og konstant rotasjonshastighet 25 omdreininger/min. Rotasjonshastigheten kan økes hvis nødvendig (markeres med kryss på høyre side). Nedpressingskraften F_{DT} (kN) registreres automatisk under disse betingelsene, og gir grunnlag for å bedømme grunnforholdene. Metoden er spesielt hensiktsmessig ved påvisning av kvikkleire i grunnen, men den gir ikke sikker dybde til bergoverflaten.</p> |
| | <p>BERGKONTROLLBORING Utføres med skjøtbare $\phi 45$ mm stenger og hardmetall borkrone med tilbakeslagsventil. Det benyttes tung slagborhammer og vannspyling med høyt trykk. Boring gjennom lag med ulike egenskaper, for eksempel grus og leire, kan registreres, likedan penetrasjon av blokker og større steiner. For verifisering av berginntrengning bores 3 m ned i berget, eventuelt med registrering av borsynk for sikker påvisning.</p> |



TOTALSONDERING

Kombinerer metodene dreietrykksondring og bergkontrollboring. Det benyttes $\phi 45$ mm borstenger og $\phi 57$ mm stiftborkrone med tilbakeslagsventil. Under nedboring i bløte lag presses boret ned i bakken med konstant hastighet 3 m/min og konstant rotasjonshastighet 25 omdreininger/min. Når faste lag påtreffes økes først rotasjonshastigheten (markeres som kryss til høyre). Gir ikke dette synk av boret benyttes spyling og slag på borkronen. Nedpressingskraften F_{DT} (kN) registreres kontinuerlig og vises på diagrammets høyre side, mens markering av spyletrykk, slag og bortid vises til venstre.



PRØVETAKING

Utføres for undersøkelse av jordlagenes geotekniske egenskaper i laboratoriet.

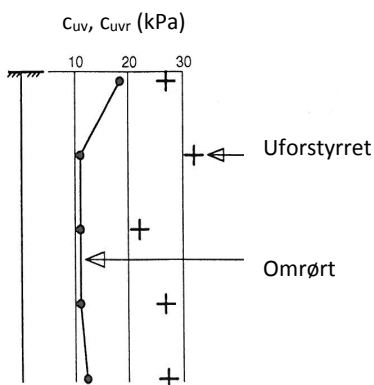
Maskinell naverboring (forstyrrede poseprøver):

Utføres med hul borstang påsveiset en metallspiral med fast stighøyde (auger). Med borrigg kan det bores til 5-20 m dybde, avhengig av jordart, lagringsfasthet og beliggenhet av grunnvannstanden. Med denne metoden kan det tas forstyrrede poseprøver ved å samle materialet mellom spiralskivene. Det er også mulig å benytte enklere håndholdt utstyr som for eksempel skovlprøvetaking.

Sylinder/blokkprøvetaking (Uforstyrrede prøver):

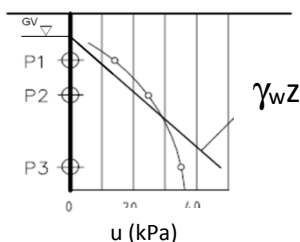
Vanligvis benyttes stempel-prøvetaking med innvendig stempel for opptak av 60-100 cm lange sylinderprøver. Prøvesylinderen kan være av plast eller stål, og det kan benyttes utstyr både med og uten innvendig prøvesylinder. På ønsket dybde skjæres det ut en jordprøve som trekkes opp til overflaten, der den blir forseglet for transport til laboratoriet. Prøvediameteren kan variere mellom $\phi 54$ mm (vanligst) og $\phi 95$ mm. Det er også mulig å benytte andre typer prøvetakere, som for eksempel ramprøvetakere og blokkprøvetakere.

Prøvekvaliteten inndeles i Kvalitetsklasse 1-3, der 1 er høyeste kvalitet.



VINGEBORING

Utføres ved at et vingekorset med dimensjoner $b \times h = 55 \times 110$ mm eller 65×130 mm presses ned i grunnen til ønsket målenivå. Her blir vingekorset påført et økende dreiemoment til jorden rundt vingen når brudd. Det tilhørende dreiemomentet blir registrert. Dette utføres med jorden i uforstyrret ved første gangs brudd og omrørt tilstand etter 25 gjentatte omdreininger av vingekorset. Udrenert skjærfasthet C_{uv} og C_{ur} beregnes ut fra henholdsvis dreiemomentet ved brudd og etter omrøring. Fra dette kan også sensitiviteten $S_t = C_{uv}/C_{ur}$ bestemmes. Tolkede verdier må vanligvis korrigeres empirisk for opptredende effektivt overlagingstrykk i måledybden, samt for jordartens plastisitet.



PORETRYKSMÅLING

Målingene utføres med et standrør med filterspiss eller med hydraulisk (åpent)/elektrisk piezometer (poretrykksmåler). Filteret eller piezometerspissen påmontert piezometerrør presses ned i grunnen til ønsket dybde. Stabilt poretrykk registreres fra vannets stighøyde i røret, eller ved avlesning av en elektrisk trykkmåler i spissen. Valg av utstyr vurderes på bakgrunn av grunnforhold og hensikten med målingene.

Grunnvannstand observeres eller peiles direkte i borhullet.

BILAG 2

Geotekniske bilag - laboratorieforsøk

(4 sider)

Laboratorieundersøkelser utføres for sikker klassifisering og bestemmelse av mekaniske egenskaper. Forsøkene utføres på prøver som er tatt opp i felt. For utførelsesstandarder henvises det til «Geoteknisk bilag 3 – Oversikt over metodestandarder og retningslinjer».

MINERALSKE JORDARTER

Ved prøveåpning klassifiseres og indentifiseres jordarten. Mineralske jordarter klassifiseres vanligvis på grunnlag av korngraderingen. Betegnelse og kornstørrelser for de enkelte fraksjonene er:

| Fraksjon | Leire | Silt | Sand | Grus | Stein | Blokk |
|--------------------|--------|-------------|---------|------|--------|-------|
| Kornstørrelse [mm] | <0,002 | 0,002-0,063 | 0,063-2 | 2-63 | 63-630 | >630 |

En jordart kan inneholde en eller flere av fraksjonene over. Jordarten benevnes i henhold til korngraderingen med substantiv for den fraksjon som har dominerende betydning for jordartens egenskaper og adjektiv for medvirkende fraksjoner (for eksempel siltig sand). Leirinnholdet har størst betydning for benevnelse av jordarten. Morene er en usortert breavsetning som kan inneholde alle fraksjoner fra leir til blokk. Den største fraksjonen angis først i beskrivelsen etter egne benevningsregler, for eksempel grusig morene.

ORGANISKE JORDARTER

Organiske jordarter klassifiseres på grunnlag av jordartens opprinnelse og omdanningsgrad. De viktigste typer er:

| Benevnelse | Beskrivelse |
|--|---|
| Torv | Myrplanter, mer eller mindre omdannet |
| <ul style="list-style-type: none"> Fibrig torv Delvis fibrig torv, mellomtorv Amorf torv, svarttorv | Fibrig med lett gjenkjennelig plantestruktur. Viser noe styrke Gjenkjennelig plantestruktur, ingen styrke i planterestene Ingen synlig plantestruktur, svampig konsistens |
| Gytje og dy | Nedbrutt struktur av organisk materiale, kan inneholde mineralske bestanddeler |
| Humus | Planterester, levende organismer sammen med ikke-organisk innhold |
| Mold og matjord | Sterkt omdannet organisk materiale med løs struktur, utgjør vanligvis det ovre jordlaget |

KORNFORDELINGSANALYSER

En kornfordelingsanalyse utføres ved våt eller tørr sikting av fraksjonene med diameter $d > 0,063$ mm. For mindre partikler bestemmes den ekvivalente korndiameteren ved slemmeanalyse og bruk av hydrometer. I slemmeanalysen slemmes materialet opp i vann og densiteten av suspensjonen måles ved bestemte tidsintervaller. Kornfordelingen kan da bestemmes fra Stokes lov om sedimentering av kuleformede partikler i vann. Det vil ofte være nødvendig med en kombinasjon av metodene.

VANNINNHOOLD

Vanninnholdet angir masse av vann i % av masse tørt (fast) stoff i massen og bestemmes fra tørking av en jordprøve ved 110°C i 24 timer.

KONSISTENSGRENSER

Konsistensgrensene (Atterbergs grenser) for en jordart angir vanninnholdsområdet der materialet er plastisk (formbart). Flytegrensen angir vanninnholdet der materialet går fra plastisk til flytende tilstand. Plastisitetsgrensen (utrullingsgrensen) angir vanninnholdet der materialet ikke lenger kan formes uten at det sprekker opp. Plastisitetsindeksen $I_p = w_f - w_p$ (%) angir det plastiske området for jordarten og benyttes til klassifisering av plastisiteten. Er det naturlige vanninnholdet høyere enn flytegrensen blir materialet flytende ved omrøring (vanlig for kvikkleire).

HUMUSINNHOOLD

Humusinnholdet kan bestemmes ved kolorimetri og bruk av natronlut (NaOH-forbindelse), glødning av jordprøve i varmeovn eller våt-oksidasjon med hydrogenperoksyd. Metoden angir innholdet av humufiserte organiske bestanddeler i en relativ skala.

DENSITET, TYNGDETETHET, PORETALL OG PORØSITET

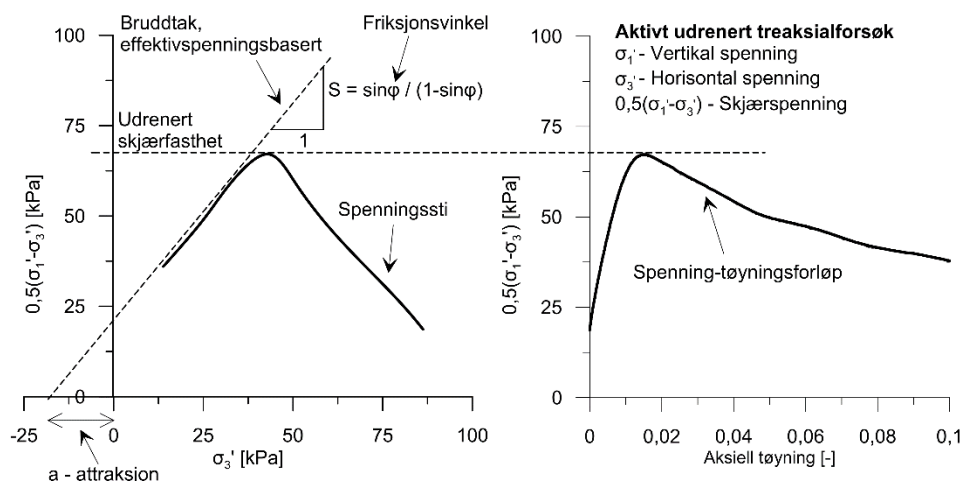
| Navn | Symbol | Enhet | Beskrivelse |
|-------------------------|------------|-------------------|--|
| Densitet | ρ | g/cm ³ | Masse av prøve per volumenhet. Bestemmes for hel sylinder og utskåret del |
| Korndensitet | ρ_s | g/cm ³ | Masse av fast stoff per volumenhet fast stoff |
| Tørr densitet | ρ_d | g/cm ³ | Masse tørt stoff per volumenhet |
| Tyngdetetthet | γ | kN/m ³ | Tyngde av prøve per volumenhet ($\gamma = \rho g = \gamma_s(1+w/100)(1-n/100)$, der g er tyngdeakselerasjonen) |
| Spesifikk tyngdetetthet | γ_s | kN/m ³ | Tyngde av fast stoff per volumenhet fast stoff ($\gamma_s = \rho_s g$) |
| Tørr tyngdetetthet | γ_d | kN/m ³ | Tyngde av tørt stoff per volumenhet ($\gamma_d = \rho_d g = \gamma_s(1-n/100)$) |
| Poretall | e | - | Volum av porer dividert med volum av fast stoff ($e = n/(1-n)$, n som desimaltall) |
| Porøsitet | n | % | Volum av porer i % av totalt volum av prøven ($n = e/(1+e)$) |

SKJÆRFASTHET

Skjærfastheten beskriver jordens styrke og benyttes bla. til beregning av motstand mot utglidninger og grunnbrudd. Skjærfasthet benyttes i beregninger av skråningsstabilitet og bæreevne. For korttidsbelastninger i finkornige materialer (leire) oppfører jorden seg udrenert og skjærfastheten beskrives ved udrenert skjærfasthet. Over lengre tidsintervaller vil oppførselen karakteriseres som drenert. Det benyttes da effektivspenningsparametere.

Effektive skjærfasthetsparametre a (attraksjon) og $\tan \phi$ (friksjon) bestemmes ved treaksiale belastningsforsøk på uforstyrrede (leire) eller innbyggede prøver (sand). Skjærfastheten er avhengig av effektiv normalspenning (totalspenning – poretrykk) på kritisk plan. Forsøksresultatene fremstilles som spenningsstier som viser spenningsutvikling og tilhørende tøyningutvikling i prøven frem mot brudd. Fra disse, samt fra annen informasjon, bestemmes karakteristiske verdier for skjærfasthetsparametre for det aktuelle problemet.

Udrenert skjærfasthet c_u (kPa) bestemmes som den maksimale skjærspenning et materiale kan påføres før det bryter sammen i en situasjon med raske spenningsendringer uten drenering av poretrykk. I laboratoriet bestemmes denne egenskapen ved enaksiale trykkforsøk (c_{ut}), konusforsøk (uforstyrret c_{ufc} , omrørt c_{urfc}), udrenerte treaksialforsøk (kompresjon/aktiv c_{uA} , avlastning/passiv c_{uP}) og direkte skjærforsøk (c_{uD}). Udrenert skjærfasthet kan også bestemmes i felt ved for eksempel trykksondering med poretrykksmåling (CPTU) ($c_{u\text{CPTU}}$) eller vingebor (uforstyrret c_{uv} , omrørt c_{uvr}).

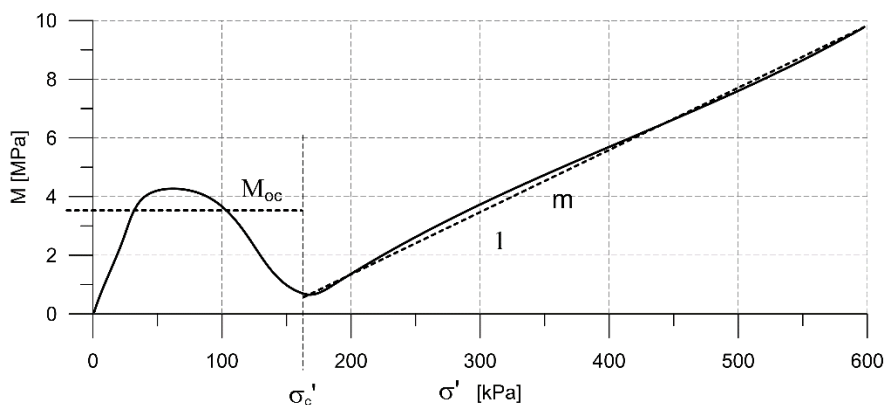


SENSITIVITET

Sensitiviteten $St = c_u/c_r$ uttrykker forholdet mellom en leires udrenerte skjærfasthet i uforstyrret og omrørt tilstand. Denne størrelsen kan bestemmes fra konusforsøk i laboratoriet eller ved vingeborforsøk i felt. Kvikkleire har for eksempel meget lav omrørt skjærfasthet ($c_r < 0,5$ kPa), og viser derfor som regel meget høye sensitivitetsverdier.

DEFORMASJONS- OG KONSOLIDERINGSEGENSKAPER

Jordartens deformasjons- og konsolideringsegenskaper benyttes ved beregning av setninger og deformasjoner. Disse mekaniske egenskapene bestemmes ved hjelp av belastningsforsøk i ødometer. Jordprøven bygges inn i en stiv ring som forhindrer sideveis deformasjon. Belastningen skjer vertikalt med trinnvis eller kontinuerlig økende last/spenning (σ'). Sammenhørende verdier for spenning og deformasjon (tøyning ϵ) registreres, og materialets stivhet (deformasjonsmodul) kan beregnes som $M = \Delta\sigma' / \Delta\epsilon$. Denne presenteres som funksjon av vertikalspenningen. En sentral parameter som tolkes i sammenheng med ødometerforsøk er forkonsolideringsspenningen (σ'_c). Dette er det største lastnivået som jorda har opplevd tidligere (f.eks. tidligere overlaging eller islast). Deformasjonsmodulen viser typisk forskjellig oppførsel under og over forkonsolideringsspenningen. I leire vil stivheten for spenningsnivåer under σ'_c representeres ved en konstant stivhetsmodul M_{oc} . For spenningsnivåer over σ'_c vil stivheten øke med økende spenning. Denne økningen kan beskrives ved modultallet m .



TELEFARLIGHET

En jordarts telefarlighet bestemmes ut i fra kornfordelingskurven eller ved å måle den kapillære stighøyde for materialet. Telefarligheten klassifiseres i gruppene T1 (Ikke telefarlig), T2 (Litt telefarlig), T3 (Middels telefarlig) og T4 (Meget telefarlig) etter SVV Håndbok N200.

KOMPRIMERINGSEGENSKAPER

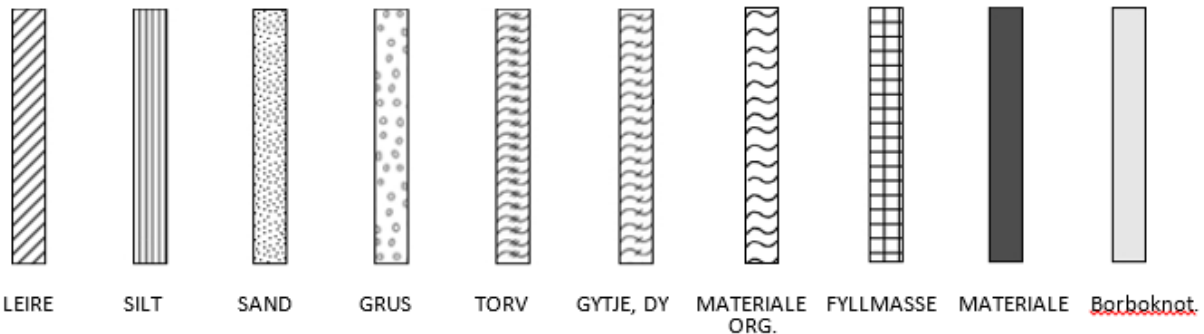
Ved komprimering av en jordart oppnås tettere lagring av mineralkornene. Komprimeringsegenskapene for en jordart bestemmes ved at prøver med forskjellig vanninnhold komprimeres med et bestemt komprimeringsarbeid (Standard eller Modifisert Proctor). Resultatene fremstilles i et diagram som viser tørr densitet ρ_d som funksjon av innbyggingsvanninnhold w_i . Den maksimale tørrdensiteten som oppnås (ρ_{dmax}) benyttes ved spesifikasjon av krav til utførelsen av komprimeringsarbeider. Det tilhørende vanninnhold benevnes optimalt vanninnhold (w_{opt}).

PERMEABILITET

Permeabiliteten defineres som den vannmengden q som under gitte betingelser vil strømme gjennom et jordvolum pr. tidsenhet. Generelt bestemmes permeabiliteten fra følgende sammenheng: $q = kiA$, der A er bruttoareal av tverrsnittet normalt på vannets strømningsretning og i = hydraulisk gradient i strømningsretningen (= potensialforskjell pr. lengdeenhet). Permeabiliteten kan bestemmes ved strømningsforsøk i laboratoriet, ved konstant eller fallende potensial, eventuelt ved pumpe- eller strømningsforsøk i felt samt ødometerforsøk.

OPPTEGNING AV PRØVESERIE - PRØVESKRAVERING

Analyserte prøver skraveres på prøveserietegningen i henhold til hovedbenevnelsen av materialet. Det er i tillegg en egen skravering for eventuelle notater hentet fra borbok til den gjeldende prøveserien. De ulike skraveringene er som følger:



NB: Med mindre en kornfordelingsanalyse er utført, er dette kun en subjektiv og veiledende klassifisering som er basert på laborantens visuelle vurdering av materialet.

LEIRE: Leirinnholdet er større enn 15 %

SILT: Siltinnholdet er større enn 45 % og leirinnholdet er mindre enn 15 %

SAND: Sandinnholdet er større enn 60 % og leirinnholdet er mindre enn 15 %

GRUS: Grusinnholdet er større enn 60 % og leirinnholdet er mindre enn 15 %

MATERIALE: Brukes når materialet har en slik sammensetning at ingen av de ovennevnte betegnelse kan benyttes. Dette fremkommer normalt fra en kornfordelingsanalyse

TORV: Mer eller mindre omvandlede planterester

GYTJE/DY: Består av vannavsatte plante- og dyrerester. De kan virke fete og elastiske

MATERIALE ORG.: Sterkt omdannet organisk materiale med løs struktur

FYLLMASSE: Avsetninger som ikke er naturlige (utlagte masser)

Borboknotat: Merknader fra borleder (hentet fra borbok), f.eks. «tom sylinder», «foringsrør», «forboring» osv.

OPPTEGNING AV PRØVESERIE - SPESIALFORSØK – Korngradering (K) / Treksialforsøk (T) / Ødometerforsøk (Ø)

Eventuelt utførte spesialforsøk på en prøveserie markeres med K, T eller Ø ved tilhørende prøve. Markeringene indikerer ikke nøyaktig dybde for spesialforsøkene, men er referanse til at det foreligger egne tegninger for forsøket inkludert resultater og ytterlig forsøksinformasjon.

OPPTEGNING AV PRØVESERIE - SYMBOLFORKLARING - Vanninnhold og konsistensgrenser

Vanninnhold og konsistensgrenser utført ved rutineundersøkelsen fremvises på prøveserietegningen ved plassering av symboler på tilhørende graf. Dersom et vanninnhold overstiger grafens maksimum vil verdien oppgis i siffer ved grafens øvre ytterpunkt.

| | | | |
|-----------------|--|--------------------------|--|
| Vanninnhold w | | Plastisitetsgrense w_p | |
| | | Flytegrense w_f | |

OPPTEGNING AV PRØVESERIE - SYMBOLFORKLARING - Udrenert skjærfasthet

Resultatene fra utførte konus- og enaksiale trykkforsøk ved rutineundersøkelsen fremvises på prøveserietegningen ved plassering av symboler på tilhørende graf. Dersom en skjærfasthetverdi overstiger grafens maksimum vil verdien oppgis i siffer ved grafens øvre ytterpunkt.

| | | | |
|---|--|--|-----|
| Uomrørt konus c_{urfc} | | Omrørt konus c_{urfc} | |
| Enaksialt trykkforsøk Strek angir aksial tøyning (%) ved brudd | | Omrørt konus $c_{urfc} \leq 2,0 \text{ kPa}$ | 0,9 |

BILAG 3

Oversikt over metodestandarder og retningslinjer

(2 sider)

METODESTANDARDER OG RETNINGSLINJER – FELTUNDERSØKELSER

Feltundersøkelsesmetoder beskrevet i geotekniske bilag, samt terminologi og klassifisering benyttet i rapportering, baserer seg på gjeldende versjon av følgende standarder og referansedokumenter:

| Dokument | Tema |
|--|--|
| NGF Melding 1 | SI-enheter |
| NGF Melding 2, NS-EN ISO 14688-1 og -2 | Symboler og terminologi |
| NGF Melding 3 | Dreiesondering |
| NGF Melding 4 | Vingeboring |
| NGF Melding 5, NS-EN ISO 22476-1 | Trykksondering med poretrykksmåling (CPTU) |
| NGF Melding 6 | Grunnvanns- og poretrykksmåling |
| NGF Melding 7 | Dreietrykksondering |
| NGF Melding 8 | Kommentarkoder for feltundersøkelser |
| NGF Melding 9 | Totalsondering |
| NS-EN ISO 22476-2 | Ramsondering |
| NGF Melding 10 | Beskrivelsestekster for grunnundersøkelser |
| NGF Melding 11, NS-EN ISO 22475-1 | Prøvetaking |
| Statens vegvesen Håndbok R211 | Feltundersøkelser |
| NS 8020-1 | Kvalifikasjonskrav til utførende av grunnundersøkelser |

METODESTANDARDER OG RETNINGSLINJER – LABORATORIEUNDERSØKELSER

Laboratorieundersøkelser beskrevet i geotekniske bilag, samt terminologi og klassifisering benyttet i rapportering, baserer seg på følgende standarder og referansedokumenter:

| Dokument | Tema |
|---------------------------------|---|
| NS8000 | Konsistensgrenser – terminologi |
| NS8001 | Støtflytegrense |
| NS8002 | Konusflytegrense |
| NS8003 | Plastisitetsgrense (utrullingsgrense) |
| NS8004 | Svinggrense |
| NS8005, NS-EN ISO 17892-4 | Kornfordelingsanalyse |
| NS8010, NS-EN ISO 14688-1 og -2 | Jord – bestanddeler og struktur. Klassifisering og indentifisering. |
| NS8011, NS-EN ISO 17892-2 | Densitet |
| NS8012, NS-EN ISO 17892-3 | Korndensitet |
| NS8013, NS-EN ISO 17892-1 | Vanninnhold |
| NS8014 | Poretall, porøsitet og metningsgrad |
| ISO 17892-6:2017 | Skjærfasthet ved konusforsøk |
| NS8016 | Skjærfasthet ved enaksialt trykkforsøk |
| NS8017 | Ødometerforsøk, trinnvis belastning |
| NS8018 | Ødometerforsøk, kontinuerlig belastning |
| NS-EN ISO/TS 17892-8 og -9 | Treaksialforsøk (UU, CD) |
| Statens vegvesen Håndbok R210 | Laboratorieundersøkelser |